

**KARADENİZ TEKNİK ÜNİVERSİTESİ  
FEN BİLİMLERİ ENSTİTÜSÜ**





**KARADENİZ TEKNİK ÜNİVERSİTESİ**  
**FEN BİLİMLERİ ENSTİTÜSÜ**



**Karadeniz Teknik Üniversitesi Fen Bilimleri Enstitüsünde**

**Unvanı Verilmesi İçin Kabul Edilen Tezdir.**

**Tezin Enstitüye Verildiği Tarih : / /**

**Tezin Savunma Tarihi : / /**

**Tez Danışmanı :**

**Trabzon**

**KARADENİZ TEKNİK ÜNİVERSİTESİ  
FEN BİLİMLERİ ENSTİTÜSÜ**

**Orman Endüstri Mühendisliği Anabilim Dalında  
Gamze KALAYCI Tarafından Hazırlanan**

**FARKLI AĞAÇ TÜRLERİNDEN ELDE EDİLMİŞ TEK ve ÇİFT SIRA ZİMBALI  
BİRLEŞTİRME YERLERİNİN YANAL MAKASLAMA DİRENÇ DEĞERLERİNİN  
İNCELENMESİ**

**başlıklı bu çalışma, Enstitü Yönetim Kurulunun 28/ 05 /2019 gün ve 1806 sayılı  
kararıyla oluşturulan jüri tarafından yapılan sınavda  
YÜKSEK LİSANS TEZİ  
olarak kabul edilmiştir.**

**Jüri Üyeleri**

**Başkan : Prof. Dr. Nurgül AY**

**Üye : Prof. Dr. Selim ŞEN**

**Üye : Dr. Öğr. Üyesi Samet DEMİREL**



**Prof. Dr. Asim KADIOĞLU**

**Enstitü Müdürü**

## ÖNSÖZ

“Farklı Ağaç Türlerinden Elde Edilmiş Tek ve Çift Sıra Zımbalı Birleştirme Yerlerinin Yanal Makaslama Direnç Değerlerinin İncelenmesi” adlı bu çalışma KTÜ Fen Bilimleri Enstitüsü Orman Endüstri Mühendisliği Anabilim Dalında Yüksek Lisans tezi olarak hazırlanmıştır.

Yüksek Lisans tez danışmanlığımı üstlenerek tez konusunun belirlenmesi ve çalışmaların yürütülmesinde bana yol gösteren, içerik ve kaynak bakımından destek sağlayan ve laboratuvar çalışmalarında yardımlarını esirgemeyen Sayın Hocam Dr. Öğr. Üyesi Samet DEMİREL’ e, yine çalışmanın yürütülmesi sırasında değerli fikir ve görüşleri ile beni yönlendiren ve yardımlarını esirgemeyen Sayın Hocalarım Dr. Öğr. Üyesi Mustafa ASLAN, Dr. Öğr. Üyesi Önder TOR’ a ve ayrıca tez çalışmam sırasında ve yardımları ile çalışmamı kolaylaştıran değerli arkadaşlarım Arş. Gör. Abdullah Uğur BİRİNCİ, Orman Endüstri Mühendisi Seda BAŞ ve Sema BEYKOZ’ a teşekkürlerimi sunarım.

Son olarak, bugünlere ulaşmamda bana her türlü maddi ve manevi desteği veren babam Mustafa KALAYCI, annem Ayşe KALAYCI, ağabeyim İsmail KALAYCI, ablalarım Elif KALAYCI ve Yeşim KALAYCI’ ya müteşekkir olduğumu belirtmek isterim.

Gamze KALAYCI  
Trabzon, 2019

## **TEZ ETİK BEYANNAMESİ**

Yüksek Lisans Tezi olarak sunduđum “Farklı Ağaç Türlerinden Elde Edilmiş Tek ve Çift Sıra Zımbalı Birleřtirme Yerlerinin Yanal Makaslama Direnç Deđerlerinin İncelenmesi” bařlıklı bu çalıřmayı bařtan sona kadar danıřmanım Dr. Öğr. Üyesi Samet DEMİREL sorumluluđunda tamamladıđımı, örnekleri kendim topladıđımı, deneyleri ilgili laboratuvarlarda yaptıđımı, bařka kaynaklardan aldıđım bilgileri metinde ve kaynakçada eksiksiz olarak gösterdıđimi, çalıřma sürecinde bilimsel arařtırma ve etik kurallara uygun olarak davrandıđımı ve aksinin ortaya çıkması durumunda her türlü yasal sonucu kabul ettiđimi beyan ederim. 17/06/2019

Gamze KALAYCI

## İÇİNDEKİLER

	<b><u>Sayfa No</u></b>
ÖNSÖZ .....	III
TEZ ETİK BEYANNAMESİ.....	IV
İÇİNDEKİLER.....	V
ÖZET .....	IX
SUMMARY .....	X
ŞEKİLLER DİZİNİ .....	XI
TABLolar DİZİNİ.....	XV
1. GENEL BİLGİLER.....	1
1.1. Giriş.....	1
1.2. Birleştirme Yöntemleri .....	3
1.2.1. Birleştirme Yeri Üyeleri Kökenli Birleştirmeler (Kendinden Birleştirme Yerleri).....	4
1.2.1.1. Lambalı Kirişli (zıvana) Birleştirme .....	4
1.2.1.2. Kirişli Paylı Birleştirme.....	4
1.2.1.3. Kirişli Yabancı Çıtalı Birleştirme.....	5
1.2.1.4. Kirişli Yabancı Çıtalı Gönyeburun Birleştirme.....	5
1.2.1.5. Kirişli Kendinden Çıtalı Gönyeburun Birleştirme .....	6
1.2.1.6. Kirişli 90° Çıtalı Gönyeburun Birleştirme.....	6
1.2.1.7. Düz Kanal Birleştirme .....	7
1.2.1.8. Kırılmalı Kuyruğu Kanal Birleştirme.....	7
1.2.2. Bağlantı Elemanları .....	8
1.2.2.1. Köşe Bağlantı Elemanları .....	9
1.2.2.2. Karyola Bağlantı Parçaları (Karyola Menteşesi) .....	9
1.2.2.3. Çektirmeler.....	10
1.2.2.4. Raf Tutucu (VB) Eksantrik Bağlantı Elemanı .....	10
1.2.2.5. Minifix (Rastex) Eksantrik Bağlantı Elemanları .....	11
1.2.2.6. Kelebek Somunlar.....	11
1.2.2.7. Bağlantı Köşebentleri.....	12
1.2.2.8. Gövde (Trapez) Bağlantı Elemanı .....	12
1.2.2.9. Modül Bağlantı Elemanları.....	13
1.2.2.10. Ay Bağlantı Elemanları.....	13
1.2.2.11. Özel Bağlantı Elemanları .....	14

1.2.2.12.	Zimbalar .....	14
1.3.	Literatür Araştırması .....	15
2.	MATERYAL ve YÖNTEM.....	18
2.1.	Deneysel Tasarım.....	19
2.2.	Test.....	20
2.3.	İstatistik Analiz .....	21
3.	BULGULAR.....	22
3.1.	Fiziksel Özellikler .....	22
3.2.	Tek Sıra Zımbalı Sarıçam Birleştirme Örnekleri.....	22
3.2.1.	Tek Sıralı İki Zımbalı Sarıçam Birleştirmeleri İçin Makaslama Testi.....	22
3.2.2.	Tek Sıralı Üç Zımbalı Sarıçam Birleştirmeleri İçin Makaslama Testi .....	24
3.2.3.	Tek Sıralı Dört Zımbalı Sarıçam Birleştirmeleri İçin Makaslama Testi.....	25
3.3.	Tek Sıra Zımbalı Kızılağaç Birleştirme Örnekleri.....	27
3.3.1.	Tek Sıralı İki Zımbalı Kızılağaç Birleştirmeleri İçin Makaslama Testi .....	27
3.3.2.	Tek Sıralı Üç Zımbalı Kızılağaç Birleştirmeleri İçin Makaslama Testi .....	28
3.3.3.	Tek Sıralı Dört Zımbalı Kızılağaç Birleştirmeleri İçin Makaslama Testi .....	29
3.4.	Tek Sıralı Zımbalı Kayın Birleştirme Örnekleri.....	31
3.4.1.	Tek Sıralı İki Zımbalı Kayın Birleştirmeleri İçin Makaslama Testi.....	31
3.4.2.	Tek Sıralı Üç Zımbalı Kayın Birleştirmeleri İçin Makaslama Testi.....	32
3.4.3.	Tek Sıralı Dört Zımbalı Kayın Birleştirmeleri İçin Makaslama Testi .....	33
3.5.	İki Sıra Zımbalı Sarıçam Birleştirme Örnekleri.....	35
3.5.1.	İki Sıralı İki Zımbalı Sarıçam Birleştirmeleri İçin Makaslama Testi .....	35
3.5.2.	İki Sıralı Dört Zımbalı Sarıçam Birleştirmeleri İçin Makaslama Testi .....	36
3.5.3.	İki Sıralı Altı Zımbalı Sarıçam Birleştirmeleri İçin Makaslama Testi.....	37
3.5.4.	İki Sıralı Sekiz Zımbalı Sarıçam Birleştirmeleri İçin Makaslama Testi.....	38
3.6.	İki Sıra Zımbalı Kızılağaç Birleştirme Örnekleri .....	39
3.6.1.	İki Sıralı İki Zımbalı Kızılağaç Birleştirmeleri İçin Makaslama Testi .....	39
3.6.2.	İki Sıralı Dört Zımbalı Kızılağaç Birleştirmeleri İçin Makaslama Testi .....	40
3.6.3.	İki Sıralı Altı Zımbalı Kızılağaç Birleştirmeleri İçin Makaslama Testi .....	41
3.6.4.	İki Sıralı Sekiz Zımbalı Kızılağaç Birleştirmeleri İçin Makaslama Testi.....	42
3.7.	İki Sıra Zımbalı Kayın Birleştirme Örnekleri.....	43
3.7.1.	İki Sıralı İki Zımbalı Kayın Birleştirmeleri İçin Makaslama Testi.....	43
3.7.2.	İki Sıralı Dört Zımbalı Kayın Birleştirmeleri İçin Makaslama Testi.....	44
3.7.3.	İki Sıralı Altı Zımbalı Kayın Birleştirmeleri İçin Makaslama Testi.....	45

3.7.4.	İki Sıralı Sekiz Zımbalı Kayın Birleştirmeleri İçin Makaslama Testi .....	46
3.8.	İki Sıra Zımba ve Tutkallı Kızılağaç Birleştirme Örnekleri .....	47
3.8.1.	İki Zımbalı ve Tutkallı Kızılağaç Birleştirmeleri İçin Makaslama Testi.....	47
3.8.2.	Dört Zımbalı Tutkallı Kızılağaç Birleştirmeleri İçin Makaslama Testi.....	48
3.8.3.	Altı Zımbalı Tutkallı Kızılağaç Birleştirmeleri İçin Makaslama Testi.....	49
3.8.4.	Sekiz Zımbalı Tutkallı Kızılağaç Birleştirmeleri İçin Makaslama Testi .....	50
3.9.	Tutkallı Zımbalı Kızılağaç Birleştirme Örnekleri (Kayın Takozlu Birleştirme Yerleri).....	52
3.9.1.	İki Zımbalı Tutkallı Kızılağaç Birleştirmeleri İçin Makaslama Testi.....	52
3.9.2.	Dört Zımbalı Tutkallı Kızılağaç Birleştirmeleri İçin Makaslama Testi.....	53
3.9.3.	Altı Zımbalı Tutkallı Kızılağaç Birleştirmeleri İçin Makaslama Testi.....	53
3.9.4.	Sekiz Zımbalı Tutkallı Kızılağaç Birleştirmeleri İçin Makaslama Testi .....	54
3.10.	Tutkallı ve Zımbalı Sarıçam Birleştirmeler .....	56
3.10.1.	İki Zımbalı Tutkallı Sarıçam Birleştirmeleri İçin Makaslama Testi.....	56
3.10.2.	Dört Zımbalı Tutkallı Sarıçam Birleştirmeleri İçin Makaslama Testi.....	57
3.10.3.	Altı Zımbalı Tutkallı Sarıçam Birleştirmeleri İçin Makaslama Testi .....	58
3.10.4.	Sekiz Zımbalı Tutkallı Sarıçam Birleştirmeleri İçin Makaslama Testi .....	60
3.11.	Tutkallı Zımbalı Kayın Birleştirme Örnekleri .....	62
3.11.1.	İki Zımbalı Tutkallı Kayın Birleştirmeleri İçin Makaslama Testi .....	62
3.11.2.	Dört Zımbalı Tutkallı Kayın Birleştirmeleri İçin Makaslama Testi .....	63
3.11.3.	Altı Zımbalı Tutkallı Kayın Birleştirmeleri İçin Makaslama Testi .....	64
3.11.4.	Sekiz Zımbalı Tutkallı Kayın Birleştirmeleri İçin Makaslama Testi.....	65
3.12.	Sadece Tutkallı Birleştirme Örnekleri .....	67
3.12.1.	Sadece Tutkallı Sarıçam Birleştirmeleri İçin Makaslama Testi.....	67
3.12.2.	Sadece Tutkallı Kızılağaç Birleştirmeleri İçin Makaslama Testi .....	68
3.12.3.	Sadece Tutkallı Kayın Birleştirmeleri İçin Makaslama Testi.....	69
3.13.	Birleştirme Yeri Ayrılma Biçimleri .....	72
4.	TARTIŞMA .....	75
4.1.	Tek Sıra Zımbalı Birleştirmeler .....	75
4.1.1.	Ağaç Malzeme Türü Etkisi .....	76
4.1.2.	Zımba Sayısı Etkisi .....	77
4.2.	Çift Sıra Zımbalı Birleştirmeler .....	78
4.2.1.	Ağaç Malzeme Türü Etkisi .....	79
4.2.2.	Zımba Sayısı Etkisi .....	80
4.3.	Tahmin Denklemleri .....	81



4.3.1.	Tek Sıralı Zimba Birleřtirmeleri İin.....	81
4.3.2.	Tahmini Denklem Karřılařtırmaları.....	87
4.4.	ift Sıralı Zimba Birleřtirmeleri İin.....	88
4.5.	Sadece Tutkallı Birleřtirme Yerleri .....	90
4.6.	Ortalama Maksimum Yanal Yk Deęerleri ve Karřılařtırması .....	90
4.7.	Sadece Tutkallı Birleřtirme Yerleriyle Tutkallı ift Sıra Zımbalı Birleřtirme Yerlerinin İstatistiksel Kıyaslanması .....	91
5.	SONULAR VE NERİLER .....	95
6.	KAYNAKLAR .....	99
	ZGEMİř	



Yüksek Lisans Tezi

ÖZET

FARKLI AĞAÇ TÜRLERİNDEN ELDE EDİLMİŞ TEK ve ÇİFT SIRA ZİMBALI  
BİRLEŞTİRME YERLERİNİN YANAL MAKASLAMA DİRENÇ DEĞERLERİNİN  
İNCELENMESİ

Gamze KALAYCI

Karadeniz Teknik Üniversitesi  
Fen Bilimleri Enstitüsü  
Orman Endüstri Mühendisliği Anabilim Dalı  
Danışman: Dr. Öğr. Üyesi Samet DEMİREL  
2019, 100 Sayfa

Bu tez çalışmasında tek zımbalı, tek sıra (2, 3, 4) çoklu zımbalı, çift sıra (2, 4, 6, 8) çoklu zımbalı sarıçam, kızılâğaç ve kayından üretilen birleştirme yerlerinin maksimum yanal makaslama dirençleri araştırılmış. Kayın ağacından üretilen tek sıra 4 zımbalı birleştirme yerlerinin yanal makaslama direnç değeri, diğer ağaç türlerinden üretilenlerden istatistiksel olarak daha yüksek çıktığını göstermiştir. Genel itibariyle bu ilişki tek sıra 3 zımbalı ve 2 zımbaları birleştirme yerlerinde de geçerlidir. İki sıra zımbalı birleştirme yerlerinde de 8 zımbalı kayın birleştirme yerlerinin direnç değerleri, kızılâğaç ve sarıçamdan üretilen birleştirme yerlerinkinden istatistiksel olarak daha yüksek çıkmıştır. Bu istatistiksel fark durumu çift sıra 6 zımbalı birleştirme yerlerinde aynı olup 4 zımbalıda daha az, 2 de ise tamamen ortadan kalkmaktadır. Tek ve çift sıra zımbalı birleştirme yerlerinde zımba sayısının sırasıyla 2'den 4'e birer ve 2 den 8'e ikişerli artması birleştirme yerlerinin maksimum yanal makaslama dirençlerini istatistiki olarak artırmıştır. Sadece tutkallı birleştirme yerleri arasındaki ilişki yoğunluğu en yüksek kayın birleştirme yerleri en yüksek direnç değerini verirken bunu istatistiki olarak sırasıyla kızılâğaç ve sarıçam takip etmiştir. Tutkallı zımbalı birleştirme yerlerinde ise benzer ilişki söz konusudur. Tek sıra zımbalı birleştirme yerleri için türetilen tahmin denklemleri makul sonuçlar verip aynı denklemlerin 1,7 ile çarpımı sonucu elde edilen denklemlerde çift sıra zımbalı birleştirme yerleri için makul sonuçlar vermiştir.

**Anahtar Kelimeler:** Zımba, Birleştirme yeri, Makaslama, Kayın, Kızılâğaç, Sarıçam, Tahmin Denklemleri

Master Thesis

SUMMARY

INVESTIGATION OF LATERAL SHEAR RESISTANCE OF ONE AND TWO ROW  
MULTI STAPLE JOINTS CONSTRUCTED FROM DIFFERENT WOOD SPECIES

Gamze KALAYCI

Karadeniz Technical University  
The Graduate School of Natural and Applied Sciences  
Forest Industrial Engineering Department  
Supervisor: Dr. Öğr. Üyesi Samet DEMİREL  
2019, 100 Pages

In this thesis, the lateral shear resistances of one-row (2, 3, 4) and two row (2, 4, 6, 8) multi-staple joints constructed from scotch pine, alder and beech wood were investigated. The lateral shear resistances of the one-row 4 staple joints constructed from beech wood were statistically higher than those manufactured from other wood species. In general, this relationship is valid for one-row 3 staples and 2 staples joints. The lateral shear resistances of two-row 8-staple beech joints were statistically higher than those of the joints constructed from alder and scotch pine. This statistical difference situation is the same in two rows 6 staple joints and less in 4-staple joints but totally gone in 2-staple joints. The increase in the number of staples from 2 to 4 with an increment one for one-row joints and 2 to 8 with an increment two for two row joints increased the maximum lateral shear strengths of the joints. While the beech joints with the highest relation density between the only glued joints have the greatest resistance value and they are statically followed by alder and scotch pine respectively. The glued and stapled joints have a similar trend as well. The prediction equations derived for one-row stapled joints yield reasonable results and the equations obtained by multiplying the same equations by 1,7 yielded reasonable results for two-row stapled joints.

**Key Words:** Staples, Joint, Shear, Beech, Alder, Scotch pine, Estimation Equations

## ŞEKİLLER DİZİNİ

### Sayfa No

Şekil 1.	Döşenmiş bir koltuk iskeletinin çıplak ve kaplanmış hali .....	2
Şekil 2.	Zımba ile birleştirilmiş bir koltuk iskeleti, b) zımba ile birleştirilmiş koltuk ön kayıt ve kol ön dikme.....	3
Şekil 3.	Lambalı kınışlı (zıvana) Birleştirme .....	4
Şekil 4.	Kınışlı paylı Birleştirme.....	5
Şekil 5.	Kınışlı yabancı çıtalı birleştirme .....	5
Şekil 6.	Kınışlı yabancı çıtalı gönyeburun birleştirme.....	6
Şekil 7.	Kınışlı kendinden çıtalı gönyeburun birleştirme.....	6
Şekil 8.	Kınışlı 90° çıtalı gönyeburun birleştirme .....	7
Şekil 9.	Düz kanal birleştirme .....	7
Şekil 10.	Kırlangıç kuyruğu kanal birleştirme .....	8
Şekil 11.	Köşe bağlantı elemanı ve bağlantışı.....	9
Şekil 12.	Karyola bağlantı parçaları (Karyola menteşesi).....	10
Şekil 13.	Çektirmeler .....	10
Şekil 14.	Raf tutucu (VB) eksantrik bağlantı elemanı .....	11
Şekil 15.	Minifix (Rastex) eksantrik bağlantı elemanları .....	11
Şekil 16.	Kelebek somunlar .....	12
Şekil 17.	Bağlantı köşebentleri .....	12
Şekil 18.	Gövde (Trapez) bağlantı elemanı.....	13
Şekil 19.	Modüler bağlantı elemanı .....	13
Şekil 20.	Ay bağlantı elemanları .....	14
Şekil 21.	Özel bağlantı elemanları .....	14
Şekil 22.	Tek sıralı-zımbalı örneklerin yerleşme biçimi .....	19
Şekil 23.	İki sıralı-zımbalı örneklerin yerleşme biçimi.....	20
Şekil 24.	MTS Universal test cihazında örneğin test edilişi .....	21
Şekil 25:	Zımbanın ana malzemedden çıkışı ve zımba tellerinin eğilmesi .....	23
Şekil 26:	Tek sıralı iki zımbalı sarıçam örneklerine ait tipik yük yer değiştirme grafiği... 23	
Şekil 27.	Tek sıralı üç zımbalı sarıçam örneklerine ait tipik yük yer değiştirme grafiği... 24	
Şekil 28:	Zımbanın ana malzemedden çıkışı ve zımba tellerinin eğilmesi .....	24
Şekil 29.	Takozu oluşturan tabakalar arası makaslama (a), Zımbanın ana malzemedden ayrılması (b) .....	25

Şekil 30. Tek sıralı 4 zımbalı sarıçam örneklerine ait tipik yük yer değiştirme grafiği.....	26
Şekil 31. Zımbanın ana malzemededen çıkışı ve zımba tellerinin eğilmesi .....	27
Şekil 32. Tek sıralı iki zımbalı kızılağaç örneklerine ait tipik yük yer değiştirme grafiği.....	28
Şekil 33. Zımbanın ana malzemededen çıkması ve zımba tellerinin eğilmesi .....	28
Şekil 34. Tek sıralı üç zımbalı kızılağaç örneklerine ait tipik yük yer değiştirme grafiği.....	29
Şekil 35. Takozun tabakaları arasında makaslama.....	29
Şekil 36. Tek sıralı dört zımbalı kızılağaç örneklerine ait tipik yük yer değiştirme grafiği.....	30
Şekil 37. Zımbanın ana malzemededen çıkışı ve zımba tellerinin eğilmesi .....	31
Şekil 38. Tek sıralı iki zımbalı kayın örneklerine ait tipik yük yer değiştirme grafiği .....	32
Şekil 39. Zımbanın ana malzemededen çıkışı zımba tellerinin eğilmesi (a), Takozda ezik oluşumu (b) .....	33
Şekil 40. Tek sıralı üç zımbalı kayın örneklerine ait tipik yük yer değiştirme grafiği.....	33
Şekil 41. Zımbanın ana malzemededen çıkışı ve zımba tellerinin eğilmesi (a), Ana malzemedede ve takozda ezikler oluşma (b) .....	34
Şekil 42. Tek sıralı dört zımbalı kayın örneklerine ait tipik yük yer değiştirme grafiği....	34
Şekil 43. İki zımbalı sarıçam örneklerine ait tipik yük yer değiştirme grafiği .....	36
Şekil 44. Zımbanın ana malzemededen ayrılması .....	36
Şekil 45. Dört zımbalı sarıçam örneklerine ait tipik yük yer değiştirme grafiği.....	37
Şekil 46. Ana malzemededen kırılma (a), Zımbanın ana malzemededen ayrılması (b).....	37
Şekil 47. Altı zımbalı sarıçam örneklerine ait tipik yük yer değiştirme grafiği.....	38
Şekil 48. Sekiz zımbalı sarıçam örneklerine ait tipik yük yer değiştirme grafiği .....	38
Şekil 49. İki zımbalı kızılağaç örneklerine ait tipik yük yer değiştirme grafiği.....	40
Şekil 50. Dört zımbalı kızılağaç örneklerine ait tipik yük yer değiştirme grafiği.....	40
Şekil 51. Takozda ezikler oluşma .....	41
Şekil 52. Altı zımbalı kızılağaç örneklerine ait tipik yük yer değiştirme grafiği.....	41
Şekil 53. Takoz tabakaları arasında makaslama.....	42
Şekil 54. Sekiz zımbalı kızılağaç örneklerine ait tipik yük yer değiştirme grafiği .....	42
Şekil 55. İki zımbalı kayın örneklerine ait tipik yük yer değiştirme grafiği .....	44
Şekil 56. Ana malzemededen kırılma .....	44
Şekil 57. Dört zımbalı kayın örneklerine ait tipik yük yer değiştirme grafiği .....	45
Şekil 58. Altı zımbalı kayın örneklerine ait tipik yük yer değiştirme grafiği .....	45
Şekil 59. Sekiz zımbalı kayın örneklerine ait tipik yük yer değiştirme grafiği.....	46

Şekil 60. İki zımbalı tutkallı kızılığa örneklerine ait tipik yük yer deęiřtirme grafięi ....	47
Şekil 61. Tabakalar arası makaslama (a), Birleřtirme yerinden kopma (b).....	48
Şekil 62. Dört zımbalı tutkallı kızılığa örneklerine ait tipik yük yer deęiřtirme grafięi .	49
Şekil 63. Altı zımbalı tutkallı kızılığa örneklerine ait tipik yük yer deęiřtirme grafięi ..	49
Şekil 64. Sekiz zımbalı tutkallı kızılığa örneklerine ait tipik yük yer deęiřtirme grafięi.....	50
Şekil 65. Zımbanın ana malzemedden ayrılması .....	52
Şekil 66. İki zımbalı tutkallı kızılığa örneklerine ait tipik yük yer deęiřtirme grafięi ....	52
Şekil 67. Dört zımbalı tutkallı kızılığa örneklerine ait tipik yük yer deęiřtirme grafięi.....	53
Şekil 68. Zımbanın ana malzemedden ıkıřı ve zımba tellerinin eęilmesi .....	54
Şekil 69. Altı zımbalı tutkallı kızılığa örneklerine ait tipik yük yer deęiřtirme grafięi ..	54
Şekil 70. Sekiz zımbalı tutkallı kızılığa örneklerine ait tipik yük yer deęiřtirme grafięi	55
Şekil 71. Zımbanın ana malzemedden ıkıřı ve zımba tellerinin eęilmesi .....	55
Şekil 72. Zımbanın ana malzemedden ıkıřı ve zımba tellerinin eęilmesi .....	57
Şekil 73. İki zımbalı tutkallı sarıam örneklerine ait tipik yük yer deęiřtirme grafięi .....	57
Şekil 74. Birleřtirme yerinden ayrılma .....	58
Şekil 75. Dört zımbalı tutkallı sarıam örneklerine ait tipik yük yer deęiřtirme grafięi ...	58
Şekil 76. Altı zımbalı tutkallı sarıam örneklerine ait tipik yük yer deęiřtirme grafięi ....	59
Şekil 77. Zımbanın ana malzemedden ayrılması ve zımba tellerinin eęilmesi (a), Ana malzeme ve takozda kırılma (b).....	59
Şekil 78. Hem takozun belden bükülmesi hem de ana malzemedden kırılma (a), Sadece ana malzemedden kırılma (b), Birleřtirme yerinden tutkalın kopması ve zımbanın ıkması (c).....	60
Şekil 79. Sekiz zımbalı tutkallı sarıam örneklerine ait tipik yük yer deęiřtirme grafięi..	61
Şekil 80. Zımbanın ana malzemedden ayrılması .....	62
Şekil 81. İki zımbalı tutkallı kayın örneklerine ait tipik yük yer deęiřtirme grafięi.....	62
Şekil 82. Birleřtirme yerinden tutkal hattının kopması ve zımbanın ana malzemedden ıkması (a), Takozun (yan malzeme) belden bükülmesi (b).....	63
Şekil 83. Dört zımbalı tutkallı kayın örneklerine ait tipik yük yer deęiřtirme grafięi.....	64
Şekil 84. Birleřtirme yerinden tutkal hattının kopması ve zımbanın ana malzemedden ıkması .....	64
Şekil 85. Altı zımbalı tutkallı kayın örneklerine ait tipik yük yer deęiřtirme grafięi .....	65
Şekil 86. Sekiz zımbalı tutkallı kayın örneklerine ait tipik yük yer deęiřtirme grafięi .....	65
Şekil 87. Sekiz zımbalı tutkallı kayın birleřtirmeleri ayrılma biçimi .....	66

Şekil 88. Ana malzeme ve takoz kırılması (a), Birleştirme yerinden ayrılma (b).....	67
Şekil 89. Sadece tutkallı sarıçam (kayın takoz) örneklerine ait tipik yük yer değiştirme grafiği.....	68
Şekil 90. Takoz malzemesinin ve ana malzemenin kırılması (a), Birleştirme yerinden ayrılma (b).....	69
Şekil 91. Sadece tutkallı kızılâğaç örneklerine ait tipik yük yer değiştirme grafiği .....	69
Şekil 92. Takoz malzemesinin kırılması ve belden bükülmesi (a), Birleştirme yerinden ayrılma (b), Ana malzemenin ve takoz malzemesinin kırılması (c) .....	70
Şekil 93. Sadece tutkallı kayın (kayın takoz) örneklerine ait tipik yük yer değiştirme grafiği.....	71
Şekil 94. Tipik bir sadece tutkallı birleştirme yerlerine ait yük-yer değiştirme grafiği. ....	90



## TABLolar DİZİNİ

	<u>Sayfa No</u>
Tablo 1. Ağaç malzemelerin yoğunluk ve rutubet değerleri .....	18
Tablo 2. Ağaç malzeme yoğunluk değerlerinin istatistiksel kıyaslanması .....	22
Tablo 3. Tek sıra sarıçam örneklerinin maksimum direnç değerleri ve ortalama değerleri .....	26
Tablo 4. Tek sıra kızılalağaç örneklerinin maksimum direnç değerleri ve ortalama değerleri .....	30
Tablo 5. Tek sıra kayın örneklerinin maksimum direnç değerleri ve ortalama değerleri .....	35
Tablo 6. Tüm sarıçam maksimum direnç değerleri ve ortalama değerleri.....	39
Tablo 7. Tüm kızılalağaç örnekleri maksimum direnç değerleri ve ortalama değerler .....	43
Tablo 8. Tüm kayın maksimum direnç değerleri ve ortalama değerleri .....	47
Tablo 9. Tüm kızılalağaç örnekleri maksimum direnç değerleri ve ortalama değerleri .....	51
Tablo 10. Tüm kızılalağaç maksimum direnç değerleri ve ortalama değerleri.....	56
Tablo 11. Tüm sarıçam maksimum direnç değerleri ve ortalama değerleri.....	61
Tablo 12. Tüm tutkallı kayın örneklerinin maksimum direnç değerleri ve ortalama değerleri .....	66
Tablo 13. Kayın takozlu sadece tutkallı sarıçam kızılalağaç ve kayın örneklerinin maksimum direnç değerleri ve ortalama değerleri.....	71
Tablo 14. Birleştirme yerlerine ait ayrılma biçimleri.....	73
Tablo 15. Tek sıra zımba ile birleştirilmiş mobilya birleştirme yerlerine ait ortalama yanal makaslama direnci değerleri ve varyans sabiti değerleriyle birlikte. ....	75
Tablo 16. Her bir 10 tekrarlı her bir örnek grubuna ait 3'e 3 tek sıra zımbalı birleştirme yerlerinin ana etkileri ve etkileşimleri için genel doğrusal model değerleri.....	75
Tablo 17. Tek sıra zımbalı birleştirmelere ait ortalama yanal makaslama değerlerinin ağaç türüne göre kıyaslanması .....	76
Tablo 18. Tek sıra zımbalı birleştirmelere ait ortalama yanal makaslama değerlerinin zımba sayısına göre kıyaslanması .....	76
Tablo 19. Çift sıra zımba ile birleştirilmiş mobilya birleştirme yerlerine ait ortalama maksimum yanal makaslama direnci değerleri ve varyans sabiti değerleriyle birlikte .....	78
Tablo 20. Her bir 10 tekrarlı örnek grubuna ait 3'e 3 çift sıra zımbalı birleştirme yerlerinin ana etkileri ve etkileşimleri için genel doğrusal model prosedür değerleri .....	78



Tablo 21. Çift sıra zımbalı birleştirmelere ait ortalama maksimum yanal makaslama değerlerinin ağaç türüne göre kıyaslanması.....	79
Tablo 22. Çift sıra zımbalı birleştirmelere ait ortalama maksimum yanal makaslama değerlerinin zımba sayısına göre kıyaslanması.....	79
Tablo 23. Her bir ağaç türü materyali için, (buradaki değerler Sarıçam içindir) 60 yanal makaslama testi sonucu elde edilen maksimum yük değerlerinin regresyon analizi için düzenleniş şekli .....	82
Tablo 24. Zımba sayısının ve maksimum yanal yük değerlerinin sarıçam için Log 10 değerine çevrilmesi .....	82
Tablo 25. Sarıçam verilerinin doğrusal regresyon analizi sonuçları.....	83
Tablo 26. Üç farklı ağaç malzemede dikey bir sıra olarak hizalanmış çoklu zımba ile bağlanmış birleştirme yerlerine ait ortalama maksimum yanal direnç yüklerinin ortalama değerleri ile tahmin denklemleri için türetilmiş denklemler için regresyon sabitleri, $r^2$ ve p değerleri .....	84
Tablo 27. Her bir ağaç türüne ait tek zımba maksimum yanal makaslama değerlerinin, zımba sayısının ve tek sıralı çok zımba maksimum yanal makaslama değerlerinin regresyon analizi için logaritmalarının alınmış halleri .....	85
Tablo 28. Üç farklı ağaç malzemenin yoğunluğu, zımba sayısı ve çoklu zımba maksimum yanal yükünün logaritmik dönüşümleri .....	86
Tablo 29. Üç farklı ağaç malzemede tek sıra dikey hizalanmış çoklu zımba birleşme yerlerinin tahmini maksimum yanal makaslama direnç yüklerinin, gözlemlenen değerler ile denklemler (1), (4), (5) kullanılarak karşılaştırılması	87
Tablo 30. Çift sıralı zımba ile birleştirilmiş birleştirmenin tek sıralı zımba ile birleştirilmiş birleştirmelerin karşılaştırılması .....	88
Tablo 31. Ortalama maksimum yanal makaslama direnç değerleri tahmini olarak hesaplanmış olup bu değerler gerçek ortalama maksimum yanal makaslama direnci değerleriyle kıyaslanması.....	89
Tablo 32. Sadece tutkallı birleştirme yerlerine ait maksimum yanal yük değerleri ve bu değerlerin varyans sabitleri .....	91
Tablo 33. Sadece tutkallı birleştirme yerlerine ait ortalama maksimum yanal makaslama direnci değerlerinin kıyaslanması .....	91
Tablo 34. Sadece tutkallı ve tutkallı zımbalı birleştirme yerlerinin kıyaslanması .....	93
Tablo 35. Ağaç türleri arası kıyaslama.....	93

## 1. GENEL BİLGİLER

### 1.1. Giriş

Mobilya, günlük yaşamın her alanında karşılaştığımız, bireyin ve toplumun rahatlığını amaçlayan, insan yaşam kalitesiyle doğrudan bağlantılı, sosyal ve kültürel ihtiyaçlara karşılık gelen, herkesin gereksinim duyduğu ve kullandığı insan yaşamında en gerekli ve etkili ürünlerden biri olarak tanımlanabilmektedir (TMÜM, 2012). Kültürel yapının gereksinimlerinden biri olan mobilya, farklı fonksiyon, kültür ve zaman aralıklarında toplumların yerleşik hayata geçmeleri ile sadece barınma amacı ve zaruri gereksinimleri gidermek için değil toplumsallaşmanın beraberinde getirdiği bir yapı olarak karşımıza çıkmaktadır (Dizel, 2005).

Mobilyanın ana hammaddesini masif ağaç malzeme ve bu ağaç malzemeden elde edilen kaplama, yonga levha, kontrplak, kontratabla gibi gereçler oluşturmaktadır. Bunlara ek olarak plastik, metal, cam, deri, mermer gibi malzemelere de yer verilmektedir. Ayrıca mobilya yapımında diğer aşamalarda kilit, menteşe, vida, kulp gibi ek malzemelere ve bağlantı malzemelerine gereksinim duyulmaktadır (Özen, 1988). Ülkemizde masif mobilya üretiminde en yaygın kullanılan ağaçların başında kayın ağacı ve sarıçam gelmektedir (Kasal, 2008). Kayın ağacı odununun mobilyada yaygın olarak kullanılmasının sebebi olarak fiziksel ve mekanik özelliklerinin yüksek olması, dayanıklı olması ve işleme performansının iyi derecede olmasıdır (Berkel, 1970). Ayrıca ülkemizde yaygın bir tür olması ve özellikle Karadeniz bölgesinde doğu kayını türü ile kendine has bir cinsinin olması sebebi ile yıllarca mobilya endüstrisinde en çok kullanılan ağaç türü olması dikkatleri celp etmektedir. Sarıçam ise mobilya endüstrisinde iğne yapraklı ağaçlar içinde en çok kullanılan ibreli ağaç türleri olarak bilinmektedir. Gerek ülkemizde ve gerekse Rusya gibi geniş ormanlara sahip ülkelerden temini kolay olduğu ve hafifliği, dayanıklılığı ve işleme kolaylığı gibi özelliklerinden dolayı mobilya endüstrisinde yaygın olarak kullanılmaktadır. Bu ağaç türlerinin yanında son yıllarda bu zamana kadar kullanılmış olan ağaç türlerine alternatif olarak Kızılağaç gündeme gelmekte ve kullanılmaktadır. Ayrıca literatür çalışmalarında Kızılağaç türünün mobilyada kullanıldığı belirtilmiştir (Akyüz, 1988).

Mobilya üretiminde malzemelerin, fiziksel ve mekanik direnç özelliklerinin önceden bilinmesi, tasarımcı, üretici ve kullanıcılara teknik, estetik ve ekonomik faydalar sağlamaktadır (Efe, 1994). Mobilya dayanımını belirleyen en önemli unsurlardan biri birleştirme yeri diğeri ise kullanılan malzeme türü olarak bilinmektedir (Demirel, 2012). Şekil 1 döşenmiş bir koltuk mobilya iskeletinin kısmen açık kısmen kaplanmış halini göstermektedir. Birleştirme yöntemi için kullanılan malzemeler mobilyada ürünün sağlamlık ve dayanımını belirleyen unsurlardandır (Efe vd., 2012).



Şekil 1. Döşenmiş bir koltuk iskeletinin çıplak ve kaplanmış hali

Mobilya üretiminde, insanlık tarihinin çok eski dönemlerinden beri kullanılan ahşap birleştirme teknikleri mevcuttur. Zamanla bu teknikler makine üretimine uygun bir biçimde geliştirilmekte ve değişmektedir. Bağlayıcı malzemeler en az iki mobilya parçasını mekanik bir işlem sonucu birbirlerine çektirerek bağlama özelliği olan malzemelerdir (Malkoçoğlu, 1989). Mobilya birleştirmelerinin amacı mobilya üyelerini birbirine bağlamak, geniş kullanım alanları elde etmek ve geride kalmış parçaları değerlendirmektir. Mobilya birleştirme amacı ile kullanılan vidalar, soket vidalar, çiviler cıvatalar ve özel bağlantı elemanları, mekanik bağlantı sağlayan malzemelerdir (Örs vd., 1999). Ayrıca mobilya birleştirmelerinde mobilya parçalarının birleşiminin zor olduğu yerlerde tutkal kullanılmaktadır. Tutkal kullanımı ağaç malzemelerden yapılan mobilya ve yapı malzemelerinde en etkili yöntemlerden biri olarak bilinmektedir. Mobilya birleştirmelerinde tutkal, ahşap malzeme ve metal bağlantı elemanları ile birlikte de kullanılabilir (Burdurlu, 1994).



Şekil 2. Zımba ile birleştirilmiş bir koltuk iskeleti, b) zımba ile birleştirilmiş koltuk ön kayıt ve kol ön dikme

Döşemeli bir mobilya çerçevesinin sağlamlık ve sertlik performansı büyük ölçüde yapısal parçaları bir arada tutan elemanlara bağlıdır. Bu sebeple bağlayıcıların yanıl makaslama direnci gibi tutma özelliğinin bilinmesi gerekir. Özellikle ağaç malzemedil üretilmiş iskeletleri oluşturan zımba gibi bağlayıcıların iskelet parçalarını bir arada tutma kapasitesi bilinmektedir. Şekil 2 b' de iskelet ön kayıtı ile ön kol dikme parçasını 45° açı ile birleştiren bir çam koltuk iskeleti gözükmeğtedir. Bu resim söz konusu birleştirme yerinin oturma esnasında insanların koltuğun kol kısmına uyguladığı yana doğru kuvvet sonucu oluşan makaslama direncine maruz kaldığı bölgeyi gösteren bir örneğtir.

## 1.2. Birleştirme Yöntemleri

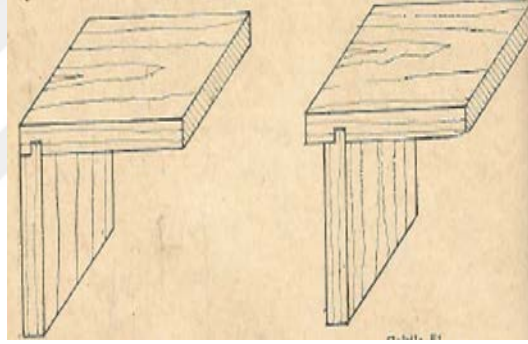
Mobilyada çeşitli birleştirme yöntemleri bulunmaktadır. Bunları iki ana başlık olacak şekilde ayırırsak birleştirme yeri üyeleri kökenli birleştirmeler (kendinden birleştirme yerleri) ve bağlantı elemanları kullanılarak oluşturulan birleştirme yerleri olarak gruplandırılabilirler.

### 1.2.1. Birleştirme Yeri Üyeleri Kökenli Birleştirmeler (Kendinden Birleştirme Yerleri)

Birleştirme yeri üyeleri kökenli birleştirmeleri (kendinden birleştirme yerleri), lambalı kinişli (zıvana) birleştirme, kinişli paylı birleştirme, kinişli yabancı çıtalı birleştirme, kinişli yabancı çıtalı gönyeburun birleştirme, kinişli kendinden çıtalı gönyeburun birleştirme, kinişli 90° çıtalı gönyeburun birleştirme, düz kanal birleştirme ve kırlangıç kuyruğu kanal birleştirme olarak sınıflandırılmaktadır.

#### 1.2.1.1. Lambalı Kinişli (Zıvana) Birleştirme

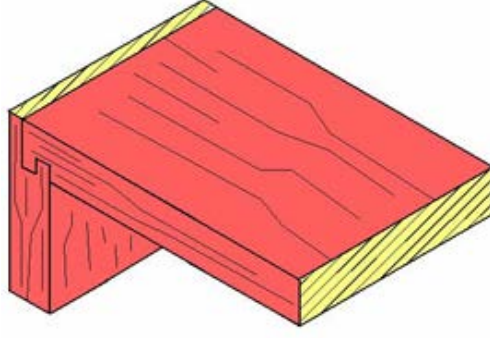
Bu birleştirmede birleştirilecek olan parçaların her ikisine de aynı kanal açma işlemi uygulanır. Kiniş veya lamba açılarak uygulanan bir yöntemdir.



Şekil 3. Lambalı kinişli (zıvana) birleştirme (Malkoçoğlu, 1989)

#### 1.2.1.2. Kinişli Paylı Birleştirme

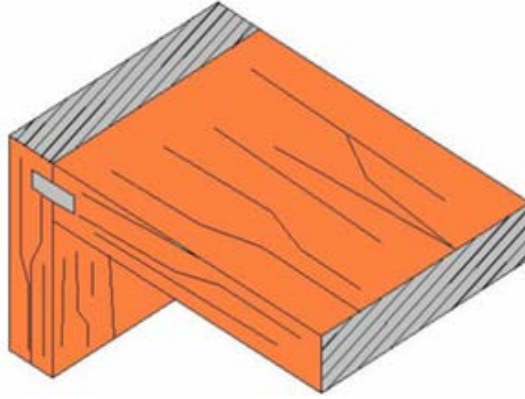
Masif konstrüksiyonlu basit işlerin birçoğunda tercih edilen bir yöntem olarak bilinmektedir. Bu birleştirme yönteminde kiniş derinlikleri parça kalınlığının 1/3'ü veya yarısı kadar yapılabilir. Tutkallama yüzeyi de diğerlerinden biraz fazladır.



Şekil 4. Kınışlı paylı birleşirme (URL-1, 2019)

### 1.2.1.3. Kınışlı Yabancı Çıtalı Birleşirme

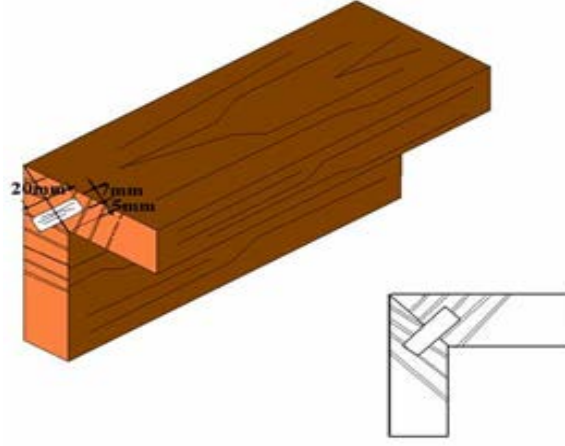
Bu birleşirme yapımı kolaydır. Çünkü birleştirilecek iki parçaya da aynı ebatta iki kınış açılabilir. Şekil 5'te görüldüğü gibi kınışların içine kalınlıkları aynı olacak şekilde kontrplak parçası veya masif çıta konulmaktadır.



Şekil 5. Kınışlı yabancı çıtalı birleşirme (URL-1, 2019)

### 1.2.1.4. Kınışlı Yabancı Çıtalı Gönyeburun Birleşirme

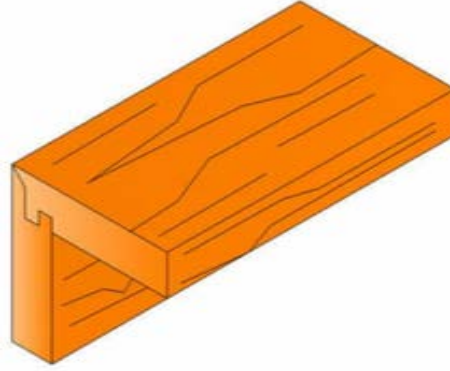
Masif mobilya üretiminde en çok tercih edilen birleşirme yöntemlerinden biridir. Birleştirilecek parçaların içe gelen yüzlerinden tablası veya testeresi 45° eğilebilen daire testere veya freze makinası yardımı ile başlarından pah kırılmaktadır.



Şekil 6. Kınışlı yabancı çıtalı gönyeburun birleştirme (URL-1, 2019)

#### 1.2.1.5. Kınışlı Kendinden Çıtalı Gönyeburun Birleştirme

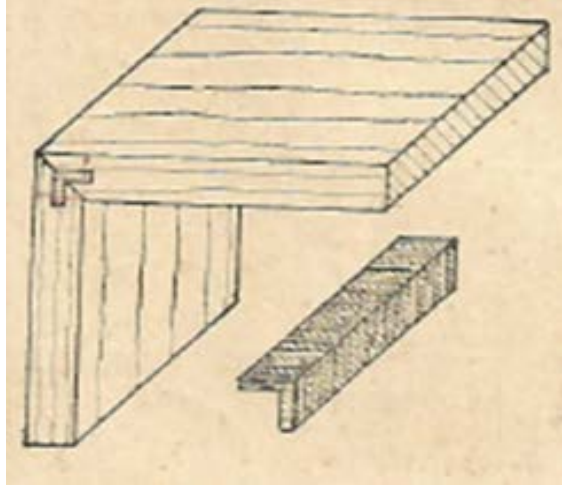
Yatay freze veya daire testere yardımı ile yapılan bir yöntem olmakla birlikte, yapımı zaman alıcı bir yöntem ve sağlam bir birleştirme olmadığı için pek fazla tercih edilmemektedir.



Şekil 7. Kınışlı kendinden çıtalı gönyeburun birleştirme (URL-1, 2019)

#### 1.2.1.6. Kınışlı 90° Çıtalı Gönyeburun Birleştirme

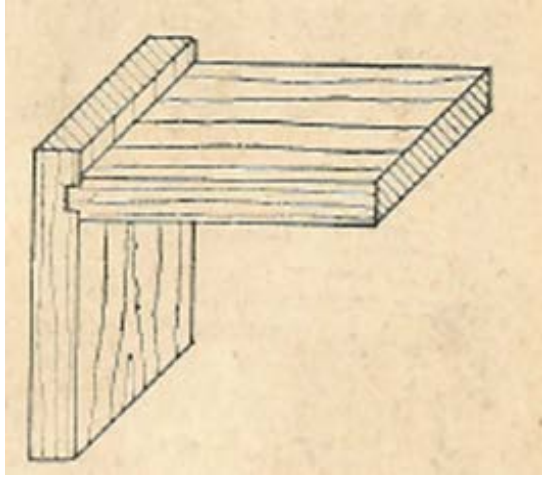
Kınışlar içine özel olarak hazırlanan kontrplaktan kesilmiş 90° çıtalar tutkallanarak hazırlanır. Yapımı kolay ve sağlam olduğu için seri üretim yapan fabrikalarda en çok kullanılan birleştirme yöntemidir.



Şekil 8. Kınışlı 90° çıtalı gönyeburun birleştirme (Malkoçoğlu, 1989)

#### 1.2.1.7. Düz Kanal Birleştirme

Bileştirilen parçada kınış derinliği parça kalınlığının yarısı kadar olacak şekilde ayarlanmaktadır. Bunun amacı geçme derinliği ile sağlamlığı arttırmaktır.

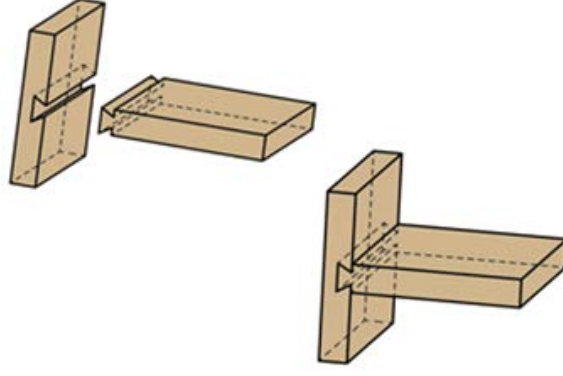


Şekil 9. Düz kanal birleştirme (Malkoçoğlu, 1989)

#### 1.2.1.8. Kırılmaç Kuyruğu Kanal Birleştirme

Bu birleştirmede düşey ya da yatay freze makinasında kırılmaçkuyruğu kanal bıçağı kullanılarak kanal açılmaktadır. Dayanıklı ve yapımı zor olmayan bir birleştirmedir.





Şekil 10. Kırlangıç kuyruğu kanal birleştirme (Malkoçoğlu, 1989)

### 1.2.2. Bağlantı Elemanları

Mobilya endüstrisinde ahşap, metal ve metal-plastik karışımı olmak üzere çeşitli miktarda bağlantı elemanları kullanılmaktadır. Bu bağlantı elemanları işlevsel ve yapısal olarak birçok açıdan avantaja sahiptirler. Bu elemanların bağlantısı tutkal ve/veya mekanik işlemlerle gerçekleştirilmektedir. Malzemede yükseklik ve derinlik gibi özelliklerin ayarlanabilir olması, taşıma ve montajda kolaylık sağlanması, açısız biçim (kalıp) bozulmalarını önlemiş olması gibi etkenler bu bağlantı elemanlarının diğer avantajlarından (Malkoçoğlu, 1989; Anonymous, 1992; Doğanay, 1995). Mobilyada kullanılan en yaygın ahşap bağlantı elemanı kavela olup çoğunlukla tutkal yardımıyla bağlanır.

Genel olarak mobilyacılıkta kullanılan metal bağlantı elemanlarının sınıflandırılması şu şekildedir:

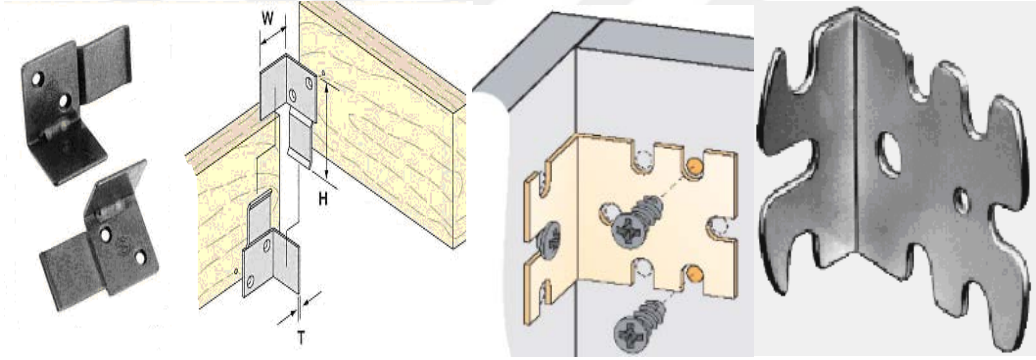
- Köşe bağlantı elemanları
- Karyola bağlantı parçaları (Karyola menteşesi)
- Çektirmeler
- Raf tutucu (VB) eksantrik bağlantı elemanı
- Minifix (Rastex) eksantrik bağlantı elemanları
- Kelebek somunlar
- Bağlantı köşebentleri
- Gövde(Trapez) bağlantı elemanı
- Modül bağlantı elemanları
- Özel bağlantı elemanları

- Ay bağlantı (MEB, 2013 )

Ayrıca mobilyada metal bağlantı elemanı olarak çivi, vida, cıvata ve zımba kullanıldığı belirtilmektedir (Perçin, 2009).

### 1.2.2.1. Köşe Bağlantı Elemanları

Mobilyada, köşe bağlantılarında, raflarda ve bazaların iç bağlantı yerlerinde kullanılan metal bağlantı elemanlarıdır. Bu bağlantı elemanında örtü kapakları plastik olup genellikle Şekil 11'deki gibi üretilmektedirler. Ayrıca bu bağlantı elemanları mobilyaların ek yerlerini sağlamlaştırmak için ve gerektiğinde mobilyanın sökülüp tekrar başka bir yerde birleştirilmesi için kolaylık sağlamaktadır.



Şekil 11. Köşe bağlantı elemanı ve bağlantışı (MEB, 2013)

### 1.2.2.2. Karyola Bağlantı Parçaları (Karyola Menteşesi)

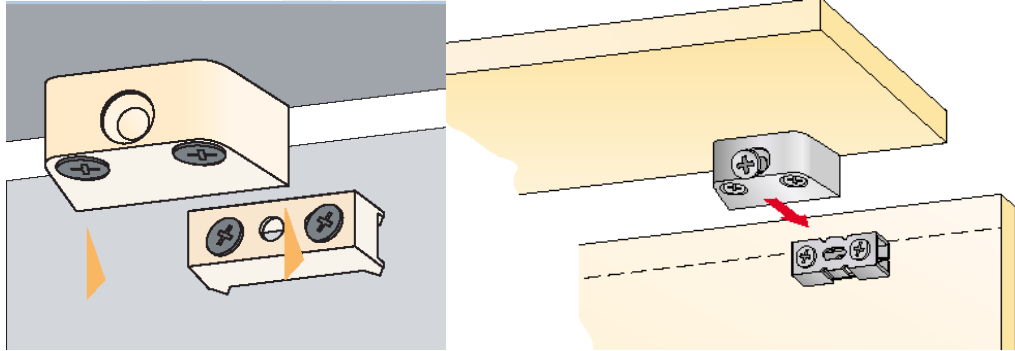
Karyola bağlantıları, karyolaların baş ve ayakları ile yan kayıtlarını sökülebilir biçimde birbirine tutturmak amacıyla kullanılan bağlantı elemanlarıdır.



Şekil 12. Karyola bağlantı parçaları (Karyola menteşesi) (MEB, 2013)

### 1.2.2.3. Çektirmeler

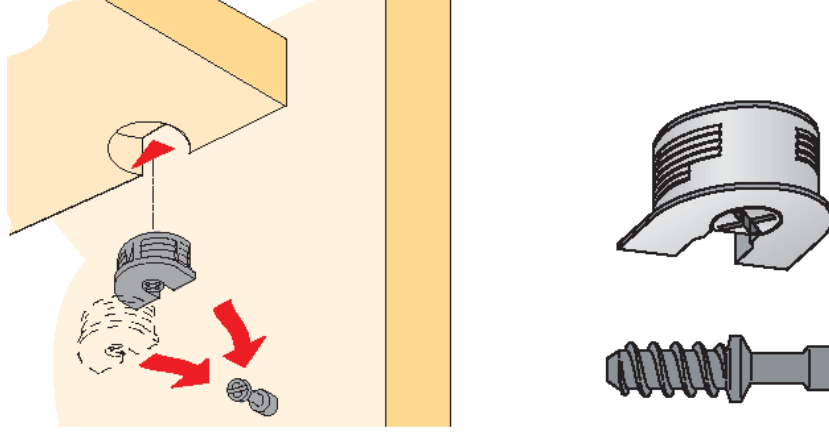
Daha çok tablalarının kapladığı alan çok olan ağır mobilyalarda, elbise dolabı gibi büyük ve ağır mobilyaların köşe bağlantılarında kullanılmaktadırlar. Bağlantı iki tabla birbirine çektilererek ve yaklaştırılarak sağlanmaktadır.



Şekil 13. Çektirmeler (MEB, 2013)

### 1.2.2.4. Raf Tutucu (VB) Eksantrik Bağlantı Elemanı

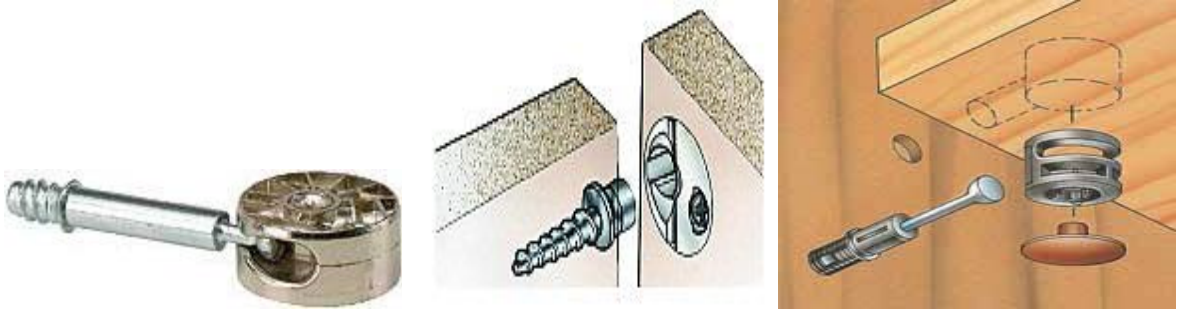
Mobilyada raf montajı için kullanılan temel bağlantı elemanlarından. Bu bağlantı elemanları plastik gövde ve vida çelikten üretilmişlerdir. Şekil 14 bu bağlantı elemanını göstermektedir.



Şekil 14. Raf tutucu (VB) eksantrik bağlantı elemanı (MEB, 2013)

#### 1.2.2.5. Minifix (Rastex) Eksantrik Bağlantı Elemanları

Dayanıklı ve pratik bir mekanik bağlantı elemanıdır. Metal alaşımı, metal ve plastik malzemeden üretilmiştir. Merkezi çektirme esasına dayanır. Stabil bir çektirme yapar. Sonradan gevşeme yapmaz. Üretimde 1 milimetreye kadar oluşabilecek milimetrik hataları çektirme kaybı olmaksızın tolere edebilmektedir. Tekrar tekrar sökülüp takılabilirler. Modüler mobilya birleştirmelerinde kullanılan bağlantı sistemleridir.



Şekil 15. Minifix (Rastex) eksantrik bağlantı elemanları (MEB, 2013)

#### 1.2.2.6. Kelebek Somunlar

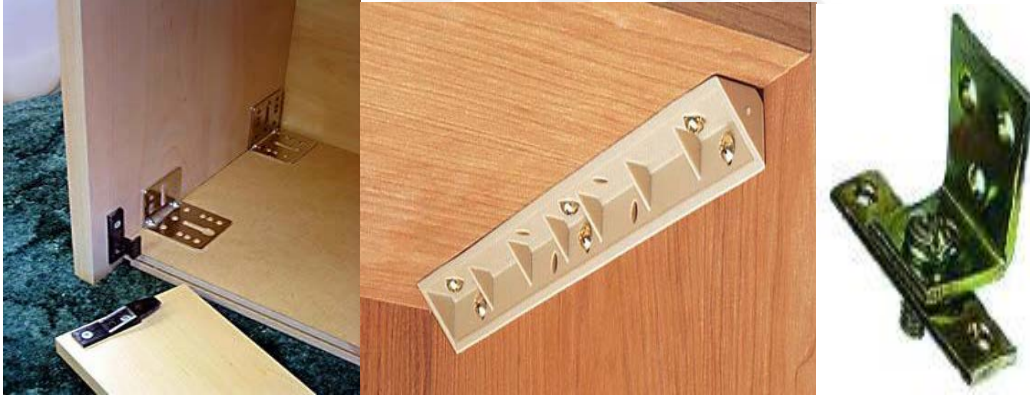
Kelebek somun bağlantı elemanları mobilya ve mutfak dolaplarının köşe birleştirmelerinin yapılması için kullanılmaktadır. İki parçadan oluşur ve biri dikey tablaya diğeri ise yatay tablaya bağlanmaktadır.



Şekil 16. Kelebek somunlar (MEB, 2013)

### 1.2.2.7. Bağlantı Köşebentleri

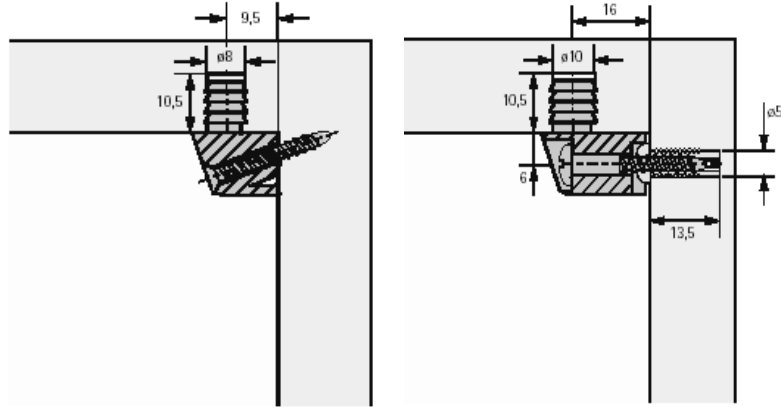
Mobilyada bağlantı köşebentleri daha çok birleştirme yerleri sağlam olmayan mobilyalarda ek yerlerini sağlamlaştırmak amacı ile kullanılmaktadır. Metal veya plastik malzemelerdir .Sökülüp takılabilmesi oldukça kolaydır.



Şekil 17. Bağlantı köşebentleri (MEB, 2013)

### 1.2.2.8. Gövde (Trapez) Bağlantı Elemanı

Trapez bağlantı elemanları sabitlenecek bir parça ve bu parçayı çektirecek başka bir parçadan oluşur. Bu bağlantı elemanları metal, plastik ve çeşitli alaşımlardan yapılmıştır.



Şekil 18. Gövde (Trapez) bağlantı elemanı (MEB, 2013)

### 1.2.2.9. Modül Bağlantı Elemanları

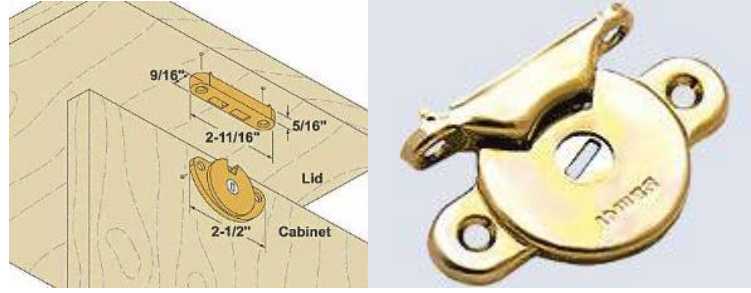
Modül bağlantı elemanları büyük yer kaplayan ve taşınması zor olan mobilya ünitelerinin sökülüp taşınacağı durumlarda kullanılan gereçlerdir. Metal veya metal-plastik karışımı malzemedен üretilmektedirler.



Şekil 19. Modüler bağlantı elemanı (MEB, 2013)

### 1.2.2.10. Ay Bağlantı Elemanları

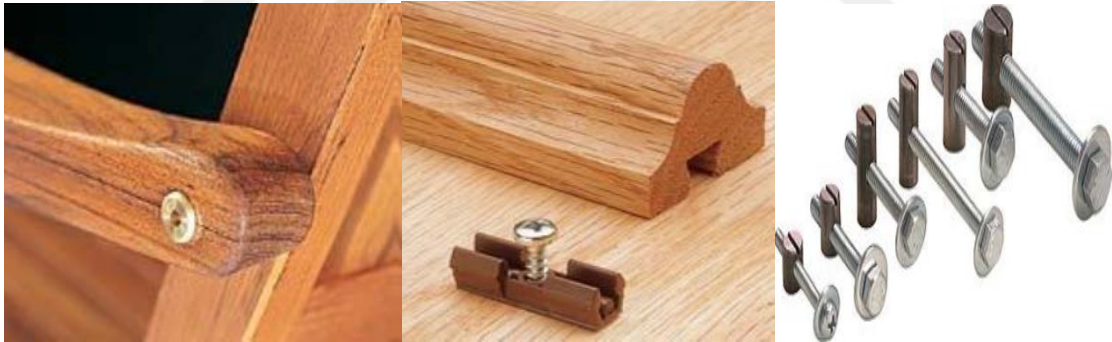
Ay bağlantı elemanları ile daha çok dolap köşeleri ve karyola yan kayıtlarının çektilerle birleştirilmesi sağlanmaktadır. Bu bağlantı elemanları çelik saçtan yapılmaktadır.



Şekil 20. Ay bağlantı elemanları (MEB, 2013)

### 1.2.2.11. Özel Bağlantı Elemanları

Katlanma özelliğine sahip masa, koltuk, sandalye, kanepeler gibi mobilyalarda hareketli bölümleri için üretilmiş olan birleştirme elemanlarıdır. Plastikten ya da paslanmaz metalden üretilmektedirler. Cıvata ve somun olmak üzere iki parçadan meydana gelmektedir.



Şekil 21. Özel bağlantı elemanları (MEB, 2013)

### 1.2.2.12. Zımbalar

Mobilya üretiminde son yıllarda en çok kullanılan metal bağlayıcılardan biri zımbalardır. Zımbalar hem mekanik hem de pnömatik olarak mobilya iskeletlerine uygulanmaktadır. Pnömatik zımbalar mekanik zımbalara göre daha güçlü ve daha kritik birleştirme yerlerinde kullanılır. Mekanik destekli zımbalar daha çok astarların iskelet altlarını örtme işlemlerinde kullanılırlar. Pnömatik zımba tabancası kullanarak uygulanan zımbalama ile mobilya üretimi diğer bağlayıcılara göre daha hızlı ve kolaydır. Bu zımbalar mobilya parçaları, ahşap esaslı panel kompozitlerle yapılan döşemeli mobilya

çerçevelerinde yapı elemanlarını monte etmek için en sık kullanılan mekanik bağlantı elemanlarıdır (Erdil vd., 2003).

Zimba ve tutkal ile iskelet parçalarının birbirine bağlanması, döşemeli mobilya imalatında en yaygın kullanılan yöntemlerinden biridir (GSA, 1998). Zımbalı yapıştırılmış bağlantıların yük direnci, zımbaların ve tutkalın ilave etkilerinden etkilenebilir (Pellicane, 1991; Wang vd., 2007). Zimba ve tutkalın, mobilya iskeleti yapımında kullanılan ağaç malzemelerinde zımbalanmış bağlantılarının yük direnci üzerindeki etkileri hakkında, özellikle yanal yük direnci ile ilgili veriler hakkında literatürde sınırlı bilgi bulunmaktadır.

### 1.3. Literatür Araştırması

Zhang vd. (2002a, 2002b); Erdil vd. (2003); Zhang ve Maupin (2004); Zhang vd. (2004); Zhang vd. (2006) kontrplakta sadece zimba ile birbirine bağlı birleştirmelerin yanal ve doğrudan makaslama yükü dayanımları üzerine çalışmalar yapmışken, Yadama vd. (2002); Erdil vd. (2003); Zhang vd. (2006); Demirel ve Zhang (2014); Demirel vd. (2013) OSB malzemesinin sadece zimba ile birleştirilmiş birleştirme yerlerinin yanal ve doğrudan makaslama yükü dayanımları üzerine çalışmalar yapmıştır. Dai vd. (2008), çam kontrplak ve OSB malzemelerinde sadece tutkallı birleştirme yerlerinin yan ve makaslama dayanımlarını araştırmışlardır. Ancak, kayın, sarıçam (çoğunlukla ve yaygın olarak mobilya endüstrisinde kullanılan), kızılğaç (mobilya endüstrisinde son yıllarda yaygın olarak kullanılmaya başlanmış) gibi masif ahşaptan yapılmış ve zimba ile birleştirilmiş birleştirme yerlerinin yanal makaslama yükü dirençleri üzerine yapılan çalışmalar yok denecek kadar az sayıdadır.

Wang vd. (2007) ana malzemesi OSB olan ve bu malzemelerin bir takoz aracılığıyla zimba ve tutkal kullanılarak birleştirmesi gerçekleşen birleşme yerlerinin moment dirençleri üzerine çalışmışlar ve birleşme yüzeylerine zimba yanında tutkal uygulanmasının birleşme yerinin momentini % 27 artırdığını rapor etmişlerdir.

Pellicane (1991) çivili ve tutkallı odun birleşme yerlerinin yanal yük taşıma kapasitelerini araştırmış olup tutkalın çivi ile birlikte kullanılmasının birleştirme yerinin yük taşıma kapasitesini mükemmel düzeyde artırdığını gözlemlemiştir. Ayrıca tutkallı çivili birleşme yerinin sadece çivili birleşme yerine yük taşıma kapasitesi olarak oranını 3,7 olarak bulmuştur.



Demirel vd. (2013), üç farklı OSB malzemesi kullanarak tek zımba ve tek sıra dikey olarak hizalanmış çoklu zımbalı birleştirme yerlerinin yanal makaslama direnç kapasitelerini araştırmıştır. Genel olarak OSB'lerin (OSB-I, OSB-II ve OSB-III) yoğunlukları sırasıyla 462, 466 ve 563 kg / m<sup>3</sup>'tür. Sonuçlar, OSB-I'den elde edilen tek sıra zımbalı birleştirme yerlerinin yanal makaslama direnç kapasitesinin OSB-II ve OSB-III den elde edilenlerinkinden daha düşük olduğunu göstermiştir. Birleştirme yerlerinin yanal makaslama direnç kapasitelerinin, zımba sayısı ikiden dörde artması sonucu önemli ölçüde arttığı görülmüştür. Regresyon analizleri, tek sıralı çoklu zımbalarla bağlı OSB birleştirme yerlerinin yanal makaslama direnç kapasitesinin iki alternatif güç denklemi kullanılarak tahmin edilebileceğini göstermiştir. Denklemlerden ilki, OSB malzemesinden elde edilen tek zımbalı birleştirme yerlerinin yanal makaslama direnci yükünün bilinmesini gerektirirken ikinci denklem birleştirme yerlerinin yapıldığı OSB malzemesinin yoğunluğunun bilinmesini gerektirir.

Demirel vd. (2014) farklı yoğunluklardaki üç OSB levhanın çift sıra zımba ile birleştirilmiş birleştirme yerlerinin maksimum yanal makaslama direnci araştırılmıştır. Deneysel sonuçlar, zımba sayısının ikiden sekize yükselmesi ile OSB birleştirme yerlerinin maksimum yanal makaslama direncini önemli ölçüde arttığını göstermiştir. Zımba sayısının sekizden az kullanılması durumunda dikey sıra ve yatay sıra zımbalama biçiminin OSB birleştirme yerlerinin maksimum yanal makaslama direnci üzerine istatistiki anlamda bir fark olmadığı görülmüştür. Yüksek yoğunluklu OSB malzemesi kullanılarak oluşturulan birleştirme yerlerinin maksimum yanal direnci de yüksek çıkmıştır ancak bu artış kullanılan zımba sayısını ve zımbalama doğrultusuna bağlıdır. Birleştirme yerlerinin yoğunluk artışına olan hassasiyeti zımba sayısının altı ve daha yüksek olması durumuna daha fazladır. OSB birleştirme yerlerinin maksimum yanal makaslama direnç değerlerini hesaplamada kullanılan denklemler makul sonuçlar vermiştir.

Demirel vd. (2018) zımba sayısının ve tutkallamanın çok zımbalı ve tutkallı OSB birleştirme yerlerinin yanal makaslama direnci üzerine etkilerini çalışmışlardır. Yapılan çalışmalar sonucunda birleştirilen iki parçanın dayanımı ve yanal yük direnci zımba sayısı ile alakalı olduğu tespit edilmiştir. OSB birleştirme yerlerine tutkal uygulamak, zımba sayısının etkisini değiştirebilmektedir. Tutkallama işlemi OSB birleştirme yerlerinin yanal yük direncini arttırmaktadır. OSB birleştirme yerlerinin maksimum yanal yük direncinin sırası ile kullanılan zımba sayısı ve tutkala bağlı olduğu görülmüştür. Zımba ile birleştirilmiş OSB malzemesine tutkal uygulamak malzemenin sağlamlığını arttırmıştır. Bu

OSB malzemeleri arasındaki istatistikî fark zımba sayısı altıdan sekize arttığında ortadan kalkmaktadır.

Bu çalışmanın temel amacı üç farklı ağaç malzemedен yapılmış mobilya birleştirme yerlerinin yanal makaslama direnci değerlerinin ele alınması ve karşılaştırılmasıdır, bu çalışmanın spesifik amaçları: 1) farklı ağaç türü kullanımının sadece tutkallı birleştirmelerin yanal makaslama direnci özelliklerinin incelenmesi 2) zımba sayısının ve farklı ağaç malzeme kullanımının tek ve çift sıra zımbalı, tutkallı tek ve çift sıra sadece zımbalı birleştirme yerlerinin yanal makaslama direnci değerleri üzerine etkisinin incelenmesi zımba sayısının ve ağaç türünün sadece zımbalı birleştirme yerleri üzerindeki etkisini ölçmek 3) tek sıralı ve çift sıralı sadece zımbalı birleştirme yerlerinin yanal makaslama direnci değerlerini tahmin etmek amacı ile denklemler türetilmesi.

## 2. MATERYAL VE YÖNTEM

Her test örneği iki ana malzemedden oluşturulmuştur. Örnekler ana malzeme ve yan malzeme olmak üzere sadece zımba kullanılarak oluşturulan birleştirmeler, sadece tutkal kullanılarak oluşturulan birleştirmeler ve hem zımba hem tutkal kullanılarak oluşturulan birleştirmeler olmak üzere üç farklı şekilde hazırlanmıştır. Ana malzeme olarak sarıçam, kızılğaç, kayın olmak üzere üç farklı tür ağaç malzeme kullanılmıştır. Yapılan birleştirmelerde ana malzeme yanında yan malzeme olarak 9 tabakalı sarıçam kontrplak kullanılmıştır. Kullanılan kontrplakların merkezindeki ve yüzey tabakalarında kullanılan kaplamaların lif yönü ağaç malzemenin boyuna lif yönüne paraleldir. Ana malzemenin boyutları 292 mm uzunluğunda 178 mm genişliğinde 18 mm kalınlığındadır. Yan malzeme boyutları 152 mm uzunluğunda 51 mm genişliğinde 19 mm kalınlığındadır.

Örnek birleştirmesinde kullanılan zımba, örneklere lif yönüne 45 ° lik açı esas alınarak uygulanmıştır. Zımba, SENCO 16-gauge galvanizli keski-taç genişliği 11 mm ve bacak uzunluğu 38 mm dir. Diğer yandan zımbaların bacak genişliği ve kalınlığı sırasıyla 1,6 mm, 1,4 mm'dir. Zımba Sencote denilen nitroselüloz esaslı bir plastik ile kaplanmıştır. Yapıştırıcı olarak birleştirme yerlerini oluşturan üyeleri bağlamak için % 40 katı madde içerikli Polivinil asetat tutkalı (PVA) kullanılmıştır.

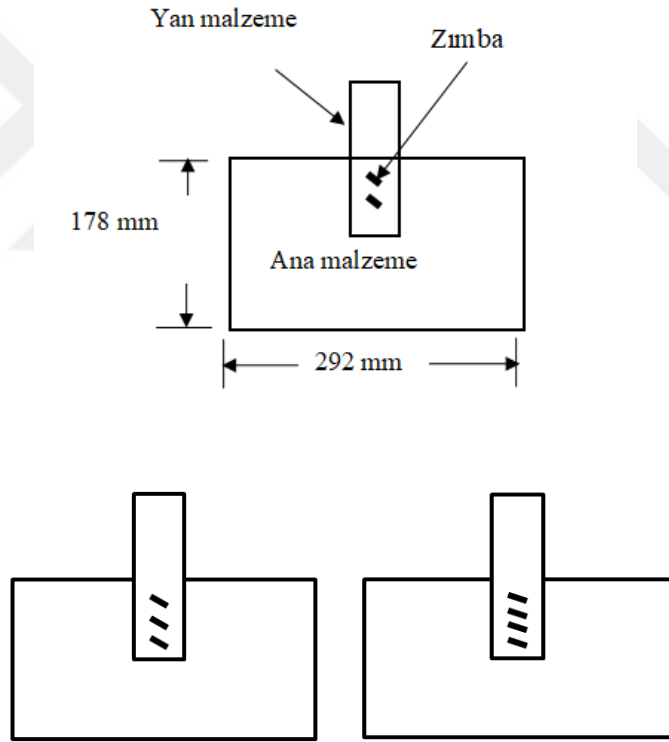
Bu çalışmada kullanılan ağaç malzemelerin rutubetleri ve yoğunlukları gibi fiziksel özellikleri sırası ile TS2471 ve TS2472 isimli Türk standartları baz alınarak belirlenmiştir. Tablo 1 bu çalışmada kullanılan ağaç malzemelerin yoğunluklarını ve rutubet değerlerini göstermektedir.

Tablo 1. Ağaç malzemelerin yoğunluk ve rutubet değerleri

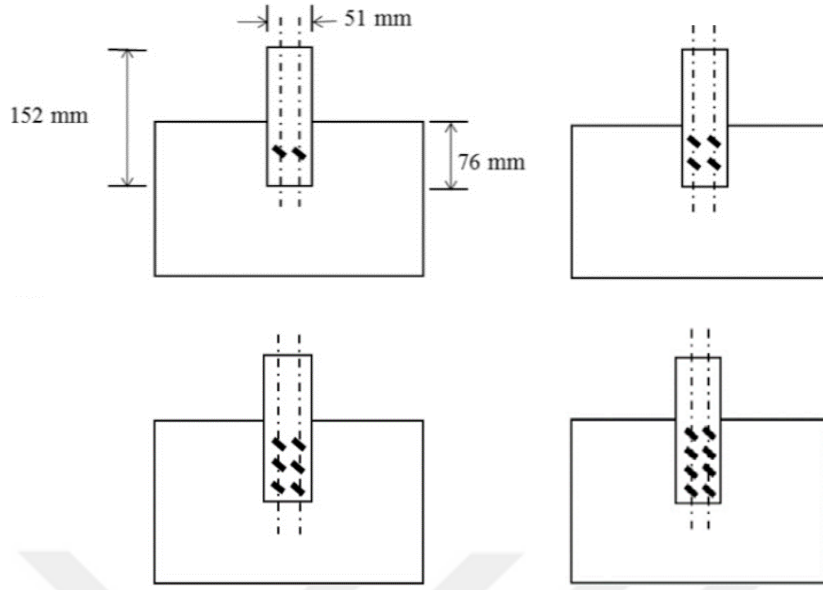
Malzeme Türü	Yoğunluk (gr/cm <sup>3</sup> )	Rutubet (%)
Sarıçam	0,450	12
Kızılğaç	0,510	12
Kayın	0,540	12
Kontrplak	0,635	12

## 2.1. Deneysel Tasarım

Birleştirme yeri örneklerinin dikey yük dayanımı üzerine zımba sayısı, tutkal ve ağaç türünün etkisini incelemek için, iki tip deneysel tasarım oluşturulmuştur. İlki tek sıra zımbalı birleştirme yerleri için 3×3 olarak 3 tip zımba (2, 3, 4) ve 3 tip ağaç malzeme (sarıçam, kızılğaç, kayın) olarak tasarlanmıştır. İkincisi ise çift sıra zımbalılar için 3×4'lik bir deneysel tasarım şeklinde oluşturulmuş olup faktörler 4 tip zımba sayısı (2, 4, 6, 8) 3 tip ağaç çeşidi (sarıçam, kızılğaç, kayın) olacak şekilde belirlenmiştir. Ayrıca üç ağaç türünden sadece zımbalı birleştirme yerleri ayrı bir parametre olarak ele alınmıştır. Her birinden 10 tekrar olacak şekilde toplamda 280 örnek test edilmiştir. Her zımba numarası için yerleştirme biçimi Şekil 23'de verilmiştir.



Şekil 22. Tek sıralı-zımbalı örneklerin yerleşme biçimi

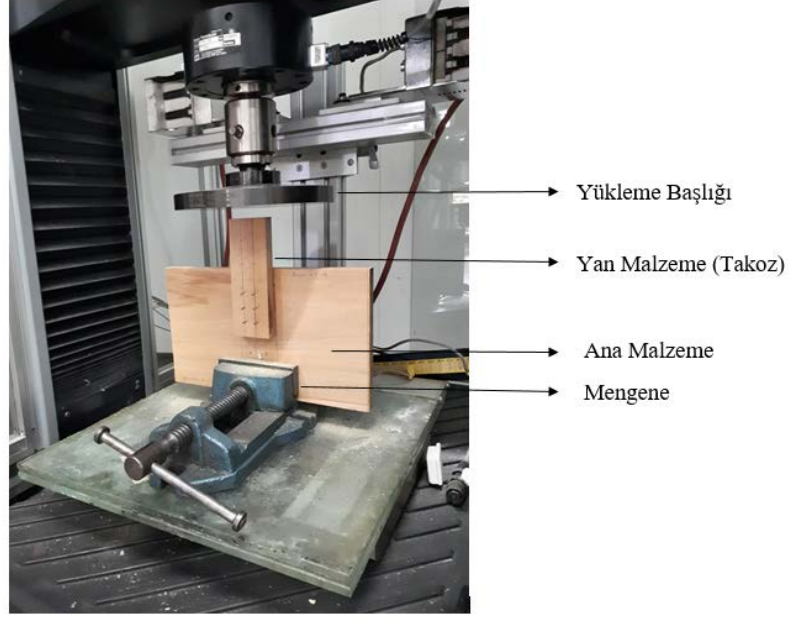


Şekil 23. İki sıralı-zımbalı örneklerin yerleşme biçimi

## 2.2. Test

Örnekler birleştirilmeden önce yaklaşık bir yıl süre ile  $20 \pm 3^\circ\text{C}$  sıcaklıkta ve  $65 \pm 5\%$  bağıl nem şartlarında dinlendirilmesinin ardından zımba ile birleştirilerek test edilmiştir. Zımba-tutkal birleştirme örnekleri tutkalın sertleşmesini beklemek için 24 saat dinlendirildikten sonra test edilmiştir. Zımbalı birleştirmeler için bir Senco 16-gauge pnömatik zımba tabancası kullanılarak zımbalar ana malzeme ve yan malzemeyi birleştirmek için zımbalanmıştır. Zımba tabanca basıncı 483 kPa da optimum zımbalamaya elverdiği için bu miktarda basınç kullanılmıştır (Demirel vd., 2018). Tutkal-zımba birleştirmeler için, tutkal hem ana hem de yan malzemelerin temas yüzeylerine 646 g/m<sup>2</sup> kadar uygulanmış olup daha sonra zımbalanmış ve 24 saat beklemeye bırakılmıştır. Şekil 24 ölçüm sırasında test cihazını gösterir.

Birleştirme yerlerinin yükleme testleri MTS Universal Criterion model 45 test cihazında gerçekleştirilmiştir. Örnekler test cihazında bir mengeneyle oturtularak sabitlenmiş ve 2,5 mm / dk yükleme hızında ASTM D 1761-06 standardına bağlı kalınarak gerçekleştirilmiştir (ASTM, 2010).



Şekil 24. MTS Universal test cihazında örneğin test edilişi

### 2.3. İstatistik Analiz

Verilerin analizinde SAS Software 9.4 (SAS Institute Inc., Cary, ABD) istatistik paket programı kullanılmıştır. Birleştirme yerlerinin yanal maksimum makaslama direnci değerleri üzerine ağaç malzeme yoğunluğu, zımba sayısı ve tutkal kullanımı gibi parametrelerin etkileri % 5 güven düzeyinde ele alınmıştır.

### 3. BULGULAR

#### 3.1. Fiziksel Özellikler

Sarıçam, kızılağaç ve kayın ağaç malzemelerinin yoğunluk değerleri arasında % 5 önem düzeyinde yapılan istatistiksel analiz sonucu en önemli fark değeri (LSD) 0.014 olarak belirlenmiş olup yoğunluk değerleri arasındaki kıyaslama Tablo 2’de verilmiştir. Buna göre yoğunluğu en yüksek ağaç malzeme kayın olup bunu istatistiksel olarak kızılağaç ve sarıçam ağaç malzemeleri takip etmiştir.

Tablo 2. Ağaç malzeme yoğunluk değerlerinin istatistiksel kıyaslanması

	Ağaç Türü		
	Sarıçam	Kızılağaç	Kayın
Yoğunluk	0,451 (C)	0,513 (B)	0,540 (A)

\*Parantez içindeki farklı harfler istatistiksel farkları göstermektedir.

#### 3.2. Tek Sıra Zımbalı Sarıçam Birleştirme Örnekleri

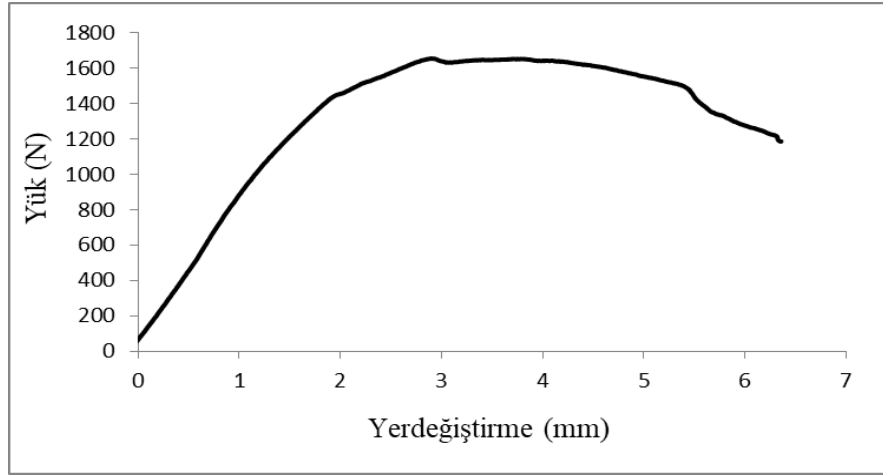
##### 3.2.1. Tek Sıralı İki Zımbalı Sarıçam Birleştirmeleri İçin Makaslama Testi

MTS universal test makinesinde dakikada 2,5 mm hızda gerçekleşen bu teste 10 adet tek sıralı iki zımba ile birleştirilmiş sarıçam örneklerinin maksimum direnç değerleri ile ayrılma biçimleri ele alınmıştır. Buna göre örneklerin tamamında birleştirme yerinde zımbanın ana malzemedan çıkması ve zımba tellerinin eğilmesi ile ana malzemedan ve takozda ezikler oluşturma şeklinde ayrılma gerçekleştiği gözlenmiştir. Şekil 25 bu gruba ait ayrılma şeklini göstermektedir. Demirel vd. (2013) çalışmasında kullandığı tek sıra zımbalı OSB birleştirme yerlerinin tamamında test sonucu örneklerde oluşan ayrılma biçimi zımbanın ana malzemedan çıkması ve zımba tellerinin eğilmesi ile ana malzemedan ve takozda ezikler oluşturarak ayrılma şeklinde tanımlamıştır.

Çalışmamız ayrılma biçimi bakımından söz konusu çalışmayla benzerlik göstermiştir. Bu örnek gruplarına ait tipik yük-yer değiştirme grafiği Şekil 26'da verilmiştir.



Şekil 25. Zımbanın ana malzemeden çıkışı ve zımba tellerinin eğilmesi

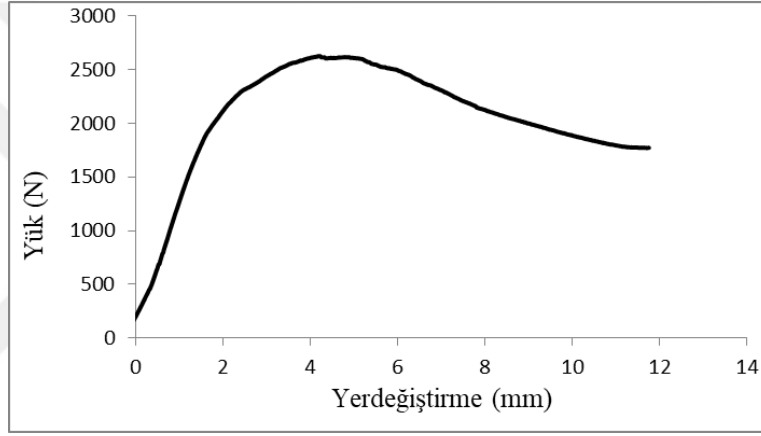


Şekil 26. Tek sıralı iki zımbalı sarıçam örneklerine ait tipik yük yer değiştirme grafiği



### 3.2.2. Tek Sıralı Üç Zımbalı Sarıçam Birleştirmeleri İçin Makaslama Testi

MTS üniversal test makinesinde dakikada 2,5 mm hızda gerçekleşen bu teste 10 adet tek sıralı üç zımba ile birleştirilmiş sarıçam örneklerinin maksimum direnç değerleri ile ayrılma biçimleri ele alınmıştır. Buna göre örneklerin tamamında birleşme yerinde zımbanın ana malzemedan çıkışı ve zımba tellerinin eğilmesi ile ana malzemede ve takozda ezikler oluşturma şeklinde ayrılma gerçekleştiği gözlenmiştir. Şekil 28 bu gruba ait ayrılma şeklini göstermektedir. Bu örnek gruplarına ait tipik yük-yer değiştirme grafiği ise Şekil 27’ deki gibidir.



Şekil 27. Tek sıralı üç zımbalı sarıçam örneklerine ait tipik yük yer değiştirme grafiği



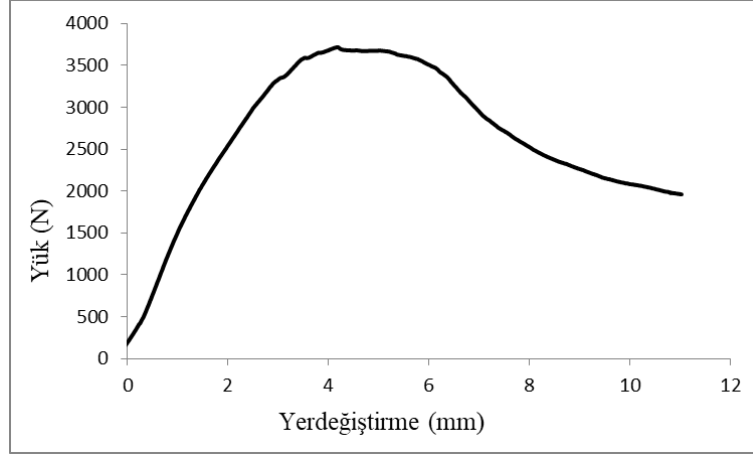
Şekil 28. Zımbanın ana malzemedan çıkışı ve zımba tellerinin eğilmesi

### 3.2.3 Tek Sıralı Dört Zımbalı Sarıçam Birleştirmeleri İçin Makaslama Testi

MTS üniversal test makinesinde dakikada 2,5 mm hızda gerçekleşen bu teste 10 adet tek sıralı 4 zımba ile birleştirilmiş sarıçam örneklerinin maksimum direnç değerleri ile ayrılma biçimleri ele alınmıştır. Test sonucunda yalnızca 9 numaralı örnekte takozu oluşturan tabakalar arasında makaslama oluşmuştur. Diğer örneklerde ise zımbanın ana malzemeden çıkması ve zımba tellerinin eğilmesi ile ana malzemede ve takozda ezikler oluşturma şeklinde ayrılma gerçekleşmiştir. Şekil 29 bu gruba ait ayrılma şeklini göstermektedir. Bu örnek gruplarına ait tipik yük-yer değiştirme grafiği ise Şekil 30'daki gibidir.



Şekil 29. Takozu oluşturan tabakalar arası makaslama (a), Zımbanın ana malzemeden ayrılması (b)



Şekil 30. Tek sıralı 4 zımbalı sarıçam örneklerine ait tipik yük yer değiştirme grafiği

Tablo 3 tek sıra zımba ile birleştirilmiş her bir sarıçam birleştirme yerlerinin maksimum yanıl makaslama direnç değerlerini göstermektedir. Tablo ortalama değerlerine bakıldığında zımba sayısı birer zımba artması birleştirme yerlerinin ortalama maksimum yanıl makaslama direnci değerlerinin arttırmıştır.

Tablo 3. Tek sıra sarıçam örneklerinin maksimum direnç değerleri ve ortalama değerleri

Sarıçam Tek Sıra Örnekler			
Örnek No	Zımba sayısı		
	2	3	4
1	1655,258	2625,82	3455,842
2	1611,868	2496,42	3893,632
3	1642,803	2563,71	3715,700
4	1846,086	2612,08	3501,510
5	1867,251	2456,81	3549,728
6	1794,997	2429,19	3519,012
7	1952,501	2946,96	3273,518
8	1567,645	2563,98	3847,304
9	1610,482	2373,19	2609,656
10	1660,755	2947,12	3615,564
Ortalama	1720,965	2621,53	3498,146

### 3.3. Tek Sıra Zımbalı Kızılağaç Birleştirme Örnekleri

#### 3.3.1. Tek Sıralı İki Zımbalı Kızılağaç Birleştirmeleri İçin Makaslama Testi

MTS üniversal test makinesinde dakikada 2,5 mm hızda gerçekleşen bu teste 10 adet tek sıralı 2 zımba ile birleştirilmiş kızılağaç örneklerinin maksimum direnç değerleri ile ayrılma biçimleri ele alınmıştır. Buna göre örneklerin tamamı birleştirme yerinde zımbanın ana malzemeden çıkmasıyla ve zımba tellerinin eğilmesi ile ana malzemede ve takozda ezikler oluşturma şeklinde ayrılma gerçekleşmiştir. Şekil 31 bu gruba ait ayrılma şeklini göstermektedir. Bu örnek gruplarına ait tipik yük-yer değiştirme grafiği ise Şekil 32' deki gibidir.



Şekil 31. Zımbanın ana malzemeden çıkışı ve zımba tellerinin eğilmesi



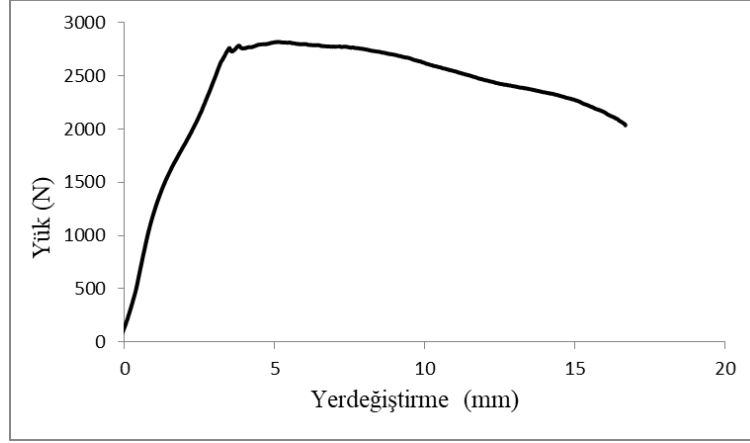
Şekil 32. Tek sıralı iki zımbalı kızılâğaç örneklerine ait tipik yük yer deęiřtirme grafięi

### 3.3.2. Tek Sıralı Üç Zımbalı Kızılâğaç Birleřtirmeleri İin Makaslama Testi

Ana malzemesi kızılâğaç olan 10 adet tek sıralı 3 zımba ile birleřtirilmiř örnekler MTS üniversal test makinesinde dakikada 2,5 mm hızda test edilmiřtir. Test sonucunda örneklerin tamamında birleřtirme yerinde zımbanın ana malzemeden ıkması ile zımba tellerinin eęilmesi, ana malzemede ve takozda ezikler oluřturma řeklinde ayrılma gerekleřmiřtir. Şekil 33 bu gruba ait ayrılma řeklini göstermektedir. Bu örnek gruplarına ait tipik yük-yer deęiřtirme grafięi ise Şekil 34' deki gibidir.



Şekil 33. Zımbanın ana malzemeden ıkması ve zımba tellerinin eęilmesi



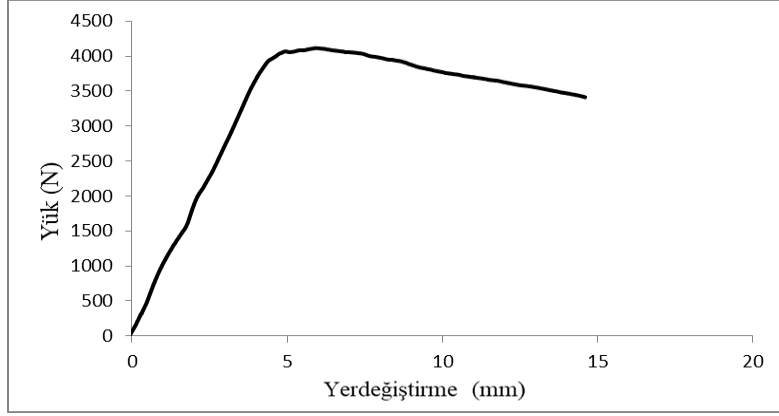
Şekil 34. Tek sıralı üç zımbalı kızılğaç örneklerine ait tipik yük yer değiştirme grafiği

### 3.3.3. Tek Sıralı Dört Zımbalı Kızılğaç Birleştirmeleri İçin Makaslama Testi

MTS üniversal test makinesinde dakikada 2,5 mm hızda gerçekleşen bu teste 10 adet tek sıralı 4 zımba ile birleştirilmiş kızılğaç örneklerinin maksimum direnç değerleri ile ayrılma biçimleri ele alınmıştır. Test sonucunda yalnızca 9 numaralı örnekte takozu oluşturan tabakalar arasında makaslama gerçekleşirken diğer örneklerde zımbanın ana malzemeden çıkışı ve zımba tellerinin eğilmesi ile ana malzemede ve takozda ezikler oluşturma şeklinde ayrılma gözlenmiştir. Şekil 35 bu gruba ait ayrılma şeklini göstermektedir. Bu örnek gruplarına ait tipik yük-yer değiştirme grafiği ise Şekil 36' daki gibidir.



Şekil 35. Takozun tabakaları arasında makaslama



Şekil 36. Tek sıralı dört zımbalı kızılağaç örneklerine ait tipik yük yer değiştirme grafiği

Tablo 4 tek sıra zımba ile birleştirilmiş her bir kızılağaç birleştirme yerlerinin maksimum yanal makaslama direnci değerlerini göstermektedir. Tablo ortalama değerlerine bakıldığından zımba sayısı arttıkça birleştirme yerlerinin ortalama maksimum yanal makaslama direnci değerlerinin arttığı gözlemlenmektedir.

Tablo 4. Tek sıra kızılağaç örneklerinin maksimum direnç değerleri ve ortalama değerleri

Kızılağaç Tek Sıra Örnekler			
Örnek No	Zımba sayısı		
	2	3	4
1	2156,92	2819,83	4951,32
2	1874,81	3689,75	4448,97
3	1695,22	2810,94	4378,70
4	2088,59	3669,66	4943,38
5	2376,38	3708,10	3880,58
6	1933,75	2725,21	4116,07
7	1997,51	2705,46	5072,58
8	2436,58	3562,32	4065,76
9	1891,01	3591,10	4803,55
10	1817,83	3763,37	4209,25
Ortalama	2026,86	3304,57	4487,02

### 3.4. Tek Sıralı Zımbalı Kayın Birleştirme Örnekleri

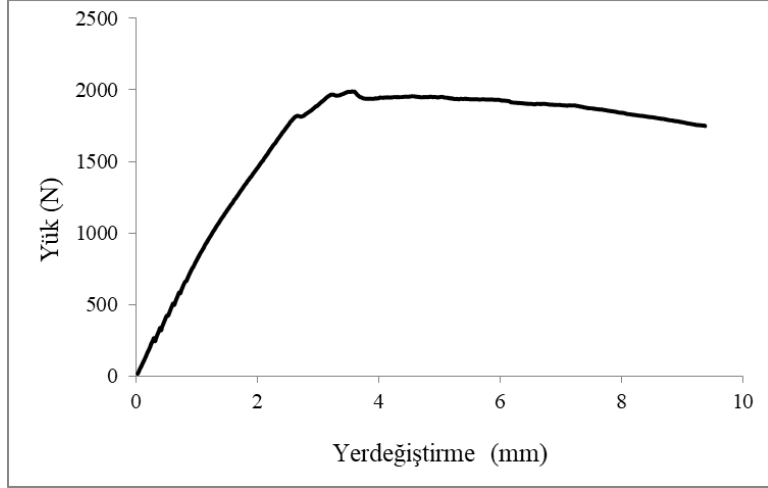
#### 3.4.1. Tek Sıralı İki Zımbalı Kayın Birleştirmeleri İçin Makaslama Testi

MTS üniversal test makinesinde dakikada 2,5 mm hızda gerçekleşen bu teste 10 adet tek sıralı 2 zımba ile birleştirilmiş kayın örneklerinin maksimum direnç değerleri ile ayrılma biçimleri ele alınmıştır. Buna göre örneklerin tamamında zımbanın ana malzemeden çıkışı ve zımba tellerinin eğilmesi ile ana malzemede ve takozda ezikler oluşturma şeklinde ayrılma gerçekleşmiştir. Şekil 37 bu gruba ait ayrılma şeklini göstermektedir. Bu örnek gruplarına ait tipik yük-yer değişirme grafiği ise Şekil 38 deki gibidir.



Şekil 37. Zımbanın ana malzemeden çıkışı ve zımba tellerinin eğilmesi

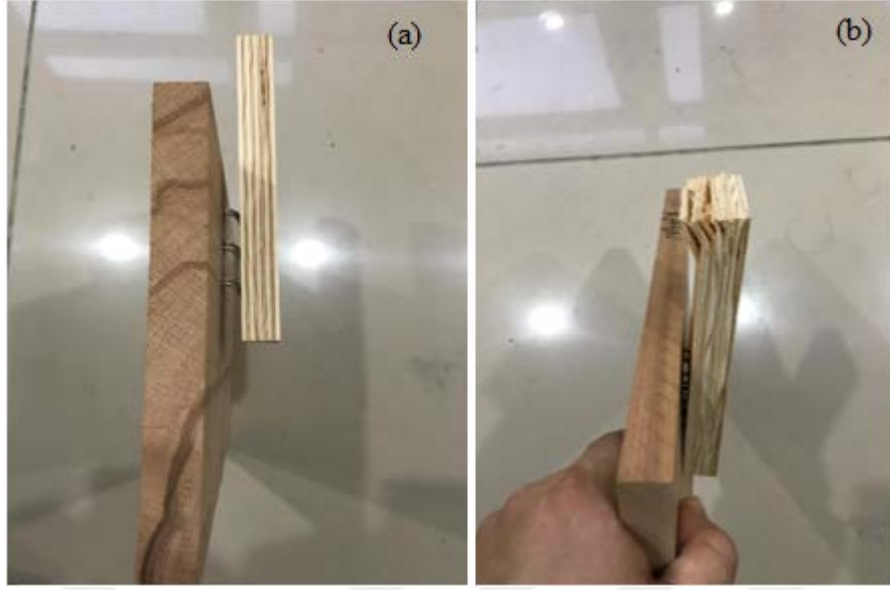




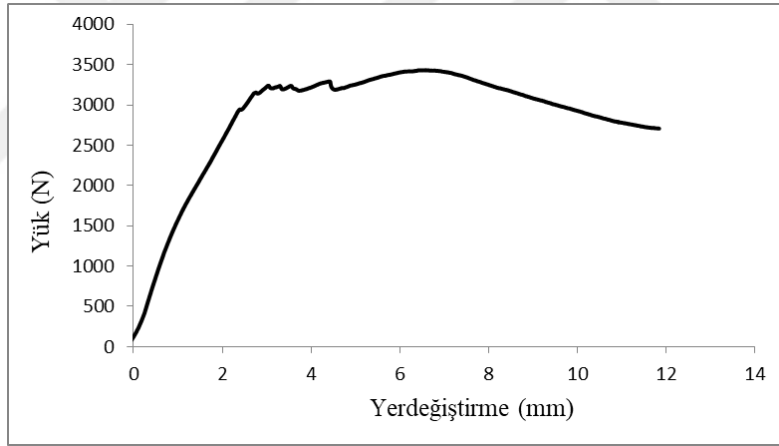
Şekil 38. Tek sıralı iki zımbalı kayın örneklerine ait tipik yük yer değiştirme grafiği

### 3.4.2. Tek Sıralı Üç Zımbalı Kayın Birleştirmeleri İçin Makaslama Testi

Tek sıralı 4 zımba ile birleştirilen 10 adet kayın birleştirme örneği MTS Universal test cihazında dakikada 2,5 mm hızda test edilmiştir. Birleştirilen bu örneklerin maksimum direnç değerleri ve ayrılma biçimleri ele alınmıştır. Test sonucunda yalnızca 2 numaralı örnekte takozu oluşturan tabakalar arasında makaslama oluşmuştur. Diğer örneklerde ise zımbanın ana malzemedan çıkışı ve zımba tellerinin eğilmesi ile ana malzemedde ve takozda ezikler oluşturma şeklinde ayrılma gerçekleşmiştir. Şekil 39 bu gruba ait ayrılma biçimlerini göstermektedir. Bu örnek gruplarına ait tipik yük-yer değiştirme grafiği ise Şekil 40'daki gibidir.



Şekil 39. Zımbanın ana malzemeden çıkışı zımba tellerinin eğilmesi (a), Takozda ezik oluşumu (b)



Şekil 40. Tek sıralı üç zımbalı kayın örneklerine ait tipik yük yer değiştirme grafiği

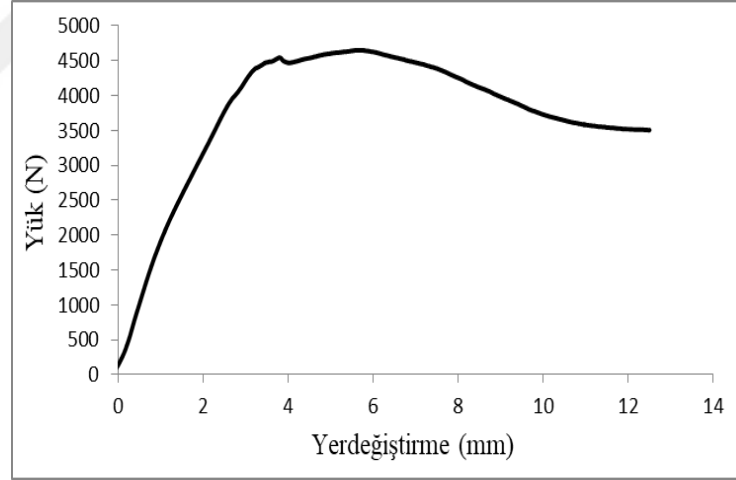
### 3.4.3. Tek Sıralı Dört Zımbalı Kayın Birleştirmeleri İçin Makaslama Testi

Bu test MTS Üniversal Test makinesinde dakikada 2,5 mm hızda gerçekleştirilmiştir. Tek sıralı 4 zımba ile birleştirilmiş kayın örneklerinin maksimum direnç değerleri ve kırılma biçimleri rapor edilmiştir. Test sonucunda 7 ve 8 numaralı örneklerde takozu oluşturan tabakalar arasında makaslama oluşmuştur. Diğer örneklerde ise zımbanın ana malzemeden çıkışı ve zımba tellerinin eğilmesi ile ana malzemede ve takozda ezikler

oluşturma şeklinde ayrılma gözlenmiştir. Bu örnek gruplarına ait ayrılma şekillerini Şekil 41, tipik yük-yer değiştirme grafiği ise Şekil 42' deki gibidir.



Şekil 41. Zımbanın ana malzemeden çıkışı ve zımba tellerinin eğrilmesi (a), Ana malzemede ve takozda ezikler oluşma (b)



Şekil 42. Tek sıralı dört zımbalı kayın örneklerine ait tipik yük yer değiştirme grafiği

Tablo 5 tek sıra zımba ile birleştirilmiş her bir kayın birleştirme yerlerinin maksimum yanıl makaslama direnci değerlerini göstermektedir. Tablo ortalama değerlerine bakıldığında zımba sayısı arttıkça diğer ağaç türlerinden elde edilenler gibi kayından üretilmiş birleştirme yerlerinin de ortalama maksimum yanıl makaslama direnci değerlerinin arttığı gözlemlenmektedir.

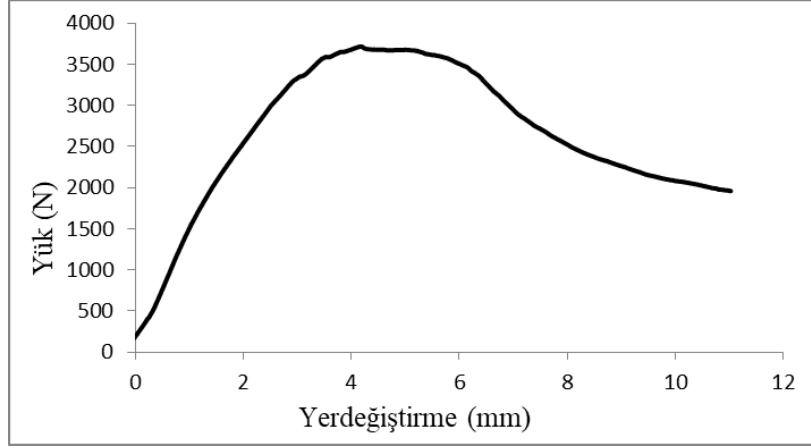
Tablo 5. Tek sıra kayın örneklerinin maksimum direnç değerleri ve ortalama değerleri

Örnek No	Kayın Tek Sıra Örnekler		
	Zimba sayısı		
	2	3	4
1	2642,420	3953,21	4933,761
2	2551,538	3411,87	6093,321
3	2477,488	3778,58	4599,927
4	2888,792	3952,16	5127,636
5	1989,580	3331,94	4564,744
6	2910,251	3819,36	5387,675
7	2306,997	3432,50	4679,971
8	2973,680	3404,39	4139,806
9	2136,503	3266,92	4651,735
10	2744,377	3973,66	4755,343
Ortalama	2562,163	3632,46	4893,391

### 3.5. İki Sıra Zımbalı Sarıçam Birleştirme Örnekleri

#### 3.5.1. İki Sıralı İki Zımbalı Sarıçam Birleştirmeleri İçin Makaslama Testi

Bu test dakikada 2,5 mm hızda MTS Universal test cihazında gerçekleştirilmiştir. Buna göre 2 zimba ile birleştirilmiş 10 adet sarıçam örneklerinin maksimum direnç değerleri ve ayrılma biçimleri değerlendirilmiştir. Test sonuçları örneklerin tamamında tek sıra zımbalı örneklerde olduğu gibi zımbanın ana malzemedan çıkışı ve zimba tellerinin eğilmesi ile ana malzemedde ve takozda ezikler oluşturma şeklinde ayrılma gerçekleştiğini göstermektedir. Demirel vd. (2014) çalışmasında kullandığı çift sıra zımbalı OSB birleştirme yerlerinin tamamında test sonucu örneklerde oluşan ayrılma biçiminin zımbanın ana malzemedan çıkması ve zimba tellerinin eğilmesi ile ana malzemedde ve takozda ezikler oluşturarak ayrılma şeklinde tanımlamıştır. Çalışmamız çift sıra zımbalı birleştirme yerleri içinde ayrılma biçimi bakımından geçmiş söz konusu çalışmaya ayrılma biçimi bakımından benzerlik göstermiştir. Bu örnek gruplarına ait tipik yük-yer değiştirme grafiği ise Şekil 43' deki gibidir.



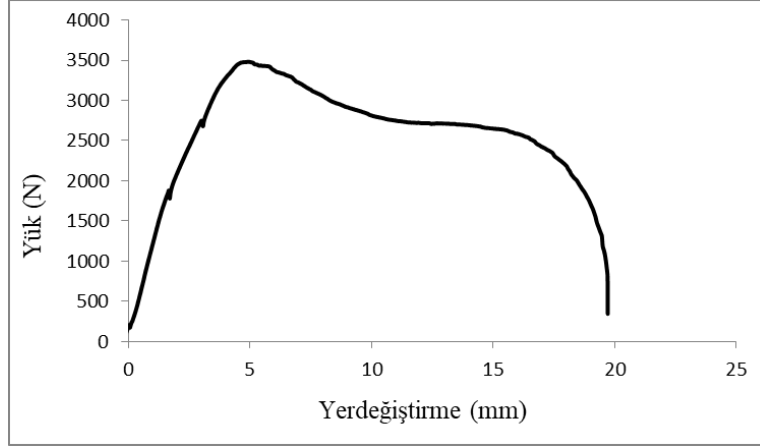
Şekil 43. İki zımbalı sarıçam örneklerine ait tipik yük yer değiştirme grafiği

### 3.5.2. İki Sıralı Dört Zımbalı Sarıçam Birleştirmeleri İçin Makaslama Testi

MTS üniversal test makinesinde dakikada 2,5 mm hızda gerçekleşen bu teste 10 adet 4 zımba ile birleştirilmiş sarıçam örneklerinin maksimum direnç değerleri ile ayrılma biçimleri ele alınmıştır. Buna göre örneklerin tamamı birleştirme yerinde zımbanın ana malzemeden çıkışı ve zımba tellerinin eğilmesi ile malzeme ve takozda ezikler oluşturma şeklinde ayrılma gerçekleşmiştir. Şekil 44 bu gruba ait ayrılma şeklini göstermektedir. Bu örnek gruplarına ait tipik yük-yer değiştirme grafiği ise Şekil 45'deki gibidir.



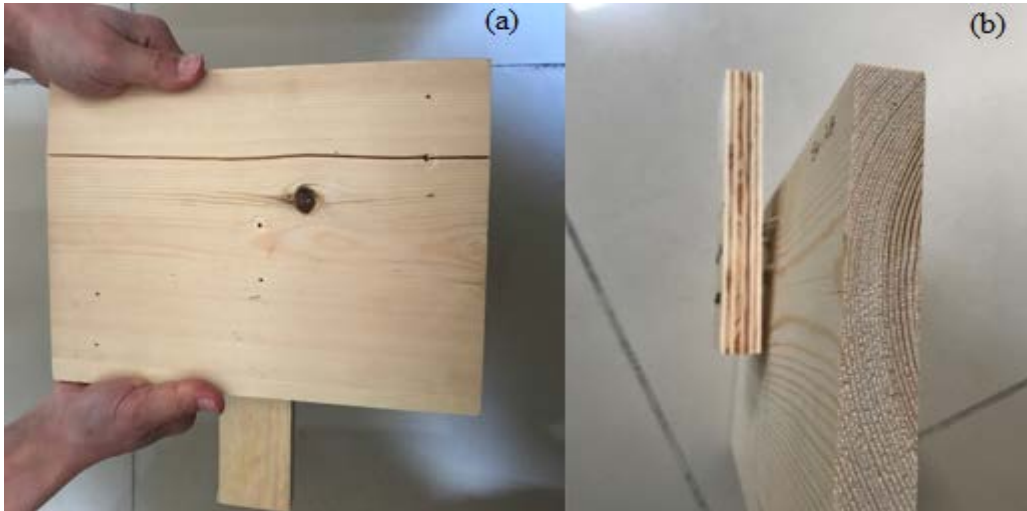
Şekil 44. Zımbanın ana malzemeden ayrılması



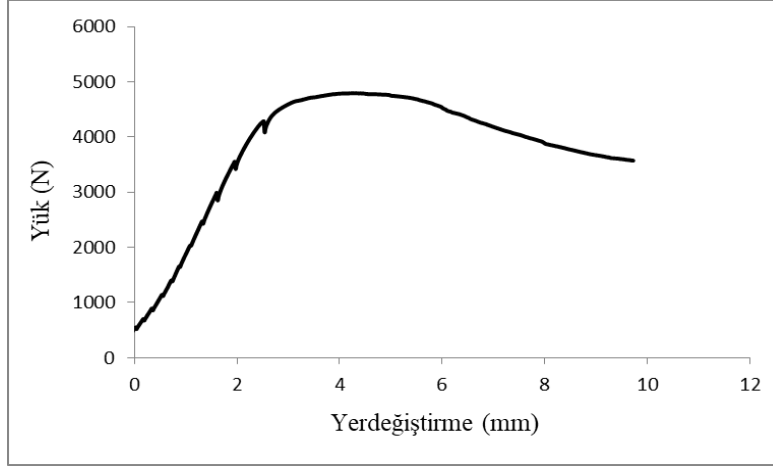
Şekil 45. Dört zımbalı sarıçam örneklerine ait tipik yük yer değiştirme grafiği

### 3.5.3. İki Sıralı Altı Zımbalı Sarıçam Birleştirmeleri İçin Makaslama Testi

6 zımba ile oluşturulan ve 10 tekrardan oluşan sarıçam birleştirme yerlerinin makaslama direnç değerleri MTS üniversal test makinesinde 2,5 mm/dk. hızda gerçekleştirilmiştir. Ayrılma biçimleri ise örnek numarası 1, 3, 5 ve 10 için ana malzemeden kırılma gerçekleşmiş olup geriye kalan örneklerde birleştirme yerinde zımbanın ana malzemeden çıkışı ve zımba tellerinin eğilmesi ile ana malzemede ve takozda ezikler gözlenmiştir. Şekil 46 bu gruba ait ayrılma şeklini göstermektedir. Bu örnek gruplarına ait tipik yük-yer değiştirme grafiği ise Şekil 47'deki gibidir.



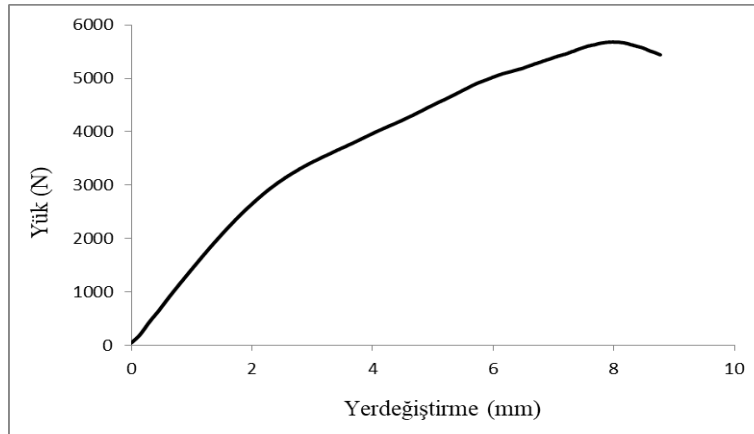
Şekil 46. Ana malzemeden kırılma (a), Zımbanın ana malzemeden ayrılması (b)



Şekil 47. Altı zımbalı sarıçam örneklerine ait tipik yük yer değiştirme grafiği

#### 3.5.4. İki Sıralı Sekiz Zımbalı Sarıçam Birleştirmeleri İçin Makaslama Testi

10 adet 8 zımba ile birleştirilmiş sarıçam örnekleri MTS Universal test cihazında dakikada 2,5 mm hızda test edilmiştir. Test sonucunda 10 adet örneğin tamamı zımbanın ana malzemeden çıkışı ve zımba tellerinin eğilme ile ana malzemede ve takozda ezikler oluşturma şeklinde sonuçlanmıştır. Bu örnek gruplarına ait tipik yük-yer değiştirme grafiği ise Şekil 48'deki gibidir.



Şekil 48. Sekiz zımbalı sarıçam örneklerine ait tipik yük yer değiştirme grafiği

Tablo 6 çift sıra zımba (2, 4, 6, 8) ile birleştirilmiş her bir sarıçam birleştirme yerlerinin maksimum yanal makaslama direnci değerlerini göstermektedir. Tablo ortalama

değerlerine bakıldığından zımba sayısının ikişerli artması da birleştirme yerlerinin ortalama maksimum yanal makaslama direnci değerlerinin artırmıştır.

Tablo 6. Tüm sarıçam maksimum direnç değerleri ve ortalama değerleri

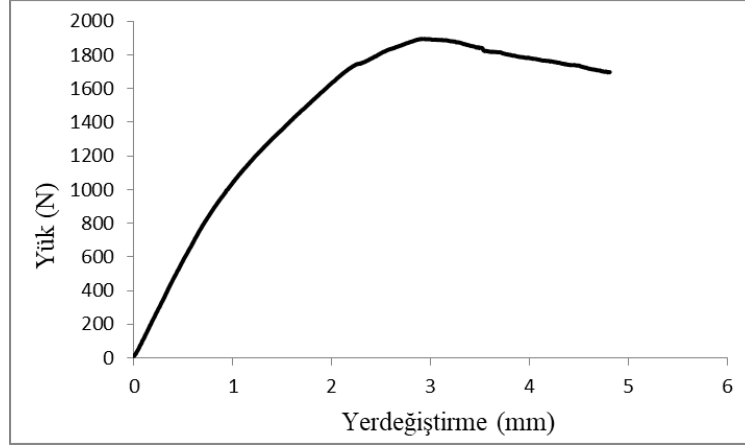
Örnek No	Sarıçam			
	Zımba sayısı			
	2	4	6	8
1	2097,610	3285,800	2451,114	5325,605
2	1580,190	2843,830	2445,260	5680,900
3	1493,750	2708,570	2753,350	5454,380
4	1576,270	2958,070	2843,660	6274,410
5	1384,730	3481,640	3453,220	4845,100
6	1403,460	3033,120	2966,500	4954,960
7	1389,943	3459,790	2971,900	5435,472
8	1419,712	2526,793	3524,730	5026,380
9	1353,241	3035,572	4793,790	4971,950
10	1382,260	3039,070	3134,410	5300,120
Ortalama	1508,116	3037,225	3133,724	5326,927

### 3.6. İki Sıra Zımbalı Kızılağaç Birleştirme Örnekleri

#### 3.6.1. İki Sıralı İki Zımbalı Kızılağaç Birleştirmeleri İçin Makaslama Testi

MTS üniversal test makinesinde dakikada 2,5 mm hızda gerçekleşen bu testte 10 adet kıızılağaç birleştirme örneği 2 zımba ile birleştirilmiş olup maksimum direnç değerleri ile ayrılma biçimleri ele alınmıştır. Buna göre test edilen örneklerin tamamı zımbanın ana malzemedan ayrılması ve zımba tellerinin eğilmesi ile ana malzemedan ve takozda ezikler oluşturma şeklinde sonuç vermiştir. Bu örnek gruplarına ait tipik yük-yer değiştirme grafiği ise Şekil 49' deki gibidir.

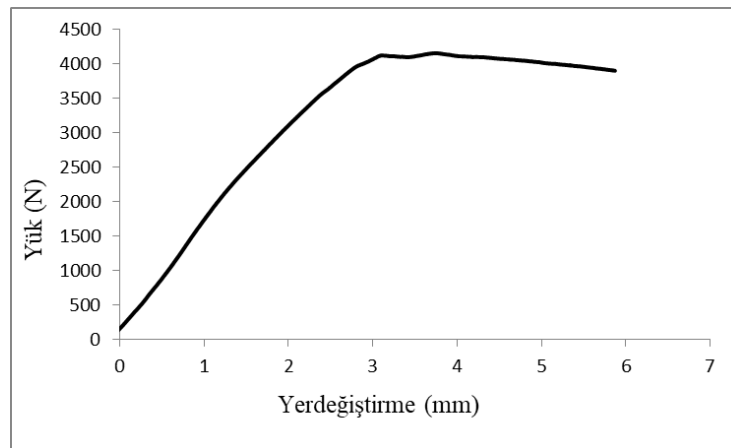




Şekil 49. İki zımbalı kızılağaç örneklerine ait tipik yük yer değiştirme grafiği

### 3.6.2. İki Sıralı Dört Zımbalı Kızılağaç Birleştirmeleri İçin Makaslama Testi

MTS üniversal test makinesinde dakikada 2,5 mm hızda gerçekleşen bu teste 10 adet kızılağaç birleştirme örneği zımba ile birleştirilmiş olup maksimum direnç değerleri ile ayrılma biçimleri ele alınmıştır. Test edilen örneklerin tamamı zımbanın ana malzemeden çıkışı ve zımba tellerinin eğilmesi ile ana malzemede ve takozda ezikler oluşturma şeklinde sonuç vermiştir. Bu örnek gruplarına ait tipik yük-yer değiştirme grafiği ise Şekil 50'deki gibidir.



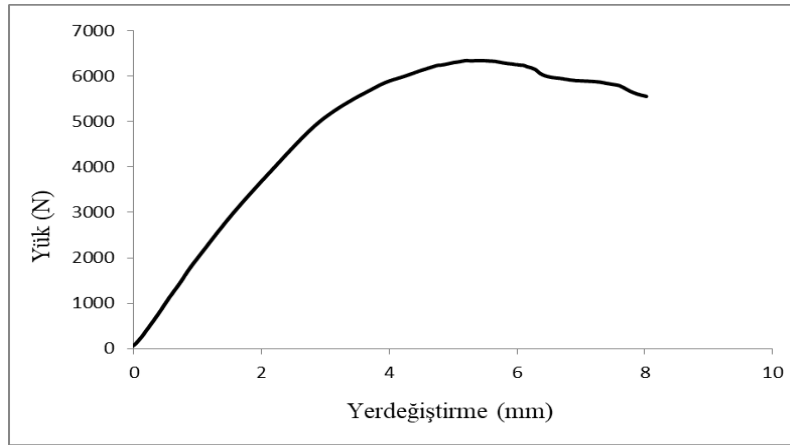
Şekil 50. Dört zımbalı kızılağaç örneklerine ait tipik yük yer değiştirme grafiği

### 3.6.3. İki Sıralı Altı Zımbalı Kızılağaç Birleştirmeleri İçin Makaslama Testi

Altı zımba ile birleştirilen 10 adet kızılğaç birleştirme örneği MTS Universal test cihazında dakikada 2,5 mm hızda gerçekleştirilmiştir. Zımba ile birleştirilmiş örneklerin maksimum direnç değerleri ve ayrılma biçimleri ele alınmıştır. Test sonucunda örneklerin tamamı zımba ve ana malzemenin ayrılması, zımba tellerinin eğilmesi, ana malzeme ve takozda ezikler oluşturma şeklinde sonuçlanmıştır. Şekil 51 bu gruba ait ayrılma şeklini göstermektedir. Bu örnek gruplarına ait tipik yük-yer değiştirme grafiği ise Şekil 52'deki gibidir.



Şekil 51. Takozda ezikler oluşma



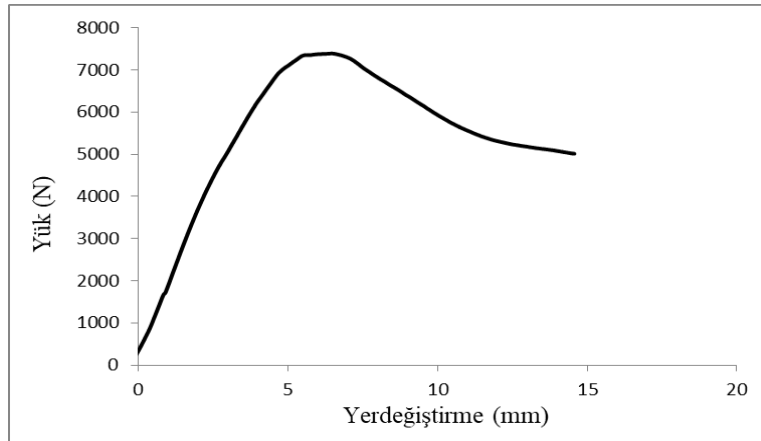
Şekil 52. Altı zımbalı kızılğaç örneklerine ait tipik yük yer değiştirme grafiği

### 3.6.4. İki Sıralı Sekiz Zımbalı Kızılağaç Birleştirmeleri İçin Makaslama Testi

MTS üniversal test makinesinde dakikada 2,5 mm hızda gerçekleşen bu teste 10 adet kızılâğaç birleştirme örneği 8 zımba ile birleştirilmiş olup maksimum direnç değerleri ile ayrılma biçimleri ele alınmıştır. Buna göre birleştirme yerlerinin neredeyse tamamı zımbanın ana malzemedan çıkışı ve zımba tellerinin eğilmesi ile ana malzemede ve takozda ezikler oluşturma şeklinde ayrılmış olup sadece 8 numaralı örnekte takoz malzemesinin tabakaları arasında makaslama görülmüştür. Şekil 53 bu gruba ait ayrılma biçimlerini göstermektedir. Bu örnek gruplarına ait tipik yük-yer değıştirme grafiđi ise Şekil 54'deki gibidir.



Şekil 53. Takoz tabakaları arasında makaslama



Şekil 54. Sekiz zımbalı kızılâğaç örneklerine ait tipik yük yer değıştirme grafiđi

Tablo 7 çift sıra zımba (2, 4, 6, 8) ile birleştirilmiş her bir kızılağaç birleştirme yerlerinin maksimum yanıl makaslama direnci değerlerini göstermektedir. Tablodaki ortalama değerlerine bakıldığında zımba sayısının ikişerli artması da birleştirme yerlerinin ortalama maksimum yanıl makaslama direnci değerlerinin artırmıştır.

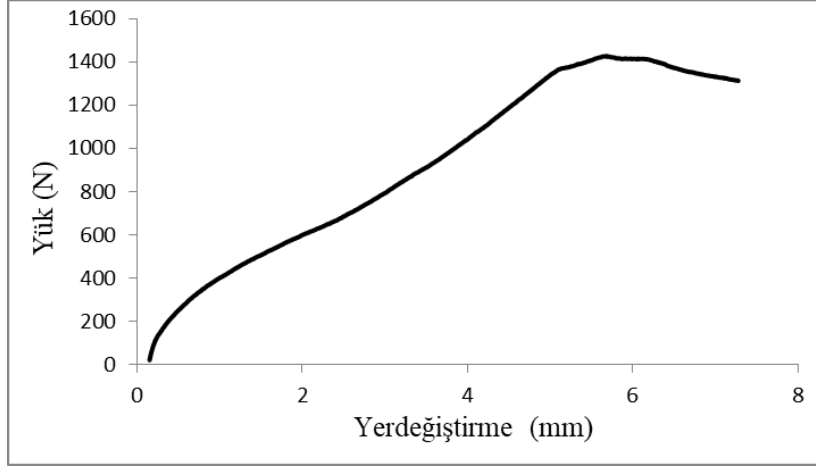
Tablo 7. Tüm kızılağaç örnekleri maksimum direnç değerleri ve ortalama değerler

Örnek No	Kızılağaç			
	Zımba sayısı			
	2	4	6	8
1	2167,771	4722,573	5738,125	9209,300
2	1823,044	4155,717	6041,328	7596,290
3	1810,992	4406,084	6709,209	8574,900
4	1895,979	3868,367	6121,671	8225,400
5	1968,992	3943,506	5996,671	8179,220
6	1562,564	3725,644	6344,691	7112,230
7	1921,341	3741,731	6651,506	7386,640
8	1666,352	3901,774	6769,890	5371,940
9	1787,962	3388,255	6935,103	9152,480
10	1897,760	3949,045	6250,823	9190,800
Ortalama	1850,276	3980,270	6355,902	7999,920

### 3.7. İki Sıra Zımbalı Kayın Birleştirme Örnekleri

#### 3.7.1. İki Sıralı İki Zımbalı Kayın Birleştirmeleri İçin Makaslama Testi

MTS Universal test makinesinde dakikada 2,5 mm hızda gerçekleşmiş olan testte 10 adet 2 zımba ile birleştirilmiş kayın örneklerinin maksimum direnç değerleri ile ayrılma biçimleri ele alınmıştır. Test sonucunda örneklerin tamamında zımbanın ana malzemedden çıkışı ve zımba tellerinin eğilmesi ile ana malzemedde ve takozda ezikler oluşturma şeklinde ayrılma durumu gözlenmiştir. Bu örnek gruplarına ait tipik yük-yer değiştirme grafiği ise Şekil 55' deki gibidir.



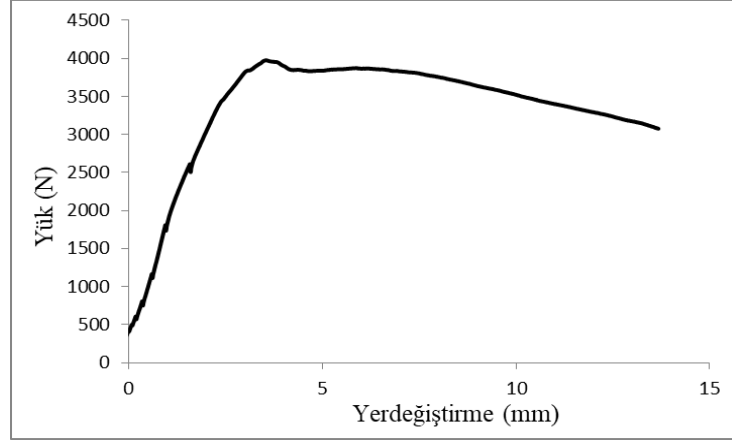
Şekil 55. İki zımbalı kayın örneklerine ait tipik yük yer değiştirme grafiği

### 3.7.2. İki Sıralı Dört Zımbalı Kayın Birleştirmeleri İçin Makaslama Testi

MTS Universal test makinesinde dakikada 2,5 mm hızda gerçekleşen bu testte 10 adet 4 zımba ile birleştirilmiş kayın örneklerinin maksimum direnç değerleri ile ayrılma biçimleri ele alınmıştır. Buna göre örneklerin neredeyse tamamı zımbanın ana malzemedan çıkışı ve zımba tellerinin eğilmesi ile ana malzemede ve takozda ezikler oluşturma şeklinde ayrılma gözlenmişken yalnızca 4 numaralı örnek ana malzemedan kırılmıştır. Şekil 56 bu gruba ait ayrılma biçimlerini göstermektedir. Bu örnek gruplarına ait tipik yük-yer değiştirme grafiği ise Şekil 57' deki gibidir.



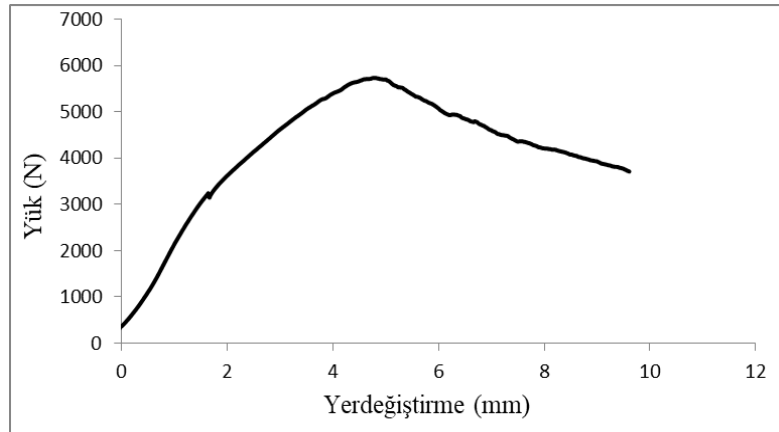
Şekil 56. Ana malzemedan kırılma



Şekil 57. Dört zımbalı kayın örneklerine ait tipik yük yer değiştirme grafiği

### 3.7.3. İki Sıralı Altı Zımbalı Kayın Birleştirmeleri İçin Makaslama Testi

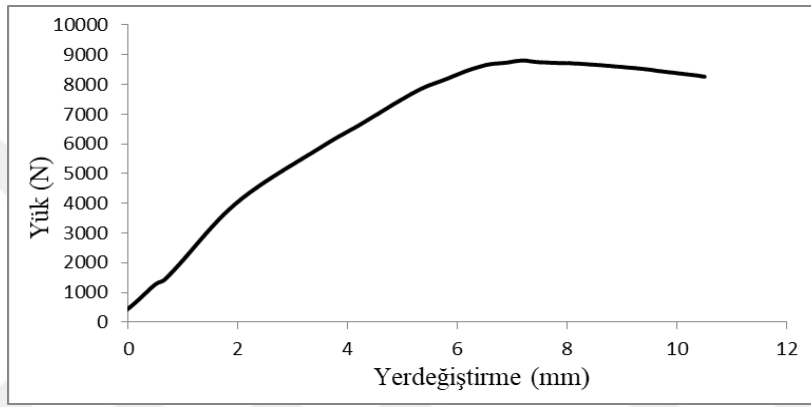
MTS üniversal test makinesinde dakikada 2,5 mm hızda gerçekleşen bu teste 10 adet kayın birleştirme örneği 4 zımba ile birleştirilmiş olup maksimum direnç değerleri ile ayrılma biçimleri ele alınmıştır. Buna göre birleştirme yerlerinin neredeyse tamamı zımbanın ana malzemedan çıkışı ve zımba tellerinin eğilmesi ile ana malzemedde ve takozda ezikler oluşturma şeklinde ayrılma gözlenmişken yalnızca 8 numaralı örnekte takozu oluşturan tabakalar arasında makaslama oluşmuştur. Bu örnek gruplarına ait tipik yük-yer değiştirme grafiği ise Şekil 58' deki gibidir.



Şekil 58. Altı zımbalı kayın örneklerine ait tipik yük yer değiştirme grafiği

### 3.7.4. İki Sıralı Sekiz Zımbalı Kayın Birleştirmeleri İçin Makaslama Testi

MTS Universal test cihazında dakikada 2,5 mm hızda gerçekleşmiş olup örneklerin maksimum direnç değerleri ile ayrılma biçimleri ele alınmıştır. Test edilen örnek sayısı 10'dur. Test sonucunda ise 10 örneğin tamamında zımbanın ana malzemeden çıkışı ve zımba tellerinin eğilmesi ile ana malzemede ve takozda ezikler oluşturma şeklinde ayrılma gerçekleşmiştir. Bu örnek gruplarına ait tipik yük-yer değiştirme grafiği ise Şekil 59' daki gibidir.



Şekil 59. Sekiz zımbalı kayın örneklerine ait tipik yük yer değiştirme grafiği

Tablo 8 çift sıra zımba (2, 4, 6, 8) ile birleştirilmiş her bir kayın birleştirme yerlerinin maksimum yanal makaslama direnç değerlerini göstermektedir. Tablodaki ortalama değerlerine bakıldığında zımba sayısının ikişerli artması birleştirme yerlerinin ortalama maksimum yanal makaslama direnci değerlerinin artırmıştır.

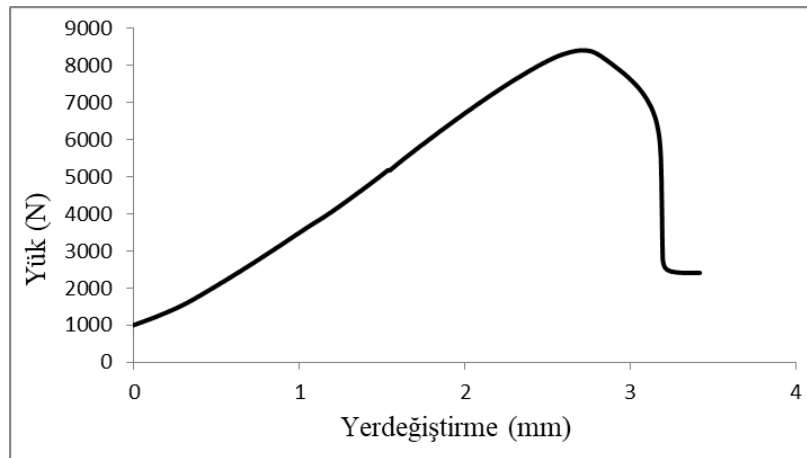
Tablo 8. Tüm kayın maksimum direnç değerleri ve ortalama değerleri

Örnek No	Kayın			
	Zımba sayısı			
	2	4	6	8
1	1430,855	3975,64	5734,858	7579,366
2	1639,134	3948,84	5427,265	9083,582
3	1506,938	4556,09	6933,513	8807,932
4	1567,227	3858,83	3228,791	9264,737
5	1554,155	4290,70	6014,630	8556,288
6	1696,512	4908,56	6342,098	9210,953
7	1507,060	4230,31	6218,072	9543,027
8	1758,637	4990,90	4257,348	8741,773
9	1631,303	3332,09	3747,807	8773,189
10	1426,710	4136,84	5776,240	8782,200
Ortalama	1571,853	4222,84	5368,062	8834,318

### 3.8. İki Sıra Zımba ve Tutkallı Kızılağaç Birleştirme Örnekleri

#### 3.8.1. İki Zımbalı ve Tutkallı Kızılağaç Birleştirmeleri İçin Makaslama Testi

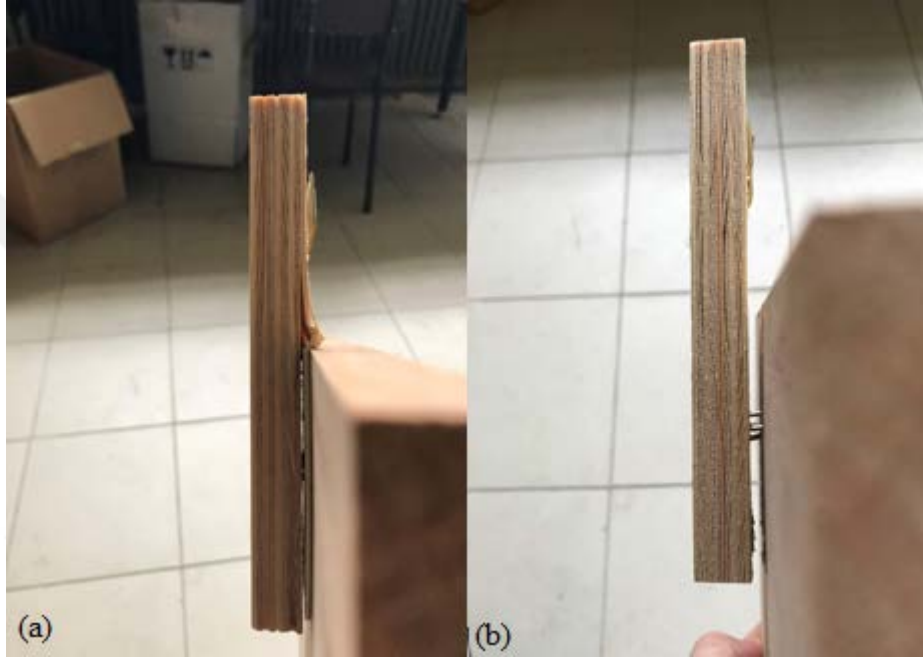
Bu test MTS Üniversal Test makinesinde dakikada 2,5 mm hızda makaslama yüklemesi yapılarak gerçekleştirilmiştir. Bu grup için 10 tekrar yapılmış olup örneklerin maksimum direnç değerleri ve kırılma biçimleri rapor edilmiştir. Bu örnek gruplarına ait tipik yük-yer değiştirme grafiği Şekil 60'daki gibidir.



Şekil 60. İki zımbalı tutkallı kızılğaç örneklerine ait tipik yük yer değiştirme grafiği



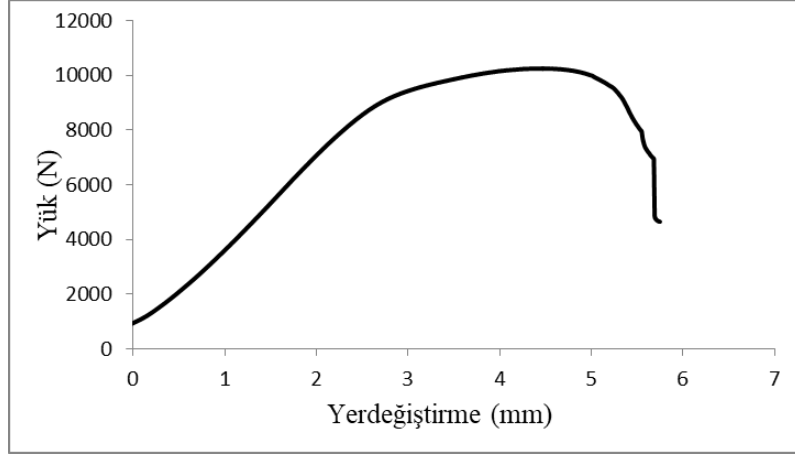
Buna göre 1, 3, 4, 7, 8, 10 nolu test örneklerinde tabakalı ağaç malzeme olan takoz malzemesinin katmanları arasında makaslama gözlemlenmiş olup zayıflık bu noktalarda görülmüştür ve birleştirme yerinde kopma olmamıştır. Diğer taraftan 2, 5, 6 ve 9 numaralı örneklerde birleştirme yerinden kopmalar görülmüştür. Şekil 61 ayrılma biçimlerini göstermektedir. Her iki kırılma biçiminden çıkan maksimum direnç değerleri birbirine yakın değerlerdir.



Şekil 61. Tabakalar arası makaslama (a), Birleştirme yerinden kopma (b)

### 3.8.2. Dört Zımbalı Tutkallı Kızılağaç Birleştirmeleri İçin Makaslama Testi

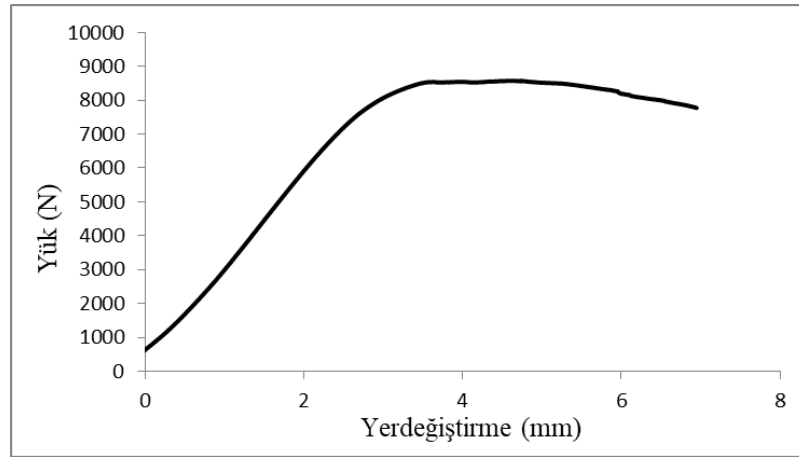
Bu test MTS Üniversal Test makinesinde dakikada 2,5 mm hızda makaslama yüklemesi yapılarak gerçekleştirilmiştir. Bu grup için 10 tekrar yapılmış olup örneklerin maksimum direnç değerleri ve kırılma biçimleri rapor edilmiştir. Buna göre 1, 2, 4, 6, 8 numaralı test örneklerinde tabakalı ağaç malzeme olan takoz malzemesinin katmanları arasında makaslama gözlemlenmiş olup zayıflık bu noktalarda görülmüştür ve birleştirme yerinde kopma olmamıştır. Diğer taraftan 3, 5, 7 numaralı örneklerde birleştirme yerinden kopma gerçekleşmiştir. Son olarak 9 ve 10 numaralı örneklerde ise ana malzemede kırılma gözlemlenmiştir. Bu örnek gruplarına ait tipik yük-yer değişirme grafiği Şekil 62' deki gibidir.



Şekil 62. Dört zımbalı tutkallı kızılağaç örneklerine ait tipik yük yer değiştirme grafiği

### 3.8.3. Altı Zımbalı Tutkallı Kızılağaç Birleştirmeleri İçin Makaslama Testi

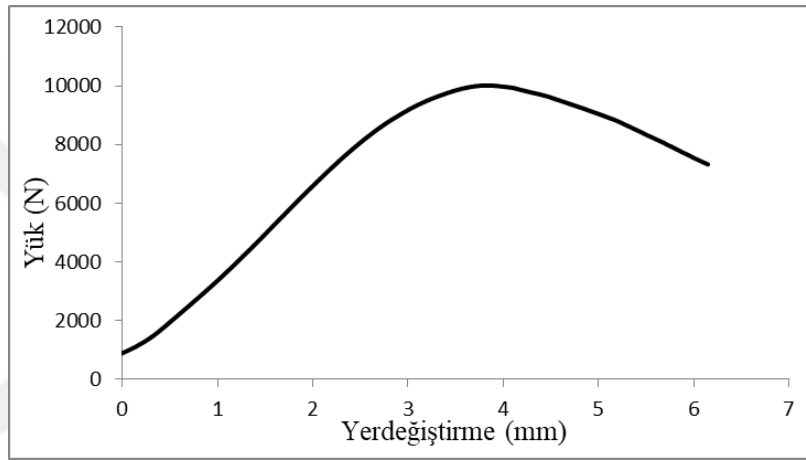
Altı zımbalı ve tutkallı kızılağaç birleştirme yerleri her birinden 10 tekrar olacak şekilde MTS Universal test makinesinde 2,5 mm/dk. hızda test edilmiştir. Test sonucunda 1, 4 numaralı örneklerde zımbanın ana malzemeden çıkışı ve zımba tellerinin eğilmesi ile ana malzemede ve takozda ezikler oluşturma şeklinde ayrılma görülmüştür. 2, 3, 6, 7, 8, 10 numaralı örneklerde ise takoz malzemesinin kırılması ve belden bükülmesi gözlenmiştir. Son olarak 5 ve 9 numaralı örneklerde ise ana malzemeden kırılma gözlenmiştir. Bu örnek gruplarına ait tipik yük-yer değiştirme grafiği Şekil 63' deki gibidir.



Şekil 63. Altı zımbalı tutkallı kızılağaç örneklerine ait tipik yük yer değiştirme grafiği

### 3.8.4. Sekiz Zımbalı Tutkallı Kızılağaç Birleştirmeleri İçin Makaslama Testi

MTS Universal test makinesinde dakikada 2,5 mm hızda gerçekleşen bu testte 10 adet 8 zımba ve tutkal ile birleştirilmiş kızılağaç örneklerinin maksimum direnç değerleri ile ayrılma biçimleri ele alınmıştır. Buna göre 1, 3, 4, 7, 8, 9, 10 numaralı örneklerde takoz kırılması gözlenmiş olup 2,5 ve 6 numaralı örneklerde ana malzemedan kırılma gözlenmiştir. Bu örnek gruplarına ait tipik yük-yer değiştirme grafiği ise Şekil 64' deki gibidir.



Şekil 64. Sekiz zımbalı tutkallı kızılağaç örneklerine ait tipik yük yer değiştirme grafiği

Tablo 9 bütün tutkallı zımbalı ilk test edilen kızılağaç örneklerine ait maksimum direnç değerlerini ve ortalama değerleri göstermektedir.

Tablo 9. Tüm kızılağaç örnekleri maksimum direnç değerleri ve ortalama değerleri

Tutkallı Zımbalı Kızılağaç Örnekleri (Kontrplak Takoz)				
Örnek No	Zimba Sayısı			
	2	4	6	8
1	9337,750	10190,90	9654,940	9660,36
2	3861,223	9386,590	10592,70	9522,77
3	8115,512	8304,710	9134,690	9650,93
4	7647,840	10243,50	7744,400	10140,4
5	10373,70	11175,70	11162,10	9367,00
6	6991,430	8333,760	9679,940	9739,60
7	8689,412	9074,800	9669,260	8478,41
8	5995,760	8299,600	10818,40	7422,86
9	9226,960	11607,00	11047,80	10013,6
10	6693,640	10121,50	8573,340	8850,73
Ortalama	8323,317	9673,800	9807,730	9284,67

Test edilen bu grup örneklerinde Tablo 9'daki sonuçlara bakıldığında, ortalama değerlerin birbirine yakın olduğu ve zimba sayısının artmasının biraz etki ettiği görülmüştür. Bir birleştirme yerlerinin gerçek performansını görmek için test edilen örnekler test sonucu birleştirme yerinde ayrılması beklenerek gerçek performansı tespit edilir. Ancak bu gruptaki örneklerin çoğu, takoz malzemesinden kırılarak test sonlanmış ve daha yüksek olması beklenen değerler daha düşük çıkmıştır. Diğer bir ifade ile tabakalı ağaç malzemedен üretilen takozlar yükleme esnasında birleştirme yerinin gerçek değerini gösterecek kadar dayanıklı olmayıp test esnasında belden bükülme ya da tabakalar arası makaslama sonucu ayrılmalar oluşmuş ve test beklenen maksimum değere ulaşmadan daha düşük bir maksimum değerde kalmıştır. Bu da birleştirme yerinin gerçek performans değerini görmeye engel olmuştur. Bu sebeple daha güçlü bir takoz malzemesi kullanılarak testler tekrar edilmiştir.

Kızılağaç tutkallı ve 2, 4, 6, 8 zımbalı örnekler en güçlü malzeme olan kayın takoz kullanılıp yeniden hazırlanıp test edilmiştir. Ayrıca diğer kayın ve sarıçam birleştirme yerleri de kayın takoz kullanarak tutkal ve zimba yardımıyla birleştirilmiş ve test edilmiştir.

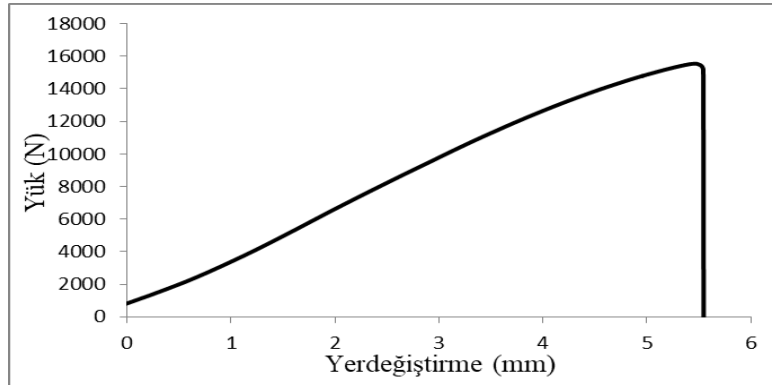
### 3.9. Tutkallı Zımbalı Kızılağaç Birleştirme Örnekleri (Kayın Takozlu Birleştirme Yerleri)

#### 3.9.1. İki Zımbalı Tutkallı Kızılağaç Birleştirmeleri İçin Makaslama Testi

MTS üniversal test cihazında dakikada 2,5 mm hızda gerçekleşen testte 10 adet 2 zımba ve tutkal ile birleştirilmiş kızılağaç örneklerinin maksimum direnç değerleri ile kırılma biçimleri incelenmiştir. Test sonucunda örneklerin tamamında zımbanın ana malzemedan bazı lif parçacıklarının takoza yapışık olarak kopması ve bununla birlikte zımba tellerinin eğilmesi ile ana malzemede ve takozda ezikler oluşturma şeklinde ayrılma gözlenmiş olup Şekil 65’de gösterilmiştir. Ayrıca, test edilen örnek gruplarına ait tipik yük-yer değiştirme grafiği Şekil 66’daki gibidir.



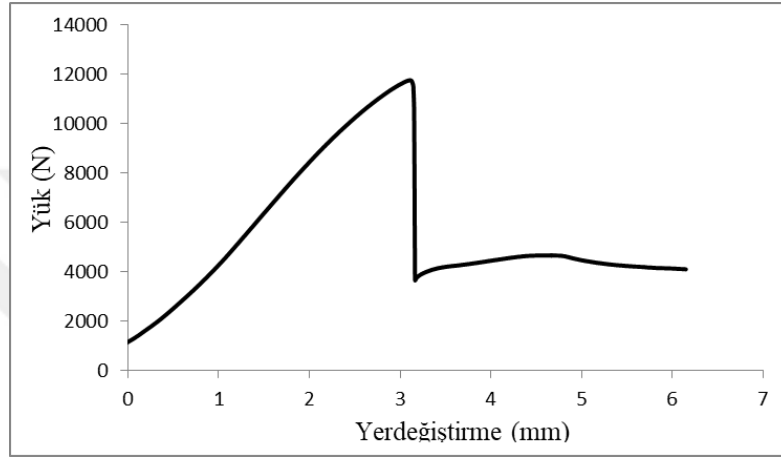
Şekil 65. Zımbanın ana malzemedan ayrılması



Şekil 66. İki zımbalı tutkallı kızılağaç örneklerine ait tipik yük yer değiştirme grafiği

### 3.9.2. Dört Zımbalı Tutkallı Kızılağaç Birleştirmeleri İçin Makaslama Testi

MTS üniversal test cihazında dakikada 2,5 mm hızda gerçekleşen bu teste 10 adet tutkallı ve 4 zımba ile birleştirilmiş kıızılağaç örneklerinin maksimum direnç değerleri ile kırılma biçimleri incelenmiştir. Bu örnek gruplarına ait tipik yük-yer değiştirme grafiği Şekil 67' deki gibidir.



Şekil 67. Dört zımbalı tutkallı kıızılağaç örneklerine ait tipik yük yer değiştirme grafiği

Buna göre örneklerin neredeyse tamamı birleştirme yerinden ayrılma ve ana malzemeden kopan liflerin takoza yapışık halde kalması ve zımba tellerinin eğilmesi ile ana malzemede ve takozda ezikler oluşturma şeklinde ayrılma gerçekleşmiştir. Fakat 10 numaralı örnekte ana malzemede kırılma ile takoz malzemesinde kırılma ve belden bükülme görülmüştür.

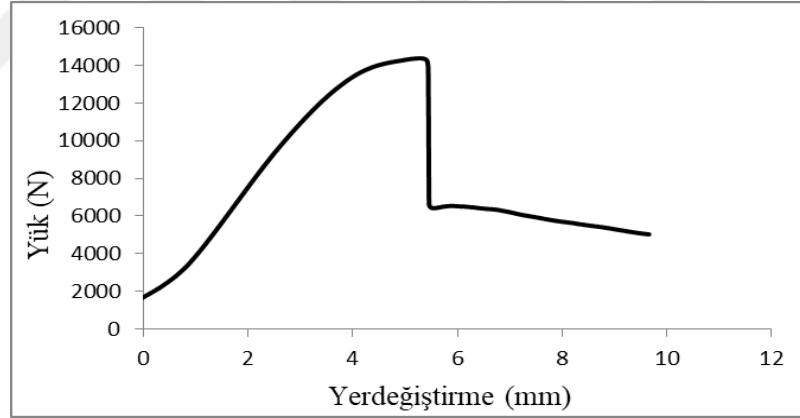
### 3.9.3. Altı Zımbalı Tutkallı Kızılağaç Birleştirmeleri İçin Makaslama Testi

MTS üniversal test makinesinde direnç değerleri ölçülen 6 zımbalı tutkallı 10 tekrar olacak şekilde test edilen her bir birleştirme yerinin maksimum direnç değerleri ve ayrılma biçimleri gözlemlenmiştir. Test sonucunda örneklerin tamamında birleştirme yerinden ayrılma ve ana malzemeden kopan liflerin takoza yapışık halde kaldığı, zımba tellerinde eğilme görülmüş olup ana malzemede ve takozda ezikler oluşmuştur. Şekil 68 zımbalı ve

tutkallı birleştirme örneklerinde meydana gelen ayrılma biçimini göstermektedir. Bu örnek gruplarına ait tipik yük-yer değiştirme grafiği Şekil 69'daki gibidir.



Şekil 68. Zımbanın ana malzemeden çıkışı ve zımba tellerinin eğilmesi

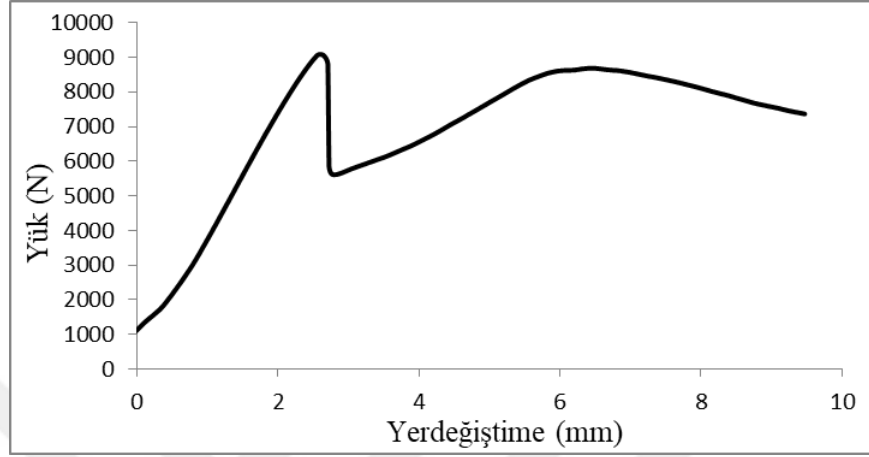


Şekil 69. Altı zımbalı tutkallı kızılâğaç örneklerine ait tipik yük yer değiştirme grafiği

#### 3.9.4. Sekiz Zımbalı Tutkallı Kızılâğaç Birleştirmeleri İçin Makaslama Testi

Sekiz zımbalı ve tutkallı kızılâğaç birleştirme yerleri her birinden 10 tekrar olacak şekilde MTS Üniversal test makinesinde 2,5 mm/dk. hızda test edilmiştir. Bu örnek gruplarına ait tipik yük-yer değiştirme grafiği Şekil 70' deki gibidir. Şekilde görüldüğü gibi test esnasında daha önceki eğrilerden farklı olarak burada iki tepecik oluşmuştur. Bu tepeciklerden ilki tutkal hattına aitken ikincisi zımba sayesinde oluşan direnci göstermiştir.

Demirel vd. (2018) 6 ve 8 çift sıra zımbalı OSB birleştirme yerlerinin testi esnasında elde ettiği grafiklerde de iki tepecik gözlemlemiştir. İlk tepecik tutkal tarafından oluşturulan direnci gösterirken ikinci tepecik ise zımba tarafından oluşturulan direnci göstermiştir.



Şekil 70. Sekiz zımbalı tutkallı kızılağaç örneklerine ait tipik yük yer değiştirme grafiği

Test sonucunda örneklerin tamamı birleştirme yerinden ayrılması ile zımbanın ana malzemeden çıkışı ve zımba tellerinin eğilmesi ile ana malzemedeki ve takozda ezikler oluşmuştur ayrıca ana malzemeden kopan liflerin takozda yapışık halde kaldığı gözlenmiştir.



Şekil 71. Zımbanın ana malzemeden çıkışı ve zımba tellerinin eğilmesi



Tablo 10 bütün tutkallı zımbalı kızılağaç örneklerine ait maksimum direnç değerlerini ve ortalama değerleri göstermektedir.

Tablo 10. Tüm kızılağaç maksimum direnç değerleri ve ortalama değerleri

Tutkallı Zımbalı (Yeniden) Kızılağaç Örnekleri				
Örnek No	Zimba sayısı			
	2	4	6	8
1	11243,07	15142,61	12174,42	14164,64
2	15546,21	11208,25	8823,012	10387,68
3	14056,48	12468,20	12458,24	14060,13
4	13877,41	12828,47	11435,77	13214,81
5	20869,72	7297,980	11360,57	9093,350
6	16583,35	11766,28	14317,08	11439,03
7	12138,16	14956,38	14381,66	15154,33
8	9040,970	12087,06	13556,41	14155,77
9	14916,27	15084,02	12246,45	12315,14
10	15341,84	13414,12	12161,41	13115,60
Ortalama	14361,35	12625,34	12291,50	12710,05

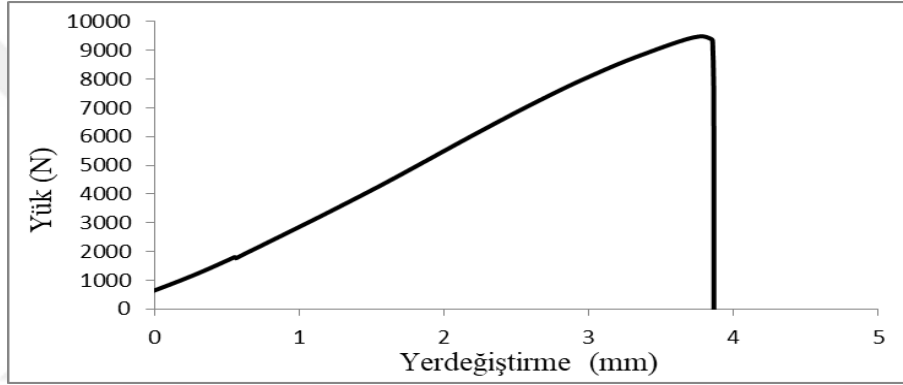
### 3.10. Tutkallı ve Zımbalı Sarıçam Birleştirmeler

#### 3.10.1. İki Zımbalı Tutkallı Sarıçam Birleştirmeleri İçin Makaslama Testi

MTS üniversal test makinesinde dakikada 2,5 mm hızda gerçekleşen bu testte 2 zimba ve tutkal ile birleştirilmiş 10 adet sarıçam örneklerinin maksimum direnç değerleri ile ayrılma biçimleri ele alınmıştır. Buna göre yapılan test sonucunda örneklerin tamamında birleştirme yerinden ayrılma gerçekleşmiştir. Zımbanın ana malzemedden çıkışı ile zimba tellerinin eğildiği, ana malzemede ve takozda ezikler olduğu, ayrıca ana malzemedden kopan liflerin takoza yapışık halde kaldığı gözlenmiştir. Şekil 72 bu gruba ait ayrılma şeklini göstermektedir. Bu örnek gruplarına ait tipik yük-yer değiştirme grafiği Şekil 73’de gösterildiği gibidir.



Şekil 72. Zımbanın ana malzemedan çıkışı ve zımba tellerinin eğilmesi



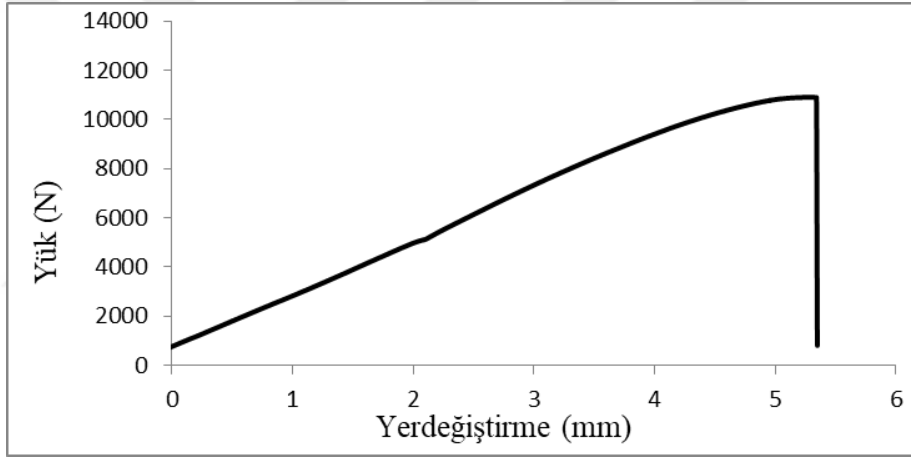
Şekil 73. İki zımbalı tutkallı sarıçam örneklerine ait tipik yük yer değiştirme grafiği

### 3.10.2. Dört Zımbalı Tutkallı Sarıçam Birleştirmeleri İçin Makaslama Testi

MTS üniversal test makinesinde dakikada 2,5 mm hızda gerçekleşen bu teste 4 zımba ve tutkal yardımı ile birleştirilmiş 10 adet sarıçam örneklerinin maksimum direnç değerleri ile ayrılma biçimleri ele alınmıştır. Buna göre örneklerin tamamı zımbanın ana malzemedan çıkışı ve zımba tellerinin eğilmesi ile ana malzemede ve takozda ezikler oluşturma şeklinde ayrılma biçimi gözlenmiştir. Bu gruba ait ayrılma biçimi de Şekil 74' de gösterilmektedir. Ayrıca ana malzemedan kopan lifler takozda yapışık halde kalmıştır. Bu örnek gruplarına ait tipik yük-yer değiştirme grafiği Şekil 75'deki gibidir.



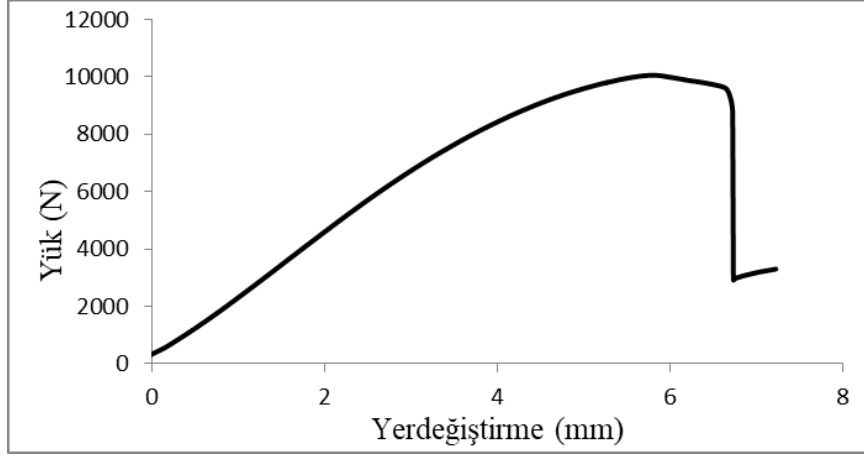
Şekil 74. Birleştirme yerinden ayrılma



Şekil 75. Dört zımbalı tutkallı sarıçam örneklerine ait tipik yük yer değiştirme grafiği

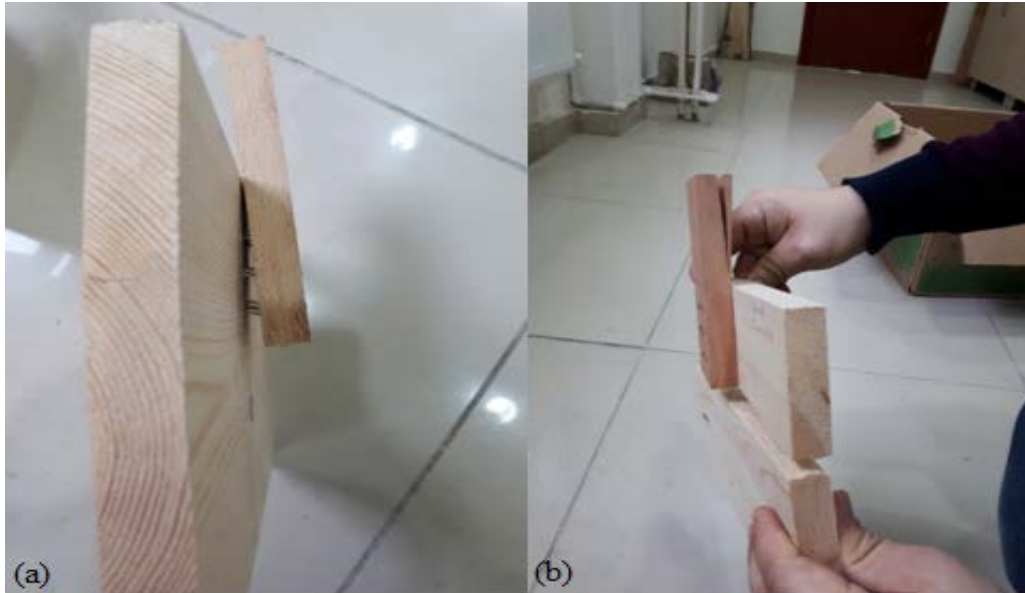
### 3.10.3. Altı Zımbalı Tutkallı Sarıçam Birleştirmeleri İçin Makaslama Testi

MTS üniversal test makinesinde dakikada 2,5 mm hızda gerçekleşen bu teste 6 zımba ve tutkal yardımı ile birleştirilmiş 10 adet sarıçam örneklerinin maksimum direnç değerleri ile ayrılma biçimleri ele alınmıştır. Bu örnek gruplarına ait tipik yük-yer değiştirme grafiği Şekil 76'daki gibidir.



Şekil 76. Altı zımbalı tutkallı sarıçam örneklerine ait tipik yük yer değiştirme grafiği

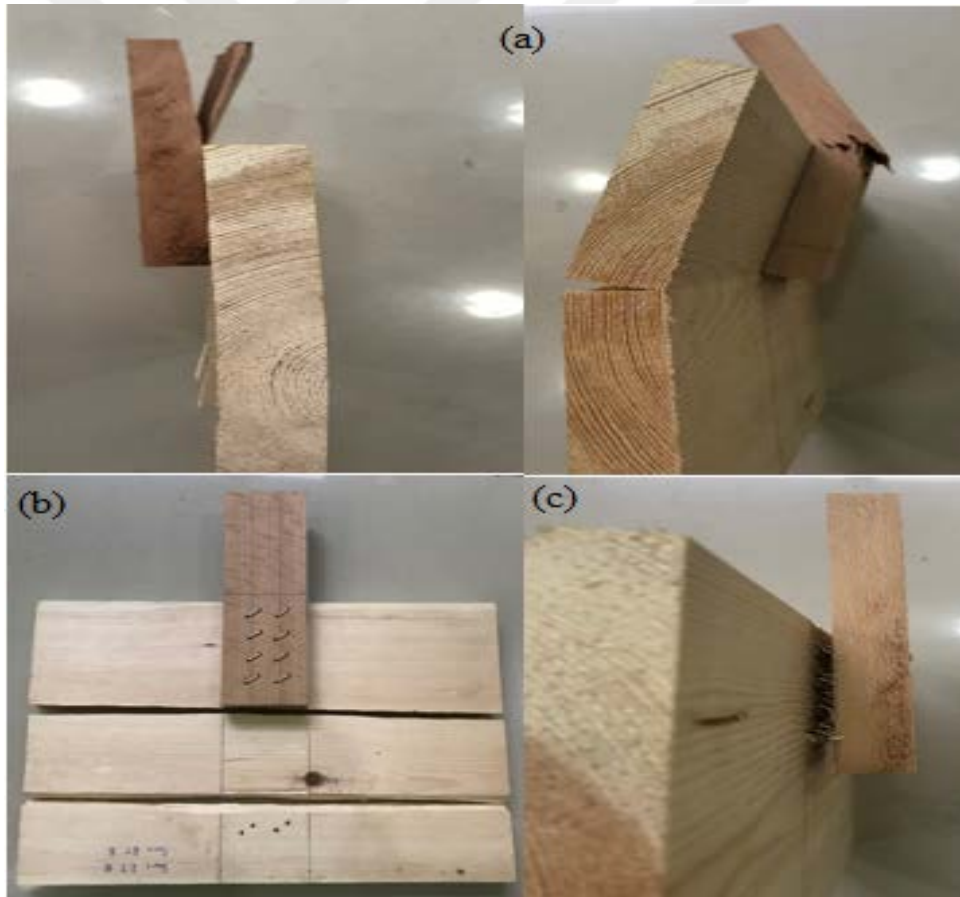
Yapılan test sonucunda örneklerin neredeyse tamamı birleştirme yerinde tutkalın ve zımbanın ana malzemeden çıkışı, zımba tellerinin eğilmesi ile ana malzemede ve takozda ezikler oluşturma şeklinde ayrılma biçimi göstermiştir. Ayrıca ana malzemeden kopan lifler takozla yapışık halde kalmıştır. Bu örnek grubunda yalnızca 5 numaralı örnek takoz malzemesi ve ana malzemeden kırılmıştır. Şekil 77 bu gruba ait ayrılma şeklini göstermektedir.



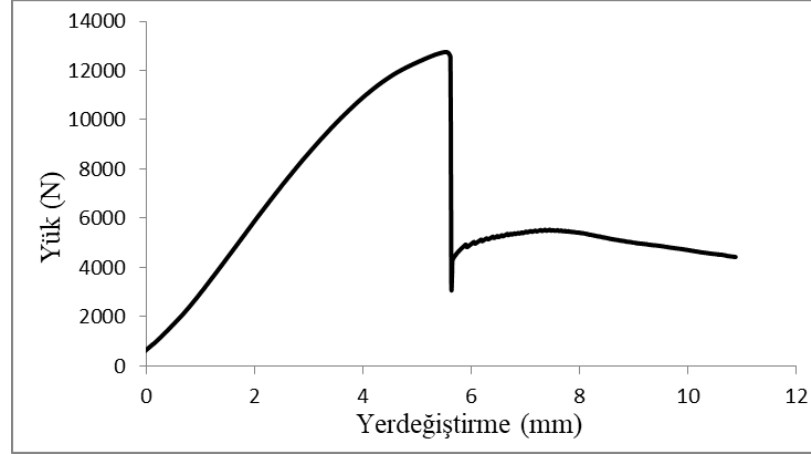
Şekil 77. Zımbanın ana malzemeden ayrılması ve zımba tellerinin eğilmesi (a), Ana malzeme ve takozda kırılma (b)

### 3.10.4. Sekiz Zımbalı Tutkallı Sarıçam Birleřtirmeleri İin Makaslama Testi

Sekiz zımbalı ve tutkallı sarıam birleřtirme yerleri her birinden 10 tekrar olacak řekilde MTS Universal test makinasında 2,5 mm/dk. hızda test edilmiřtir. Test sonucu 9 numaralı rnekte takoz malzemesi kırılmıřtır. 3 ve 4 numaralı rneklerde hem takoz malzemesi kırılmıř hem de ana malzemede kırılma gerekleřmiřtir. 8 numaralı rnek ise sadece ana malzemededen kırılmıřtır. Diđer rneklerin ayrılma biimi ise zımbanın ana malzemededen ıkıřı ve zımba tellerinin eđilmesi ile ana malzemede ve takozda ezikler oluřturma řeklindedir. Ayrıca ana malzemededen kopan lifler takozu yapıřık halde kalmıřtır. řekil 78’de ayrılma biimleri gsterilmiřtir. Bu rnek gruplarına ait tipik yk-yer deđiřtirme grafiđi řekil 79’daki gibidir.



řekil 78. Hem takozun belden bklmesi hem de ana malzemededen kırılma (a), Sadece ana malzemededen kırılma (b), Birleřtirme yerinden tutkalın kopması ve zımbanın ıkması (c)



Şekil 79. Sekiz zımbalı tutkallı sarıçam örneklerine ait tipik yük yer değiştirme grafiği

Tablo 11 bütün tutkallı zımbalı sarıçam örneklerine ait maksimum direnç değerlerini ve ortalama değerleri göstermektedir. Tablodan görüldüğü üzere zımba sayısının artması ortalama direnç değerlerini artırmıştır.

Tablo 11. Tüm sarıçam maksimum direnç değerleri ve ortalama değerleri

Tutkallı Zımbalı Sarıçam örnekleri				
Örnek No	Zımba sayısı			
	2	4	6	8
1	9060,188	8330,197	10063,15	11544,6
2	8781,671	10462,59	11846,31	11078,2
3	13089,64	11512,37	13437,97	13034,7
4	9301,089	10908,93	10204,38	13292,8
5	7064,322	10684,03	12404,18	12581,6
6	9202,053	10378,94	12054,05	12751,5
7	9493,347	11767,13	10902,38	14188,5
8	10867,37	10587,30	11911,64	11779,3
9	8538,880	11715,10	12134,92	10336,3
10	8890,016	11832,05	11466,81	12825,1
Ortalama	9428,857	10817,86	11642,52	12341,3

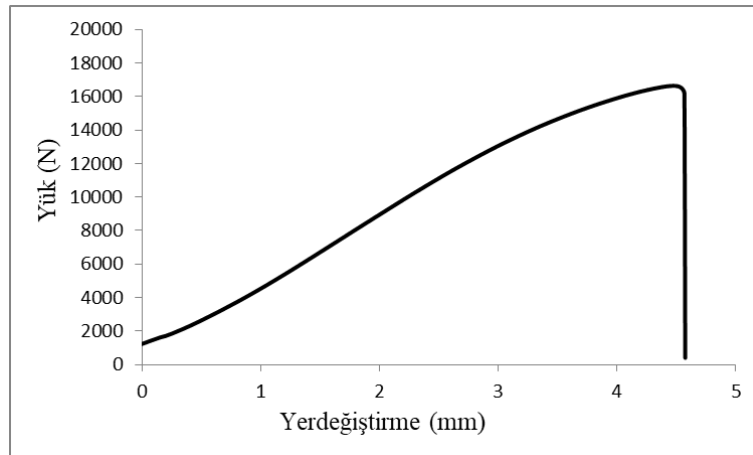
### 3.11. Tutkallı Zımbalı Kayın Birleştirme Örnekleri

#### 3.11.1. İki Zımbalı Tutkallı Kayın Birleştirmeleri İçin Makaslama Testi

Bu test MTS Universal Test makinesinde dakikada 2,5 mm hızda makaslama yüklemesi yapılarak gerçekleştirilmiştir. Bu grup için 10 tekrar yapılmış olup örneklerin maksimum direnç değerleri ve kırılma biçimleri rapor edilmiştir. Test edilen birleştirme yerlerinin hepsi kırılma biçimi zımbanın ana malzemedan çıkışı ve zımba tellerinin eğilmesi ile ana malzemede ve takozda ezikler oluşturma şeklindedir. Ayrıca ana malzemeden kopan lifler takozda yapışık halde kalmıştır. Bu örnek gruplarına ait tipik yük-yer değiştirme grafiği Şekil 81' deki gibidir.



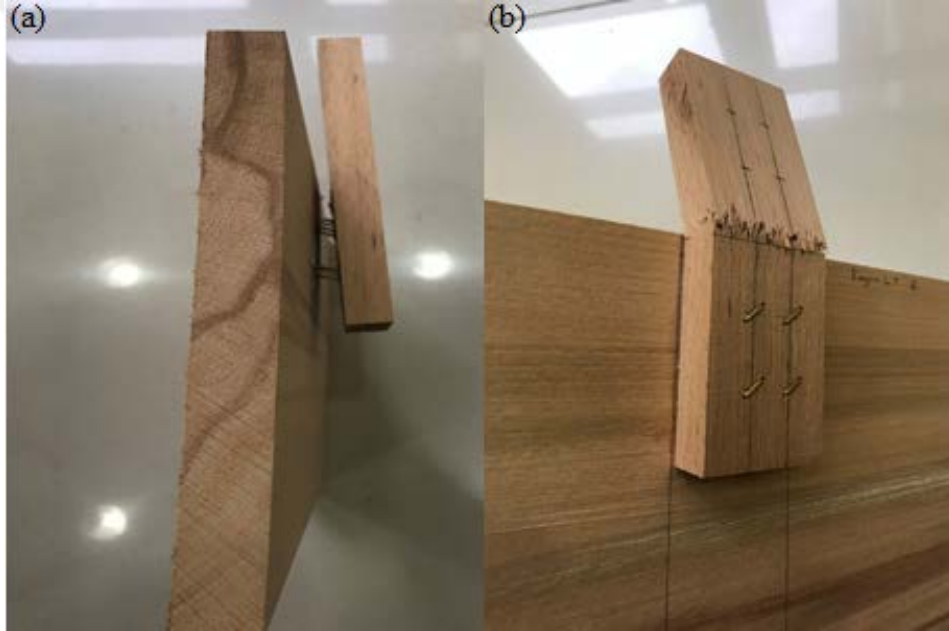
Şekil 80. Zımbanın ana malzemeden ayrılması



Şekil 81. İki zımbalı tutkallı kayın örneklerine ait tipik yük yer değiştirme grafiği

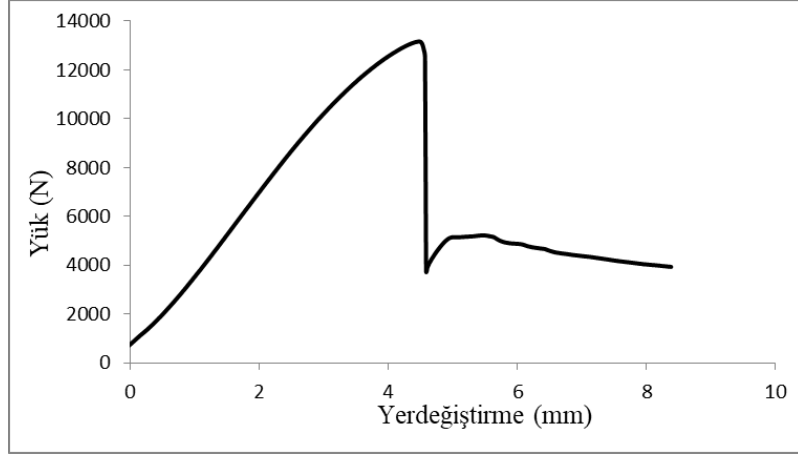
### 3.11.2. Dört Zımbalı Tutkallı Kayın Birleřtirmeleri İin Makaslama Testi

MTS Universal test makinasında dakikada 2,5 mm hızda gerekleřen bu testte 10 adet tutkallı ve 4 zımba ile birleřtirilmiř kayın rneklerinin maksimum diren deęerleri ile kırılma biimleri incelenmiřtir. Buna gre rneklerin neredeyse tamamında zımbanın ana malzemededen ıkıřı ve zımba tellerinin eęilmesi ile ana malzemede ve takozda ezikler oluřturma řeklinde ayrılma gzlenmiř olup ana malzemededen kopan lifler takozu yapıřık halde kalmıřtır. Yalnızca 10 numaralı birleřtirme yerinin takoz malzemesi kırılmıř ve belden bklmřtr. řekil 82 ayrılma biimlerini gstermektedir. Dięer taraftan bu rnek gruplarına ait tipik yk-yer deęiřtirme grafięi řekil 83'deki gibidir.



řekil 82. Birleřtirme yerinden tutkal hattının kopması ve zımbanın ana malzemededen ıkması (a), Takozun (yan malzeme) belden bklmesi (b)





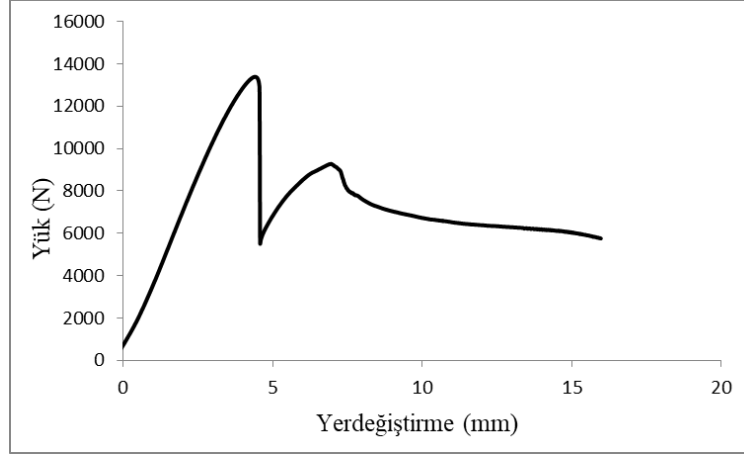
Şekil 83. Dört zımbalı tutkallı kayın örneklerine ait tipik yük yer değiştirme grafiği

### 3.11.3. Altı Zımbalı Tutkallı Kayın Birleştirmeleri İçin Makaslama Testi

MTS Universal test makinesinde direnç değerleri ölçülen 6 zımbalı tutkallı birleştirme yerinin 10 tekrarla test edilen her bir örneğin maksimum direnç değerleri ölçülmüş ve kırılma biçimleri gözlenmiştir. Buna göre tüm örnekler ayrılma biçimi olarak zımbanın ana malzemedan çıkışı, zımba tellerinin eğilmesi ile ana malzemede ve takozda ezikler oluşturma, ana malzemedan kopan liflerin takozda yapışık halde kalması şeklindedir. Şekil 84 bu gruba ait örneğin ayrılma biçimini göstermektedir. Bu örnek gruplarına ait tipik yük-yer değiştirme grafiği ise Şekil 85' deki gibidir.



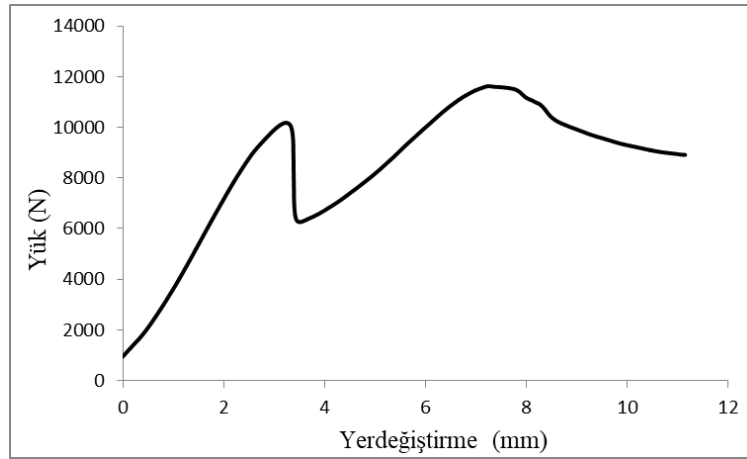
Şekil 84. Birleştirme yerinden tutkal hattının kopması ve zımbanın ana malzemedan çıkması



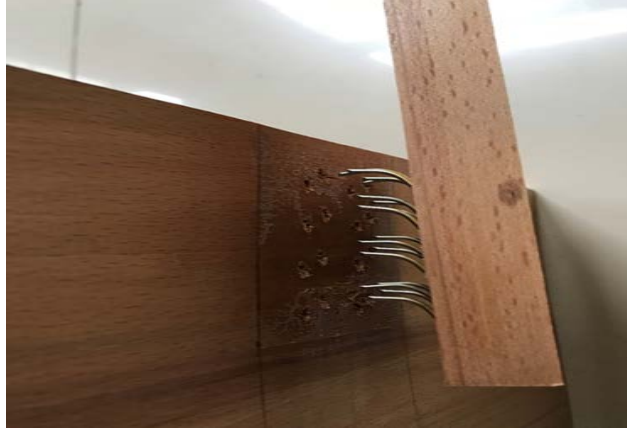
Şekil 85. Altı zımbalı tutkallı kayın örneklerine ait tipik yük yer değiştirme grafiği

#### 3.11.4. Sekiz Zımbalı Tutkallı Kayın Birleştirmeleri İçin Makaslama Testi

Sekiz zımbalı ve tutkallı kayın birleştirme yerleri her birinden 10 tekrar olacak şekilde MTS Universal test makinasında 2,5 mm/dk. hızda test edilmiştir. Bu örnek gruplarına ait tipik yük-yer değiştirme grafiği Şekil 86'deki gibidir. Şekil 87 ise bu gruba ait ayrılma biçimini göstermiştir.



Şekil 86. Sekiz zımbalı tutkallı kayın örneklerine ait tipik yük yer değiştirme grafiği



Şekil 87. Sekiz zımbalı tutkallı kayın birleştirmeleri ayrılma biçimi

Sonuçlar incelendiğinde tüm örnekler ayrılma biçimi olarak zımbanın ana malzemeden çıkışı ve zımba tellerinin eğilmesi ile ana malzemede ve takozda ezikler oluşturma şeklindedir. Ayrıca birleştirme yerinden ayrılma ve ana malzemeden kopan liflerin takozda yapışık halde kaldığı gözlenmiştir. Tablo 12 bütün tutkallı zımbalı kayın örneklerine ait maksimum direnç değerlerini ve ortalama değerleri göstermektedir. Burada zımba sayısının 2 zımbadan 4 zımbaya artması direnç değerlerini artırırken 6 zımbadan 8 zımbaya artması değerleri azaltmıştır.

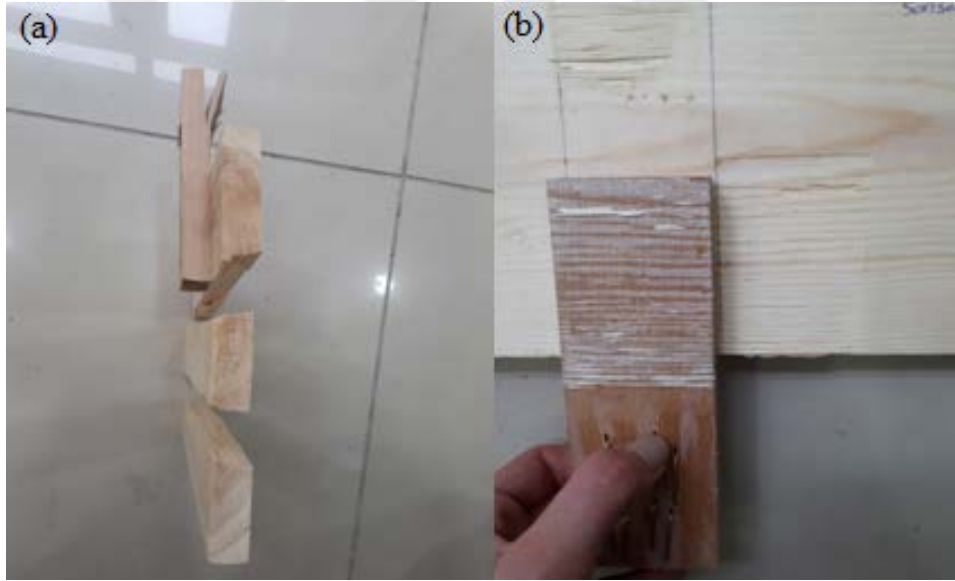
Tablo 12. Tüm tutkallı kayın örneklerinin maksimum direnç değerleri ve ortalama değerleri

Tutkallı Zımbalı Kayın örnekleri				
Örnek No	Zımba sayısı			
	2	4	6	8
1	16635,11	17224,0	13858,6	13449,7
2	14376,77	9385,88	14724,6	9958,61
3	15547,92	14410,6	11895,0	13198,8
4	5032,385	15606,4	18411,1	12425,8
5	10661,65	16134,0	15243,4	14616,3
6	13943,60	14944,5	13504,9	11626,3
7	12555,77	13161,3	14841,5	13802,3
8	16336,82	18184,0	8078,60	13059,8
9	7305,764	11113,2	13389,5	12058,3
10	16111,22	14362,6	17391,9	14339,2
Ortalama	12850,70	14452,7	14133,9	12853,5

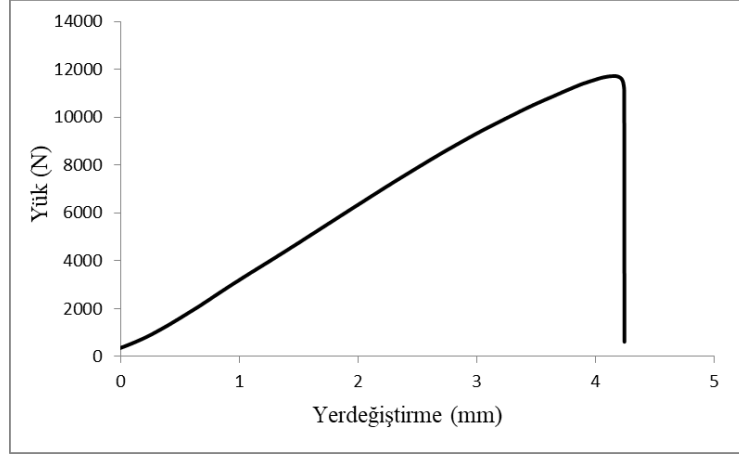
### 3.12. Sadece Tutkallı Birleştirme Örnekleri

#### 3.12.1. Sadece Tutkallı Sarıçam Birleştirmeleri İçin Makaslama Testi

MTS Universal test makinesinde dakikada 2,5 mm hızda gerçekleşen bu testte 10 adet sadece tutkal kullanılarak kayın takozu ile birleştirilmiş sarıçam örneklerinin maksimum direnç değerleri ile ayrılma biçimleri ele alınmıştır. Yapılan test sonucunda sadece 2, 10 numaralı örneklerde takoz malzemesinin kırılarak belden bükülmesi ve ana malzemede kırılma söz konusu olurken geriye kalan diğer örneklerin hepsi birleştirme yerinden ayrılma ve ana malzemeden kopan liflerin takozla yapışık halde kalması şeklinde ayrılma gerçekleşmiştir. Şekil 88 bu gruba ait ayrılma şeklini göstermektedir. Bu örnek gruplarına ait tipik yük-yer değiştirme grafiği ise Şekil 89'daki gibidir.



Şekil 88. Ana malzeme ve takoz kırılması (a), Birleştirme yerinden ayrılma (b)



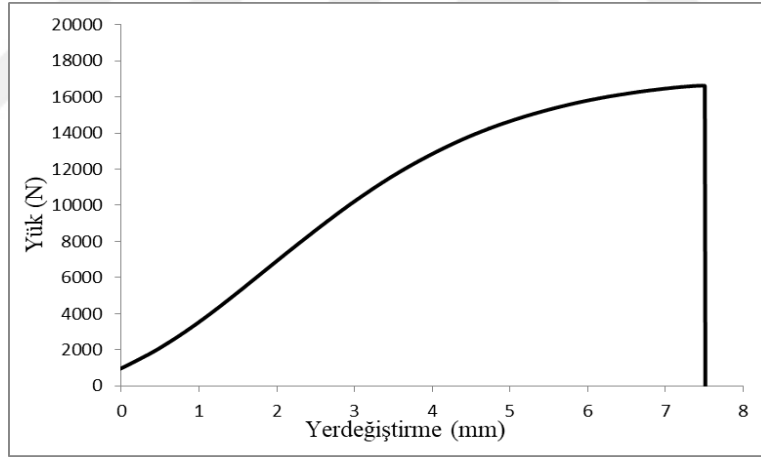
Şekil 89. Sadece tutkallı sarıçam (kayın takoz) örneklerine ait tipik yük yer deęiştirme grafięi

### 3.12.2. Sadece Tutkallı Kızılaęaç Birleştirmeleri İçin Makaslama Testi

MTS Universal test makinesinde dakikada 2,5 mm hızda gerçekleşen bu testte 10 adet sadece tutkal kullanılarak kayın takozu ile birleştirilmiş kıızılaęaç örneklerinin maksimum direnç deęerleri ile ayrılma biçimleri ele alınmıştır. Yapılan test sonucunda örneklerden 1, 2, 3, 4, 7, 9 numaralılar ana malzemenin kırılması ve takoz malzemenin kırılması ile belden bükülmesi şeklinde sonuçlanmıştır. Dięer taraftan 5, 6, 8, 10 numaralı örneklerde ise birleştirme yerinden ayrılma ve ana malzemeden kopan liflerin takozla yapışık halde kalması şeklinde ayrılma gözlenmiştir. Şekil 90 bu gruba ait ayrılma şeklini göstermektedir. Bu örnek gruplarına ait tipik yük-yer deęiştirme grafięi ise Şekil 91' deki gibidir.



Şekil 90. Takoz malzemesinin ve ana malzemenin kırılması (a), Birleştirme yerinden ayrılma (b)

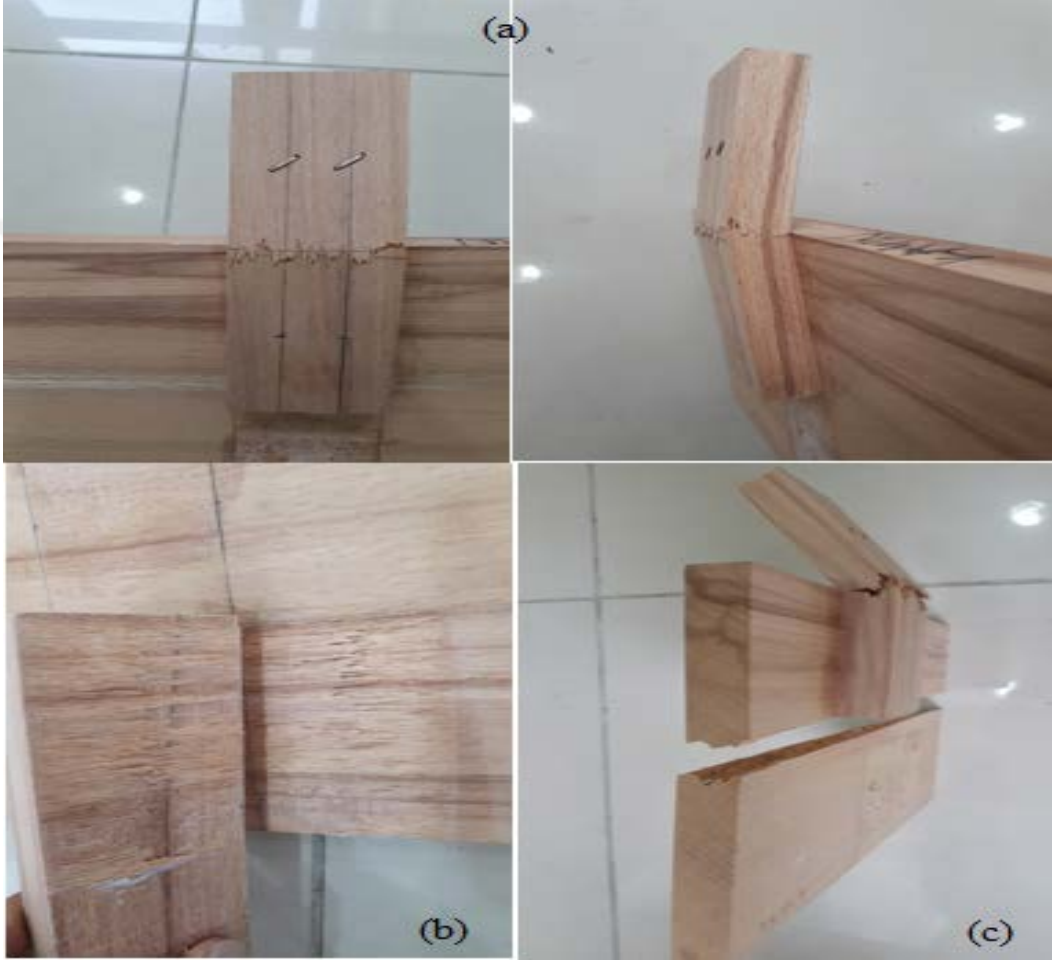


Şekil 91. Sadece tutkallı kızılığaç örneklerine ait tipik yük yer deęiştirme grafięi

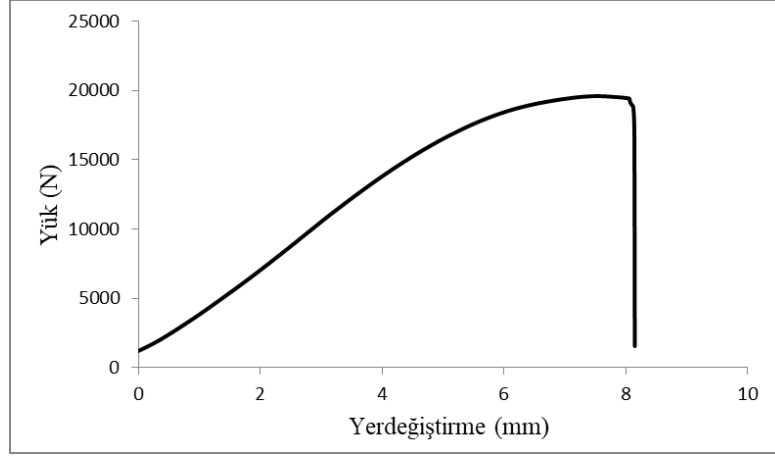
### 3.12.3. Sadece Tutkallı Kayın Birleştirmeleri İçin Makaslama Testi

MTS Universal test makinesinde dakikada 2,5 mm hızda gerçekleşen bu testte 10 adet sadece tutkal kullanılarak kayın takozu ile birleştirilmiş kayın örneklerinin maksimum direnç değerleri ile ayrılma biçimleri ele alınmıştır. Yapılan test sonucunda örneklerden 2, 3, 4, 5, 6, 8, 9 numaralı örneklerde ana malzemede kırılma ve takozda belden bükülerek

kırılma gerçekteştir. 1 ve 7 numaralı örneklerde sadece takozda belden bükülerek kırılma gözlenmiştir. Geriye kalan 10 numaralı örnekte ise test birleştirme yerinden ayrılma ve ana malzemeden kopan liflerin takozla yapışık halde kalması şeklinde sonuçlanmıştır. Şekil 92 bu gruba ait ayrılma şeklini göstermektedir. Bu örnek gruplarına ait tipik yük-yer değıştirme grafiđi ise Şekil 93' deki gibidir.



Şekil 92. Takoz malzemesinin kırılması ve belden bükülmesi (a), Birleştirme yerinden ayrılma (b), Ana malzemenin ve takoz malzemesinin kırılması (c)



Şekil 93. Sadece tutkallı kayın (kayın takoz) örneklerine ait tipik yük yer değiştirme grafiği

Tablo 13 Sadece tutkallı sarıçam, kızılâğaç ve kayın ana malzemesiyle kayın takozdan elde edilen birleştirme yerlerinin maksimum direnç değerlerini ve ortalama değerlerini göstermektedir. Tablodan görüleceği üzere özgül ağırlık sarıçamdan kayına doğru arttıkça masif birleştirme yerlerinin ortalama maksimum direnç değerleri artmıştır.

Tablo 13. Kayın takozlu sadece tutkallı sarıçam kızılâğaç ve kayın örneklerinin maksimum direnç değerleri ve ortalama değerleri

Örnek No	Ağam Malzeme Türü		
	Sarıçam	Kızılâğaç	Kayın
1	10861,2	16618,5	16497,8
2	13816,7	19230,7	19061,5
3	12223,4	15867,6	24164,3
4	10967,0	17944,3	19599,7
5	11634,9	16324,0	19329,4
6	12036,8	16627,7	19697,9
7	9252,47	18294,8	19434,7
8	10205,3	20242,7	20292,7
9	11724,0	16218,3	16951,5
10	13056,9	16012,2	21585,7
Ortalama	11577,9	17388,1	19661,5



### 3.13. Birleřtirme Yeri Ayrılma Biçimleri

Tablo 14 Tüm birleřtirme yerlerine ait ayrılma biçimlerini göstermektedir. Birleřtirme biçimleri řu řekildedir. Zımbanın ana malzemededen çıkıřı ve zımba tellerinin eğilmesi ile ana malzemede ve takozda ezikler oluřturma (AÇ), takoz malzemesinin (yan malzeme) tabakaları arasında makaslama (TM), ana malzeme kırılması (AK), takoz malzemesinin kırılması ve belden bükülmesi (TB), birleřtirme yerinden ayrılma ve ana malzemededen kopan liflerin takoza yapıřık halde kalması (BA) řeklinde belirlenmiřtir. Buna sadece tutkallı birleřtirme yerlerinde TB-AK çoęunlukla birlikte görülmüř olup bu tür örnek sayısı 15'tir. Dięer sadece tutkallı birleřtirme yerlerinde 13 adet BA ayrılma biçimi gözlemlenmiřken ve 2 adette TB gözlemlenmiřtir.

Sadece zımbalı tek sıra ve çift örneklerin neredeyse tamamında AÇ ayrılma biçimi gözlemlenmiř olup bu 196 örneęe tekabül etmiřtir. Ayrıca bu tip birleřtirme yerlerinde 7 adette TM tipi ayrılma biçimi gözlemlenmiřtir. AK ayrılma biçimi sayısı ise 6 adettir.

Tutkallı ve zımbalı örneklerde ayrılma biçimi olarak çoęunlukla BA-AÇ tipi ayrılma biçimi gözlemlenmiř olup bunların sayısı 113'tür. Bu tip birleřtirme yerlerinde 4 adet AK-TB tipi ayrılma gözlemlenirken, 1 adet AK, 2 adette TB tipi ayrılma biçimi gözlemlenmiřtir.

Tablo 14. Birleştirme yerlerine ait ayrılma biçimleri

Ağaç Türü	Birleştirme Yerinde Ayrılma Biçimleri												
	Tek sıra Zımba				Çift Sıra Zımba				Tutkal ve Çift Sıra Zımba				
	Zımba Sayısı												
	0*	2	3	4	2	4	6	8	2	4	6	8	
Sarıçam	1	BA	AÇ	AÇ	AÇ	AÇ	AÇ	AK	AÇ	BA-AÇ	BA-AÇ	BA-AÇ	BA-AÇ
	2	TB-AK	AÇ	AÇ	AÇ	AÇ	AÇ	AÇ	AÇ	BA-AÇ	BA-AÇ	BA-AÇ	BA-AÇ
	3	BA	AÇ	AÇ	AÇ	AÇ	AÇ	AK	AÇ	BA-AÇ	BA-AÇ	BA-AÇ	AK-TB
	4	BA	AÇ	AÇ	AÇ	AÇ	AÇ	AÇ	AÇ	BA-AÇ	BA-AÇ	BA-AÇ	AK-TB
	5	BA	AÇ	AÇ	AÇ	AÇ	AÇ	AK	AÇ	BA-AÇ	BA-AÇ	AK-TB	BA-AÇ
	6	BA	AÇ	AÇ	AÇ	AÇ	AÇ	AÇ	AÇ	BA-AÇ	BA-AÇ	BA-AÇ	BA-AÇ
	7	BA	AÇ	AÇ	AÇ	AÇ	AÇ	AÇ	AÇ	BA-AÇ	BA-AÇ	BA-AÇ	BA-AÇ
	8	BA	AÇ	AÇ	AÇ	AÇ	AÇ	AÇ	AÇ	BA-AÇ	BA-AÇ	BA-AÇ	AK
	9	BA	AÇ	AÇ	TM	AÇ	AÇ	AÇ	AÇ	BA-AÇ	BA-AÇ	BA-AÇ	TB
	10	TB-AK	AÇ	AÇ	AÇ	AÇ	AÇ	AK	AÇ	BA-AÇ	BA-AÇ	BA-AÇ	BA-AÇ
Kızılağaç	1	TB-AK	AÇ	AÇ	AÇ	AÇ	AÇ	AÇ	AÇ	BA-AÇ	BA-AÇ	BA-AÇ	BA-AÇ
	2	TB-AK	AÇ	AÇ	AÇ	AÇ	AÇ	AÇ	AÇ	BA-AÇ	BA-AÇ	BA-AÇ	BA-AÇ
	3	TB-AK	AÇ	AÇ	AÇ	AÇ	AÇ	AÇ	AÇ	BA-AÇ	BA-AÇ	BA-AÇ	BA-AÇ
	4	TB-AK	AÇ	AÇ	AÇ	AÇ	AÇ	AÇ	AÇ	BA-AÇ	BA-AÇ	BA-AÇ	BA-AÇ
	5	BA	AÇ	AÇ	AÇ	AÇ	AÇ	AÇ	AÇ	BA-AÇ	BA-AÇ	BA-AÇ	BA-AÇ
	6	BA	AÇ	AÇ	AÇ	AÇ	AÇ	AÇ	AÇ	BA-AÇ	BA-AÇ	BA-AÇ	BA-AÇ
	7	TB-AK	AÇ	AÇ	AÇ	AÇ	AÇ	AÇ	AÇ	BA-AÇ	BA-AÇ	BA-AÇ	BA-AÇ
	8	BA	AÇ	AÇ	AÇ	AÇ	AÇ	AÇ	TM	BA-AÇ	BA-AÇ	BA-AÇ	BA-AÇ
	9	TB-AK	AÇ	AÇ	TM	AÇ	AÇ	AÇ	AÇ	BA-AÇ	BA-AÇ	BA-AÇ	BA-AÇ
	10	BA	AÇ	AÇ	AÇ	AÇ	AÇ	AÇ	AÇ	BA-AÇ	AK-TB	BA-AÇ	BA-AÇ
Kayın	1	TB	AÇ	AÇ	AÇ	AÇ	AÇ	AÇ	AÇ	BA-AÇ	BA-AÇ	BA-AÇ	BA-AÇ
	2	TB-AK	AÇ	TM	AÇ	AÇ	AÇ	AÇ	AÇ	BA-AÇ	BA-AÇ	BA-AÇ	BA-AÇ
	3	TB-AK	AÇ	AÇ	AÇ	AÇ	AÇ	AÇ	AÇ	BA-AÇ	BA-AÇ	BA-AÇ	BA-AÇ
	4	TB-AK	AÇ	AÇ	AÇ	AÇ	AK	AK	AÇ	BA-AÇ	BA-AÇ	BA-AÇ	BA-AÇ
	5	TB-AK	AÇ	AÇ	AÇ	AÇ	AÇ	AÇ	AÇ	BA-AÇ	BA-AÇ	BA-AÇ	BA-AÇ
	6	TB-AK	AÇ	AÇ	AÇ	AÇ	AÇ	AÇ	AÇ	BA-AÇ	BA-AÇ	BA-AÇ	BA-AÇ
	7	TB	AÇ	AÇ	TM	AÇ	AÇ	AÇ	AÇ	BA-AÇ	BA-AÇ	BA-AÇ	BA-AÇ
	8	TB-AK	AÇ	AÇ	TM	AÇ	AÇ	TM	AÇ	BA-AÇ	BA-AÇ	BA-AÇ	BA-AÇ
	9	BA	AÇ	AÇ	AÇ	AÇ	AÇ	AÇ	AÇ	BA-AÇ	BA-AÇ	BA-AÇ	BA-AÇ
	10	TB-AK	AÇ	AÇ	AÇ	AÇ	AÇ	AÇ	AÇ	BA-AÇ	TB	BA-AÇ	BA-AÇ

\*Sadece tutkallı birleştirme yerleri

Demirel vd. (2013) çalışmasında tek sıra zımbalı birleştirme yerlerinin tamamında ve Demirel vd. (2014 ve 2018) çift zımbalı birleştirme yerlerinin tamamının test edilmesi sonucunda AÇ tipi ayrılma biçimi gözlemlenmiştir. Demirel vd. (2018) çalışmasında tutkallı ve zımbalı örneklerin tamamında BA ve AÇ ayrılma biçimleri birlikte gözlemlenmiştir. Bu sayede mevcut çalışmadaki ayrılma biçimleri literatür

çalışmalarındaki ayrılma biçimleriyle gerek birleştirme tipi ve gerekse ayrılma tipi olarak örtüşmektedir.



## 4. TARTIŞMA

### 4.1. Tek Sıra Zımbalı Birleştirmeler

Üç farklı ağaç türü kullanarak tek sıra zımba ile birleştirilmiş mobilya birleştirme yerlerine ait ortalama maksimum yanal makaslama direnci değerleri Tablo 15' de verilmiştir. Her ortalama değer 10 test tekrarına tekabül eder.

Tablo 15. Tek sıra zımba ile birleştirilmiş mobilya birleştirme yerlerine ait ortalama yanal makaslama direnci değerleri ve varyans sabiti değerleriyle birlikte.

Zımba Sayısı	Ağaç Türü		
	Sarıçam	Kızılağaç	Kayın
2	1721 (8)	2027 (12)	2562 (13)
3	2602 (8)	3305 (14)	3632 (8)
4	3498 (10)	4487 (10)	4893 (11)

\*Parantez içindeki sayılar varyans sabit değerlerini göstermektedir.

Ortalama maksimum yanal makaslama değerleri üzerine zımba sayısının, ağaç türünün ve bunların etkileşimlerinin etkisini incelemek üzere iki faktör varyans analizi (ANOVA) genel doğrusal model uygulanmış ve sonuçlar Tablo 16' daki ANOVA tablosunda özetlenmiştir.

Tablo 16. Her bir 10 tekrarlı her bir örnek grubuna ait 3'e 3 tek sıra zımbalı birleştirme yerlerinin ana etkileri ve etkileşimleri için genel doğrusal model değerleri

Source	DF	F Değeri	Pr > F	
AT	2	87.09	<.0001	Ö
ZS	3	596.22	<.0001	Ö
AT*ZS	6	May.31	<b>0.0338</b>	Ö

Ö= Önemli; AT= Ağaç Türü; ZS=Zımba Sayısı.

ANOVA sonuçları göstermiştir ki, ağaç türü ve zımba sayısı arasındaki istatistiki etkileşim 0.05' ten küçük olduğu için (0,0338) bu etkileşim istatistiki anlamda önemli bulunmuştur. Tablo 17 ve 18 tek sıra zımbalı birleştirme yerlerine ait ortalama maksimum yanıl makaslama direnç değerlerini sırasıyla ağaç türü ve zımba sayısına göre vermiştir. İstatistik analiz sonucu 9 sonuç elde edilmiştir. Yüzde 5 anlamlılık düzeyinde korunan en az önemli fark (LSD) çoklu karşılaştırma prosedürü sonucu 279 Newton' luk tek LSD değerini ile ortalama sonuçlar karşılaştırılarak istatistiki farklar belirlenmiştir.

Tablo 17. Tek sıra zımbalı birleştirmelere ait ortalama yanıl makaslama değerlerinin ağaç türüne göre kıyaslanması

Zımba Sayısı	Ağaç Türü		
	Sarıçam	Kızılağaç	Kayın
2	1721 (B)	2027 (B)	2562 (A)
3	2602 (C)	3305 (B)	3632 (A)
4	3498 (C)	4487 (B)	4893 (A)

\*Parantez içindeki farklı harfler istatistiksel farkları göstermektedir.

Tablo 18. Tek sıra zımbalı birleştirmelere ait ortalama yanıl makaslama değerlerinin zımba sayısına göre kıyaslanması

Ağaç Türü	Zımba Sayısı		
	2	3	4
Sarıçam	1721 (C)	2602 (B)	3498 (A)
Kızılağaç	2027 (C)	3305 (B)	4487 (A)
Kayın	2562 (C)	3632 (B)	4893 (A)

\*Parantez içindeki farklı harfler istatistiksel farkları göstermektedir.

#### 4.1.1. Ağaç Malzeme Türü Etkisi

Tablo 17'de görüldüğü gibi üç farklı ağaç malzemedan elde edilen tek sıra zımbalı birleştirme yerlerinin ortalama yanıl makaslama direnci değerleri arasında istatistiki olarak fark bulunmuştur. Buna göre kayın ağacından üretilmiş tek sıralı 2, 3 ve 4 zımbadan oluşturulmuş birleştirme yerlerinin ortalama yanıl makaslama değerleri diğer ağaç türlerinden elde edilenlerinkinden istatistiki olarak daha fazla çıkmıştır. Yine kızılağaç kullanarak tek sıralı 2, 3 ve 4 zımbadan oluşturulmuş birleştirme yerlerinin ortalama yanıl

makaslama direnç deęerleri istatistiki olarak kayın aęacından üretilenlerinkinden küçük, sarıçamdan üretilenlerinkinden büyük çıkmıştır. Sadece kızılaęaç kullanarak tek sıralı 2 zımbadan oluşturulmuş birleřtirme yerlerinin ortalama yanal makaslama direnç deęerlerinin 2 zımbalı sarıçamdan üretilen örnekler ile ortalama yanal makaslama deęerleri arasında istatistiki olarak bir fark bulunmamıştır. Burada yoğunluęu en yüksek aęaç olan kayın aęacından üretilen birleřtirme yerlerinin ortalama direnç deęerleri kızılaęaç ve sarıçamdan üretilenlerinkinden istatistiki olarak daha fazla çıkarken en düşük yoğunluklu sarıçam aęacından üretilen birleřtirme yerlerinin ortalama yanal makaslama direnç deęerleri en düşük çıkmıştır. Bu farklar aęaç malzemelerin özgül aęırlıklarının farklı olmasından kaynaklanabilir. Keza Demirel vd. (2013) tek sıra zımbalı OSB birleřtirme yerlerinin yanal makaslama direnci deęerleri üzerine çalışmış ve yoğunlukları birbirinden farklı üç OSB malzemesi kullanmıştır. OSB III en fazla yoğunluęa sahipken bunu OSB II ve OSB I takip etmiştir. Sonuçlar OSB III ve OSB II'den üretilen birleřtirme yerlerinin ortalama maksimum yanal makaslama direnci deęerlerinin OSB I'den üretilenlerinkinden istatistiki olarak daha fazla olduęu belirlenmiş ve bunun nedeni olarak OSB direncinin malzemenin orta tabaka yoğunluęuna karşı hassas olduęu tespit edilmiştir. Bu sonuçlar bizim çalışmamızın sonucuyla örtüşmektedir.

#### **4.1.2. Zimba Sayısı Etkisi**

Tablo 18'de görüldüęü üzere tek sıra 4 zımbalı birleřtirme yerlerinin ortalama maksimum yanal makaslama direnç deęerleri tek sıra 3 ve 2 zımbalı birleřtirme yerlerinininkinden istatistiki anlamda daha fazla olduęu tespit edilmiştir. Benzer şekilde tek sıra 3 zımbalı birleřtirme yerlerinin ortalama maksimum yanal makaslama direnç deęeri, tek sıra 2 zımbalı birleřtirme yerlerinininkinden istatistiki anlamda daha fazla olduęu görülmüştür. Demirel vd. (2013) çalışmasında üç farklı OSB malzemesinden elde edilen tek sıralı birleřtirme yerlerinin ortalama maksimum yanal makaslama direnç deęerlerinin zimba sayısının 2 den 4 e artmasıyla istatistiki olarak arttıęı gözlemlenmiştir. Genel itibariyle sonuçlarda net olarak görülmüştür ki zimba sayısının artması ile tek zımbalı birleřtirme yerlerinin ortalama maksimum direnç deęerlerini arttırdıęı gözlemlenmiştir.

## 4.2. Çift Sıra Zımbalı Birleştirmeler

Üç farklı ağaç türü kullanarak çift sıra zımba ile birleştirilmiş mobilya birleştirme yerlerine ait ortalama maksimum yanal makaslama direnç değerleri ve bu değerlerin varyans sabitleri Tablo 19’da verilmiştir. Tablodaki her ortalama değer 10 test örneği sonucunun ortalamasıdır.

Tablo 19. Çift sıra zımba ile birleştirilmiş mobilya birleştirme yerlerine ait ortalama maksimum yanal makaslama direnci değerleri ve varyans sabiti değerleriyle birlikte

Zımba Sayısı	Ağaç Türü		
	Sarıçam	Kızılağaç	Kayın
2	1508 (15)	1850 (9)	1572 (7)
4	3037 (10)	3980 (9)	4223 (12)
6	3134 (22)	5368 (23)	6356 (6)
8	5327 (8)	8000 (15)	8834 (6)

\*Parantez içindeki sayılar varyans sabit değerlerini göstermektedir.

Ortalama maksimum yanal makaslama direnç değerleri üzerine zımba sayısının, ağaç türünün ve bunların etkileşimlerinin etkisini incelemek üzere iki faktör varyans analizi (ANOVA) genel doğrusal model uygulanmış ve sonuçlar Tablo 20’deki ANOVA tablosunda özetlenmiştir.

Tablo 20. Her bir 10 tekrarlı örnek grubuna ait 3’e 3 çift sıra zımbalı birleştirme yerlerinin ana etkileri ve etkileşimleri için genel doğrusal model prosedür değerleri

Kaynak	DF	F Değeri	Pr > F	
<b>AT</b>	2	109.96	<.0001	Ö
<b>ZS</b>	3	453.09	<.0001	Ö
<b>AT*ZS</b>	6	20.33	<.0001	Ö

Ö= Önemli; AT= Ağaç Türü; ZS=Zımba Sayısı.

Tablo 20’deki ANOVA sonuçlarına göre ağaç türü ve zımba sayısı arasındaki etkileşim istatistiki anlamda önemli bulunmuştur. Tablo 21 ve 22 çift sıra zımbalı birleştirme yerlerine ait ortalama maksimum yanal makaslama direnci değerlerini sırasıyla

ağaç türü ve zımba sayısına göre vermiştir. İstatistik analiz sonucu 9 sonuç elde edilmiştir. Yüzde 5 güven düzeyinde korunan en az önemli fark (LSD) çoklu karşılaştırma prosedürü sonucu 547 Newton' luk tek LSD değerini ile ortalama sonuçlar karşılaştırılarak istatistiki farklar belirlenmiştir.

Tablo 21. Çift sıra zımbalı birleştirmelere ait ortalama maksimum yanal makaslama değerlerinin ağaç türüne göre kıyaslanması

Zımba Sayısı	Ağaç Türü		
	Sarıçam	Kızılağaç	Kayın
2	1508 (A)	1850 (A)	1572 (A)
4	3037 (B)	3980 (A)	4223 (A)
6	3134 (C)	5368 (B)	6356 (A)
8	5327 (C)	8000 (B)	8834 (A)

\*Parantez içindeki farklı harfler istatistiksel farkları göstermektedir.

Tablo 22. Çift sıra zımbalı birleştirmelere ait ortalama maksimum yanal makaslama değerlerinin zımba sayısına göre kıyaslanması

Ağaç Türü	Zımba Sayısı			
	2	4	6	8
Sarıçam	1508 (C)	3037 (B)	3134 (B)	5327 (A)
Kızılağaç	1850 (D)	3980 (C)	5368 (B)	8000 (A)
Kayın	1572 (D)	4223 (C)	6356 (B)	8834 (A)

\*Parantez içindeki farklı harfler istatistiksel farkları göstermektedir.

#### 4.2.1. Ağaç Malzeme Türü etkisi

Tablo 21' den gözlemleneceği üzere 6 ve 8 zımba kullanarak oluşturulan çift sıra birleştirme yerlerinin, ortalama maksimum yanal makaslama direnci değerleri kayın ağacından üretilenlerde istatistiki olarak en yüksek çıkarken, bunu kızılalğaç takip etmiş ve en düşük değer yine tek sıralı zımbalı birleştirmelerde olduğu gibi çift sıra zımbalı sarıçam birleştirme yerlerinde gözlemlenmiştir. Söz konusu ilişki 4 zımbalı çift sıra birleştirmelerde farklı olup kayın ve kızılalğaçtan yapılan çift sıra 4 zımbalı birleştirme yerlerinin ortalama maksimum direnç değerlerinde istatistiki bir fark bulunmayıp bu sonuçlar sarıçam odunundan elde edilmiş 4 zımbalı birleştirme yerlerinkinden istatistiki



olarak daha yüksek çıkmıştır. Oysa 2 zımbalı çift sıra zımbalı birleştirme yerlerinde ortalama yanal makaslama direnç değerleri arasında istatistiki bir fark bulunamamıştır. Buradan anlaşılacağı üzere ağaç türü farklılıkları arasında zımba sayısının etkisi gözlemlenmiş olup zımba sayısı arttıkça farklı ağaç malzemelerden elde edilen birleştirme yerlerinin direnç değerleri arasında istatistiki olarak fark çıkmaktadır. Demirel ve Zhang (2014) çalışmasında üç farklı OSB malzemesinden elde edilen çift sıra zımbalı birleştirme yerlerinin yanal makaslama direnç değerlerini incelemiş ve sonuçlar göstermiştir ki yüksek yoğunluklu OSB III birleştirme yerleri en yüksek direnci gösterirken bunu OSB II (orta yoğunluklu) ve OSB I (düşük yoğunluklu) takip etmiştir. Ancak burada tıpkı bizim çalışmamızda olduğu gibi farklı yoğunluklu OSB türlerinden elde edilen birleştirme yerlerinin ortalama maksimum yanal makaslama direnci değerleri arasındaki istatistiki olarak önemli olup olmadığı kullanılan zımba sayısına bağlı olmuştur. Zımba sayısının 2 den 8 artması ağaç malzemeler arasındaki farkın önemsizlikten önemliye doğru meylettığı görülmektedir. Zımba sayısının 4 ten az olması durumunda birleştirme yerinin direncinin OSB yoğunluğuna olan hassasiyeti az iken bu hassasiyet zımba sayısının 6 dan fazla olması durumunda artmaktadır. Bu çalışmanın sonucu bizim çalışmamızda çıkan sonuçla birebir örtüşmektedir. Keza bizim çalışmamızda da zımba sayısının 4 ten az olması durumunda birleştirme yerinin direncinin ağaç malzeme yoğunluğuna olan hassasiyeti az iken bu hassasiyet zımba sayısının 6 dan fazla olması (6 ve 8) durumunda artmaktadır.

#### **4.2.2. Zımba Sayısı Etkisi**

Tablo 22 de görüldüğü üzere kayın ve kızılğaç kullanılarak yapılmış çift sıra zımbalı birleştirme yerlerinin ortalama maksimum yanal makaslama direnç değerleri 8 zımbalı birleştirmelerde istatistiki olarak en büyük olup bunu 6 zımbalı, 4 zımbalı ve 2 zımbalı birleştirme yerleri takip etmektedir. Sarıçamdan üretilmiş çift sıra zımbalı birleştirme yerlerinde benzer durum gözlenirken sadece 6 zımbalı sarıçam birleştirme yerleriyle 4 zımbalı sarıçam birleştirme yerleri arasında istatistiki bir fark bulunamamıştır. Ancak genel itibariyle zımba sayısının artması çift sıra zımbalı birleştirme yerlerinin yanal makaslama direncini artırmıştır. Bu sonuç literatürle de örtüşmektedir. Keza Demirel ve Zhang (2014) çift sıra zımbalı OSB birleştirme yerlerinin ortalama maksimum direnç

değerlerinin zımba sayısının ikiden sekize ikişerli artması sonucu istatistiki olarak arttığını tespit etmişlerdir.

### 4.3. Tahmin Denklemleri

#### 4.3.1. Tek Sıralı Zımba Birleştirmeleri İçin

Zımba sayısının, farklı ağaç malzemelerden tek sıra olarak hizalanmış çoklu zımbalarla oluşturulan birleştirme yerlerinin yanal makaslama direnci üzerindeki etkisini ölçmek için, Zhang ve Quin in çalışmasında kullanılan denklem (2010) bu çalışmaya adapte edilmiştir (Zhang ve Quin 2010).

$$P_{TS} = K \times N^a \quad (1)$$

Burada ki  $P_{TS}$  = dikey olarak hizalanmış çoklu zımba birleştirmeleri (N) tek sıra zımbalı maksimum yanal makaslama yükü; N = zımba sayısı; K ve a = regresyon sabitleri.

Regresyon sabitlerini türetmek için, denklem (1)' in her iki tarafının  $\log 10$ 'u alınarak aşağıdaki denklemi elde edilmiştir:

$$\log_{10} P_{TS} = \log_{10} K + a \log_{10} N \quad (2)$$

Daha sonra denklem 2  $Y = \log_{10} P_{TS}$ ;  $b = \log_{10} K$ ; ve  $x = \log_{10} N$ , olacak şekilde doğrusal bir denkleme dönüştürülmüştür:

$$y = b + a x \quad (3)$$

Doğrusal regresyon analizi yapmak için, her bir zımba sayıları belirtilerek ağaç türü için 60'ar adet test sonucunu kullanılır. Tablo 23'de gösterildiği gibi, üç sütuna test örnek sayısı, örnekte kullanılan zımba sayısı ve maksimum yük değerleri sırasıyla yazılır. Daha sonra, zımbasının ve maksimum yük değerlerinin bulunduğu ikinci ve üçüncü sütunlardaki değerlerin, Tablo 24'de gösterildiği gibi logaritmik 10 ( $\log_{10}$ ) değerleri alınır.

Tablo 23. Her bir ağaç türü materyali için, (buradaki değerler Sarıçam içindir) 60 yanal makaslama testi sonucu elde edilen maksimum yük değerlerinin regresyon analizi için düzenleniş şekli

Örnek Sayısı	Zımba Sayısı (N)	Maksimum Yük (P)
1	1	790
2	1	796
3	1	912
.	.	.
.	.	.
.	.	.
60	4	3616

Tablo 24. Zımba sayısının ve maksimum yanal yük değerlerinin sarıçam için Log 10 değerine çevrilmesi

Örnek Sayısı	Log10 N (x)	Log10 P (y)
1	0	2,897627
2	0	2,900913
3	0	2,959995
.	.	.
.	.	.
.	.	.
60	0.602059991	3,558228

Değerlerin Logaritması alındıktan sonra, her ağaç malzeme grubu için lineer regresyon analizi yapılmıştır. Tablo 25, Sarıçam verilerinin doğrusal regresyon analizinin sonuçlarını vermektedir.

Tablo 25. Sarıçam verilerinin doğrusal regresyon analizi sonuçları

Değişken	DF	Parametre Tahmin	Pr >  t
Sabit Sayı	1	<b>2,90636</b>	< .0001
a	1	<b>1,06</b>	< .0001

Since  $b = 2,90636$  olduğu için K değeri hesaplanırken  $\log_{10} K = 2,90636$  şeklinde yazılır ve  $K = 10^{2,90636} = 806$  olarak hesaplanır.

Sarıçam kullanılarak tek sıra olarak hizalanmış çoklu zımba birleştirme yerlerinin yanal makaslama direnç yükünü tahmin etmek için elde edilen denklem, aşağıdaki şekilde ifade edilebilmiştir:

$$P = 806 \times N^{1.06} \quad (\text{Sarıçam için})$$

Kızılağaç ve Kayın için K ve "a" regresyon sabitleri, Sarıçam için yukarıda uygulanan benzer adımlarla elde edilmiştir. Tablo 26, üç farklı ağaç malzemenen üretilmiş zımbalı birleştirme yerleri için regresyon analizi sonucu elde edilmiş denklemleri oluşturan K,a katsayılarını özetlemektedir. Regresyon sonucu söz konusu tahmin denklemleri kızılağaç ve kayın için sırasıyla şu şekildedir;

$$P = 1028 \times N^{1.05} \quad (\text{Kızılağaç için})$$

$$P = 1235 \times N^{0.99} \quad (\text{Kayın için})$$

Tablo 26'daki K değerleri 6. sütundaki, tek zımbalı birleştirme yerlerinin maksimum yanal direnci değerleri (F0) ile karşılaştırılmıştır.

Tablo 26. Üç farklı ağaç malzemede dikey bir sıra olarak hizalanmış çoklu zımba ile bağlanmış birleştirme yerlerine ait ortalama maksimum yanal direnç yüklerinin ortalama değerleri ile tahmin denklemleri için türetilmiş denklemler için regresyon sabitleri,  $r^2$  ve p değerleri

Ağaç Türü	K	a	$r^2$	p değeri	$F_0$	K/ $F_0$
Sarıçam	806	1,06	0,97	< .0001	809	1,00
Kızılağaç	1028	1,05	0,97	< .0001	1043	0,99
Kayın	1235	0,99	0,97	< .0001	1233	1,00

Tablodan görüldüğü gibi K değerlerinin her bir ağaç türü için tek zımbalı birleştirme yerlerinin maksimum direnç değerlerine oranı sarıçam ve kayında 1, kızılağaçta ise 0,99 çıkmıştır. Söz konusu değerler birbirlerine çok yakın olduğu için denklem (1) 'deki regresyon sabiti K, her bir ağaç türü için tek zımbalı birleştirme yerlerinin direnç yükü ile değiştirilmiştir. Buna göre denklem aşağıdaki şekli almıştır:

$$P_{TZ} = F_0 \times N^{1,03} \quad (4)$$

Buradaki  $F_0$  = her bir ağaç malzemeye ait tek zımbalı birleştirme yerlerinin maksimum yanal makaslama yükü (N);  $N$  = zımba sayısını ifade etmektedir.

Buna göre her bir ağaç türü için türetilen denklemler şu şekildedir:

$$P_{TZ} = 809 \times N^{1,03} \quad \text{Sarıçam}$$

$$P_{TZ} = 1043 \times N^{1,03} \quad \text{Kızılağaç}$$

$$P_{TZ} = 1233 \times N^{1,03} \quad \text{Kayın}$$

Daha sonra her üç ağaç türüne ait sonuçların logaritmasının alındığı ve bir araya getirildiği Tablo 27'deki verilere dayanan bir regresyon analizi daha yapılarak, a sabiti 1,03 olarak  $r^2$  değeri ise 0,97 olarak elde edilmiştir. Buna göre, farklı ağaç malzemelerde tek sıra dikey hizalanmış çoklu zımba ile oluşturulan birleştirme yerlerinin yanal

makaslama direnci, a sabiti 1,03 olarak tek bir sayıya indirgenerek denklemi (4) oluşturulmuş ve sonuçları tahmin etmede kullanılmıştır. Bu denklem, bir tek sıralı zımbalardan oluşan birleştirme yerlerinin yanal makaslama direncini tahmin etmek için her bir ağaç türüne ait tek zımbalı birleştirme yerlerinin ortalama maksimum yanal makaslama direnci değerinin bilinmesini gerektirir.

Tablo 27. Her bir ağaç türüne ait tek zımba maksimum yanal makaslama değerlerinin, zımba sayısının ve tek sıralı çok zımba maksimum yanal makaslama değerlerinin regresyon analizi için logaritmalarının alınmış halleri

Örnek Sayısı	$\text{Log}_{10} F_0$	$\text{Log}_{10} N$	$\text{Log}_{10} P$
	( $\text{Log}_{10} 226$ )	( $\text{Log}_{10} 1$ )	
1	2,90795	0	2,89789
2	2,90795	0	2,9011
3	2,90795	0	2,95997
.	.	.	.
60	.	.	.
	( $\text{Log}_{10} 268$ )	( $\text{Log}_{10} 1$ )	( $\text{Log}_{10} P$ )
61	3,01828	0	2,99633
.	.	.	.
.	.	.	.
	( $\text{Log}_{10} 303$ )	( $\text{Log}_{10} 1$ )	( $\text{Log}_{10} P$ )
120	3,09096	0	3,14251
.	.	.	.
180	3,09096	0,60206	3,67718

Zımba sayısının ve ağaç malzeme yoğunluğunun sarıçam, kızılğaç ve kayın kullanarak tek sıra zımba ile oluşturulmuş birleştirme yerlerinin yanal yük direnci üzerindeki etkilerini ölçmek için, güç denklemi (5) bir diğer tahmin denklemi olarak bu çalışmaya adapte edilmiştir:

$$P_{TS} = K \times D^a \times N^b \quad (5)$$

Burada  $P_{TS}$  = tahmin edilen ortalama tek sıra dikey sıralı çoklu zımba birleştirme yerlerinin maksimum yanal makaslama direnci (N); N = zımba sayısı; D = ağaç malzeme yoğunluğu ( $\text{gr}/\text{cm}^3$ ); a ve b = regresyon sabitleri.

Her üç ağaç türünden elde edilmiş birleştirme yerine ait verilerden birleştirilmesi ve Tablo 28 'de logaritmalarının alınmasıyla yürütülen regresyonun sonucu, K, a, b regresyon sabitleri sırasıyla 4490, 2.15 ve 1.03 olarak belirlenmiştir.

Tablo 28. Üç farklı ağaç malzemenin yoğunluğu, zımba sayısı ve çoklu zımba maksimum yanal yükünün logaritmik dönüşümleri

Örnek Sayısı	$\text{Log}_{10} D$	$\text{Log}_{10} N$	$\text{Log}_{10} P$
	( $\text{Log}_{10} 0,45$ )	( $\text{Log}_{10} 1$ )	
1	-0,3449	0	2,89789
2	-0,3449	0	2,9011
3	-0,3449	0	2,95997
.	.	.	.
60	.	.	.
	( $\text{Log}_{10} 0,51$ )	( $\text{Log}_{10} 1$ )	( $\text{Log}_{10} P$ )
61	-0,2924	0	2,99633
.	.	.	.
.	.	.	.
	( $\text{Log}_{10} 0,54$ )	( $\text{Log}_{10} 1$ )	( $\text{Log}_{10} P$ )
120	-0,2676	0	3,14251
.	-0,2676	0	.
180	-0,2676	0,60206	3,67718

Buna, sarıçam kızılğaç veya kayından herhangi birinden üretilmiş ve tek sıra zımbadan oluşan bir birleştirme yerinin yanal makaslama direnci aynı zamanda yoğunluğu biliniyorsa denklem (6) kullanılarak da tahmin edilebilir. Bu regresyon analizi sonucu elde edilen K, a, b değerine göre bu çalışma için elde edilen denklem şu şekildedir.

$$P_{TS} = 4490 \times D^{2,15} \times N^{1,03} \quad (6)$$

### 4.3.2. Tahmin Denklemleri Karşılaştırmaları

Tablo 29, sırasıyla 5, 6 ve 7 sütunlarındaki denklemler (1), (4) ve (5) 'den hesaplanan, sarıçam, kızılğaç ve kayın odunu kullanarak tek sıralı zımbalardan oluşturulmuş birleştirme yerlerinin yanal makaslama direnci yük değerlerini ve ayrıca sırasıyla sütun 8, 9 ve 10'da da bu değerlerin gerçek test sonucu değerlerine oranlarını göstermektedir. Bu söz konusu oran aralığı denklem (1), (4) ve (5) için sırasıyla 0.98 ila 1.09, 0.96 ila 1.05 ve 0.95 ila 1.02 olarak elde edilmiştir. Gerçek sonuçlarla tahmin sonuçlarının neredeyse aynı olması bu üç tahmin denkleminin farklı ağaç malzemelerden elde edilen tek sıra dikey olarak hizalanmış çoklu zimba birleştirme yerlerinin yanal makaslama direnç yüklerini tahmini olarak hesaplamada kullanılabileceğinin makul olduğunu göstermiştir. Demirel (2012) çalışmasında üç farklı OSB malzemesinden elde edilen birleştirme yerleri için tahmin denklemleri türetmiş ve elde ettiği tahmini değerlerin gerçek test sonucu değerlerine oranı her bir denklem için sırasıyla 0.92 ila 1.06, 0.90 ila 1.12, 0.90 ila 1.09 olarak bulmuş ve tahmin denklemlerinin doğruluğunu 1'e çok yakın oranlarla desteklemiştir.

Tablo 29. Üç farklı ağaç malzemedeki tek sıra dikey hizalanmış çoklu zimba birleşme yerlerinin tahmini maksimum yanal makaslama direnç yüklerinin, gözlemlenen değerler ile denklemler (1), (4), (5) kullanılarak karşılaştırılması

Ağaç Malzeme	Y	ZS	Tahmin Edilen Mak. Yük.				Oran		
			Ger. Son.	D 1	D 4	D5	D 1/ Ger.Son.	D 4/ Ger.Son.	D 5/ Ger.Son.
Sarıçam	0,45	1	809,09	806	809,09	806,59	<b>1,00</b>	<b>1,00</b>	<b>1,00</b>
	0,45	2	1720,96	1680,45	1652,00	1647,08	<b>0,98</b>	<b>0,96</b>	<b>0,96</b>
	0,45	3	2601,53	2582,76	2508,32	2500,85	<b>0,99</b>	<b>0,96</b>	<b>0,96</b>
	0,45	4	3498,15	3503,63	3373,42	3363,37	<b>1,00</b>	<b>0,96</b>	<b>0,96</b>
Kızılğaç	0,51	1	1043,02	1028,00	1043,02	1055,66	<b>0,99</b>	<b>1,00</b>	<b>1,01</b>
	0,51	2	2026,86	2143,31	2129,83	2155,67	<b>1,06</b>	<b>1,05</b>	<b>1,06</b>
	0,51	3	3304,57	3294,14	3233,85	3273,08	<b>1,00</b>	<b>0,98</b>	<b>0,99</b>
	0,51	4	4487,02	4468,65	4349,17	4401,94	<b>1,00</b>	<b>0,97</b>	<b>0,98</b>
Kayın	0,54	1	1233,43	1235,00	1233,43	1193,69	<b>1,00</b>	<b>1,00</b>	<b>0,97</b>
	0,54	2	2562,16	2574,89	2517,82	2437,55	<b>1,00</b>	<b>0,98</b>	<b>0,95</b>
	0,54	3	3632,46	3957,45	3822,94	3701,07	<b>1,09</b>	<b>1,05</b>	<b>1,02</b>
	0,54	4	4893,39	5368,47	5141,44	4977,54	<b>1,10</b>	<b>1,05</b>	<b>1,02</b>

\*D: Denklem, Ger. Son.: Gerçek Sonuçlar



#### 4.4. Çift Sıralı Zimba Birleştirmeleri İçin

Tablo 30 çift sıralı zimba ile birleştirilmiş birleştirme yerlerinin ortalama maksimum değerlerinin tek sıralı zimba ile birleştirilmiş birleştirme yerlerinin ortalama maksimum değerlerine oranını göstermektedir. Tabloya göre bu iki tip birleştirme yeri için genel oran 1,7 belirlenmiştir.

Tablo 30. Çift sıralı zimba ile birleştirilmiş birleştirmenin tek sıralı zimba ile birleştirilmiş birleştirmelerin karşılaştırılması

Zimba Sayısı	Sarıçam Zimba sayısı				Genel Ortalama
	1	2	3	4	
Tek Sıra	809	1721	2602	3498	
	2	4	6	8	
İki Sıra	1508	3037	3134	5327	
Oran	<b>1,9</b>	<b>1,8</b>	<b>1,2</b>	<b>1,5</b>	1,6
Zimba Sayısı	Kızılağaç Zimba sayısı				Genel Ortalama
	1	2	3	4	
Tek Sıra	1043	2027	3305	4487	
	2	4	6	8	
İki Sıra	1850	3980	6356	8000	
Oran	<b>1,8</b>	<b>2,0</b>	<b>1,9</b>	<b>1,8</b>	1,9
Zimba Sayısı	Kayın Zimba sayısı				Genel Ortalama
	1	2	3	4	
Tek Sıra	1233	2562	3632	4893	
	2	4	6	8	
İki Sıra	1572	4223	5368	8834	
Oran	<b>1,3</b>	<b>1,6</b>	<b>1,5</b>	<b>1,8</b>	1,6
Genel Ortalama					<b>1,7</b>

Bu sonuçlara göre sarıçam, kızılağaç, kayın ağaçlarının kullanarak elde edilen çift sıralı zimba ile oluşturulmuş birleştirme yerlerinin yanal makaslama direncini tahmin etmek için denklem 6 türetilmiştir.

$$F_{CS} = 1.7P_{TS} \quad (7)$$

Burada  $F_{CS}$  = çift sıralı zımba ile oluşturulmuş birleştirme yerlerinin yanıl makaslama direncini;  $P_{TS}$  = tek sıralı zımba ile oluşturulmuş birleştirme yerlerinin tahmini yanıl makaslama direnci

Denklem 7 de  $P_{TS}$  değeri yerine denklem 2, 4 ve 5 ile elde edilmiş sonuçları koyarak çift sıra zımbalı birleştirme yerleri için tahmini yanıl makaslama direnç değeri elde edilmiştir. Tablo 31 tek sıra zımbalı birleştirme yerleri için daha önceden türetilmiş tahmin denklemlerini kullanarak çift sıralı zımba birleştirme yerleri için ortalama maksimum yanıl makaslama direnç değeri tahmini olarak hesaplanmış olup bu değeri gerçık ortalama maksimum yanıl makaslama direnci değeriyle kıyaslanmıştır.

Tablo 31. Ortalama maksimum yanıl makaslama direnç değeri tahmini olarak hesaplanmış olup bu değeri gerçık ortalama maksimum yanıl makaslama direnci değeriyle kıyaslanması

Ağaç Malzeme	Y	ZS	Ger. Son.	Tahmin Edilen Mak. Yük.			Oran		
				D 1	D 4	D5	D 1/ Ger.Son.	D 4/ Ger.Son.	D 5/ Ger.Son.
Sarıçam	0,45	2	1508	1370	1375	1371	<b>0,91</b>	<b>0,91</b>	<b>0,91</b>
	0,45	4	3037	2857	2808	2800	<b>0,94</b>	<b>0,92</b>	<b>0,92</b>
	0,45	6	3134	4391	4264	4251	<b>1,40</b>	<b>1,36</b>	<b>1,36</b>
	0,45	8	5327	5956	5735	5718	<b>1,12</b>	<b>1,08</b>	<b>1,07</b>
Kızılağaç	0,51	2	1850	1748	1773	1795	<b>0,94</b>	<b>0,96</b>	<b>0,97</b>
	0,51	4	3980	3644	3621	3665	<b>0,92</b>	<b>0,91</b>	<b>0,92</b>
	0,51	6	6356	5600	5498	5564	<b>0,88</b>	<b>0,86</b>	<b>0,88</b>
	0,51	8	8000	7597	7394	7483	<b>0,95</b>	<b>0,92</b>	<b>0,94</b>
Kayın	0,54	2	1572	2100	2097	2029	<b>1,34</b>	<b>1,33</b>	<b>1,29</b>
	0,54	4	4223	4377	4280	4144	<b>1,04</b>	<b>1,01</b>	<b>0,98</b>
	0,54	6	5368	6728	6499	6292	<b>1,25</b>	<b>1,21</b>	<b>1,17</b>
	0,54	8	8834	9126	8740	8462	<b>1,03</b>	<b>0,99</b>	<b>0,96</b>

\*D: Denklem, Ger. Son.: Gerçık Sonuçlar

Tablo 31' deki 8. 9. ve 10. sütunlara bakıldığında tahmini denklem sonuçlarının gerçık değeri oranı (kıyas değeri) görülmektedir. Sonuçlar genel itibariyle 1'e yakın olup tahmin denklemleri 2, 4 ve 5'in çift sıralı zımbalı mobilya birleştirme yerlerinin tahmini ortalama maksimum yanıl makaslama direnci değeri hesaplamada makul olduğu saptanmıştır. Demirel ve Zhang (2014) çalışmalarında tek sıra ve çift sıra zımbalı OSB birleştirme yerlerinin ortalama maksimum yanıl makaslama direnci değeri araştırılmış ve aynı zamanda tek sıra zımbalı birleştirme yerleri için ortalama direnç değeri tahmin etmek için 3 farklı denklem türetilmiştir. Çift sıra zımbalı birleştirme

yerlerine ait ortalama direnç deęerlerini tek sıra ortalama direnç deęerlerine oranlayarak 2 sayısını elde etmişler. Bu 2 sayısı tek sıra zımba tahmini denklemlerinin çift sıra zımba birleştirme yerlerinin ortalama maksimum direnç deęerlerini tahmin etmede kullanmışlar. Söz konusu çalışmada oran 2 iken bizim çalışmamızda bu oran 1,7 bulunmuş her iki oran da makul deęerler tahmin etmiştir.

#### 4.5. Sadece Tutkallı Birleştirme Yerleri

Sadece tutkal ile oluşturulan sarıçam kızılalaęaç ve kayın ağacına ait birleştirme yerlerine ait tipik yük-yer deęiştirme grafięi Şekil 94' dendir. Şekildeki grafięe göre test edilen sadece tutkallı birleştirme yerinin ayrıldığı noktada keskin bir yük düşüşü gözlemlenmiştir.



Şekil 94. Tipik bir sadece tutkallı birleştirme yerlerine ait yük-yer deęiştirme grafięi.

#### 4.6. Ortalama Maksimum Yanal Yük Deęerleri ve Karşılaştırması

Sarıçam, kızılalaęaç ve kayından oluşan sadece tutkallı birleştirme yerlerine ait maksimum yanal yük deęerleri ve bu deęerlerin varyans sabitleri Tablo 32'de özetlenmiştir. Her bir deęer 10 tekrarın ortalamasıdır.

Tablo 32. Sadece tutkallı birleştirme yerlerine ait maksimum yanal yük değerleri ve bu değerlerin varyans sabitleri

Bağlayıcı	Ağaç Türü		
	Sarıçam	Kızılağaç	Kayın
Tutkal	11578 (12)	17338 (9)	19662 (11)

\*Parantez içindeki sayılar varyans sabit değerlerini göstermektedir.

Sadece tutkallı birleştirme yerleri için yapılan istatistiksel analiz sonucu, sarıçam-kızılağaç-kayından oluşan sadece tutkallı birleştirme yerlerine ait ortalama maksimum yanal makaslama direnci değerlerinin kıyaslanması 1568 en küçük önemli fark (LSD) değeri ile Tablo 33' de listelenmiştir.

Tablo 33. Sadece tutkallı birleştirme yerlerine ait ortalama maksimum yanal makaslama direnci değerlerinin kıyaslanması

Bağlayıcı	Ağaç Türü		
	Sarıçam	Kızılağaç	Kayın
Tutkal	11578 (C)	17338 (B)	19662 (A)

\*Parantez içindeki farklı harfler istatistiksel farkları göstermektedir.

Tablo 33'de gözlemlendiğine göre, sadece tutkallı birleştirme yerlerinin sarıçamdan üretilenlerinin ortalama maksimum yanal makaslama direnci değerleri istatistiki olarak en düşük kayın ağacından üretilenlerinki ise istatistiki olarak en yüksek olup kızılağaçtan üretilenler diğer iki ağaçtan üretilenlerin arasında çıkmıştır. Keza bu ağaçların yoğunluk değerlerine bakıldığında benzer ilişkiye rastlanmıştır. Yani yoğunluğu en düşük sarıçam, sonra kızılağaç ve en yüksek değeri ise kayın ağacı olduğu önceden rapor edilmiştir. Dolayısıyla sadece tutkallı birleştirme yerlerinin direnç değerlerinin sarıçamdan kayına doğru artması yoğunluk farklılığından yani yoğunluğun sarıçamdan kayına doğru artmasıyla ilişkilendirilebilir.

#### 4.7. Sadece Tutkallı Birleştirme Yerleriyle Tutkallı Çift Sıra Zımbalı Birleştirme Yerlerinin İstatistiksel Kıyaslanması

Tablo 34'de sadece tutkallı birleştirme yerleri ile tutkallı zımbalı birleştirme yerlerinin ortalama maksimum yanal makaslama direnci değerleri kıyaslanmıştır. Buna

göre Sarıçamdan yapılmış birleştirme yerlerinde sadece tutkallı, tutkallı 8 zımbalı, tutkallı 6 zımbalı ve tutkallı 4 zımbalı birleştirme yerlerinin ortalama maksimum direnç değerleri arasında istatistiki olarak fark bulunmamış yalnızca tutkallı iki zımbalı birleştirme yerlerinin ortalama maksimum direnç değerleri istatistiksel olarak daha düşük çıkmıştır. Sarıçam örnekleri için zımba sayısının etkisi sadece 8 zımbalı tutkallı birleştirme yerlerinde görülmüş olup istatistiki öneme sahip olmayan miktarda sadece tutkallı birleştirme yerlerine göre biraz daha yüksek çıkmıştır. Öte yandan kızılgağaçtan üretilen birleştirme yerlerinde en yüksek değeri sadece tutkallı birleştirme yerleri verirken bunu 8 zımbalı tutkallı, 6 zımbalı tutkallı ve 4 zımbalı tutkallı birleştirme yerleri takip eder. Bu birleştirme yerlerinin ortalama maksimum direnç değerleri istatistiki olarak sadece tutkallı birleştirmelerden küçük, tutkallı 2 zımbalı birleştirmelerden büyük çıkmıştır. Ayrıca tutkallı 2 zımbalı ve tutkallı 4 zımbalı birleştirme yerleri arasında istatistiki olarak bir fark bulunmamıştır. Kayından üretilen birleştirme yerlerinde ise sadece tutkallı birleştirme yerlerinin ortalama maksimum direnç değerleri tutkallı ve zımbalı birleştirme yerlerine göre istatistiki olarak büyük iken tutkallı zımbalı birleştirme yerlerinde istatistiksel olarak bir fark gözlemlenmemiştir. Bu sonuçlara göre genel itibariyle sadece tutkallı birleştirme yerleri tutkallı zımbalı birleştirme yerlerine göre daha iyi sonuç vermiştir. Bunun sebebi olarak kayın gibi yüksek yoğunluklu ağaç malzemelere tutkal yanında zımba uygulanması tutkalın tutunma yüzeyini bozduğunu ve bu direnci düşürdüğü tahmin edilmektedir. Demirel vd. (2018) çalışmasında bizim çalışmamızda olduğu gibi çift sıra 2, 4, 6, 8 zımbalı farklı yoğunlukta üç OSB kullanarak oluşturduğu birleştirme yerlerinde en büyük değerleri 8 zımbalı tutkallı birleştirme yerlerinde elde etmiştir. Bizim çalışmamızda ise sarıçamdan ürettiğimiz 8 zımbalı tutkallı birleştirme yerleri 6, 4 ve 2 zımbalı tutkallı ve sadece tutkallı birleştirme yerlerine göre en yüksek değeri vermiştir. Ancak diğer ağaç türlerinde ise sadece tutkallı birleştirme yerlerinin maksimum direnç değerleri diğer zımbalı tutkallı birleştirme yerlerine göre daha yüksek sonuç vermiştir. Oysa Demirel vd. (2018) her bir OSB türünde üretilen birleştirme yerlerinden en yüksek ortalama maksimum direnç değerlerini 8 zımbalı tutkallı daha sonra sırasıyla 6 zımbalı tutkallı, 4 zımbalı tutkallı, 2 zımbalı tutkallı ve en son sadece tutkallı birleştirme yerleri göstermiştir. Demirel vd. (2018) çalışmasında sadece tutkallı birleştirme yeri örneklerin tamamı birleştirme yerinden ayrılma gözlemlenmiştir. Bizim çalışmamızda ise sarıçamdan üretilen sadece tutkallı birleştirme yeri örneklerinin çoğu birleştirme yerinden ayrılmış olup çalışmamız sarıçam bakımından literatür çalışmasıyla örtüşmektedir. Diğer taraftan kayın ve kızılgağaçtan

üretmiş sadece tutkallı birleştirme yeri örneklerinin çoğu ya ana malzeme kırılması ya da takoz malzemesi belden bükülmesi ya da kırılması şeklinde oluşmuştur. Bu şekilde meydana gelen ayrılma modları birleştirme yerinin gerçek direnç değerinin ortaya çıkmasına engel olduğundan bizim çalışmamız ile literatür çalışması arasında böyle bir fark olduğu düşünülmektedir.

Tablo 34. Sadece tutkallı ve tutkallı zımbalı birleştirme yerlerinin kıyaslanması

Ağaç Malzeme	Zimba Sayısı				
	Sadece Tutkal	Tutkal ve 2 Zimba	Tutkal ve 4 Zimba	Tutkal ve 6 Zimba	Tutkal ve 8 Zimba
Sarıçam	11578 (A)	9429 (B)	10818 (AB)	11343(A)	12341 (A)
Kızılağaç	17338 (A)	7693 (C)	9674 (B)	9808 (B)	9285 (BC)
Kayın	19662 (A)	12851 (B)	14453 (B)	14134 (B)	12854 (B)

\*Parantez içindeki farklı harfler istatistiksel farkları göstermektedir.

Tablo 35. Ağaç türleri arası kıyaslama

Zimba Sayısı	Ağaç Türü		
	Sarıçam	Kızılağaç	Kayın
Sadece Tutkal	11578 (C)	17338 (B)	19662 (A)
Tutkal ve 2 Zimba	9429 (B)	7693 (C)	12851 (A)
Tutkal ve 4 Zimba	10818 (B)	9674 (B)	14453 (A)
Tutkal ve 6 Zimba	11343 (B)	9808 (C)	14134 (A)
Tutkal ve 8 Zimba	12341 (A)	9285 (B)	12854 (A)

\*Parantez içindeki farklı harfler istatistiksel farkları göstermektedir.

Tablo 35'den görüleceği üzere en yüksek ortalama maksimum yanal makaslama direnci değerlerini en yüksek yoğunluklu kayın ağacı vermiştir. Sadece tutkallı birleştirme yerlerinde ortalama maksimum direnç değerleri istatistiki olarak en yüksek kayın ağacında daha sonra kızılğaçta ve en az olarak sarıçamdan oluşan birleştirme yerlerinde gözlemlenmiştir. Bu durum tutkallı ve 2 zımbalı ile tutkallı ve 6 zımbalı birleştirme yerlerinde en yüksek direnç değeri kayın ağacında en düşük direnç değeri ise kızılğaçta gözlemlenmiştir. Tutkallı ve 4 zımbalı birleştirme yerlerinde kayın ağacından üretilen birleştirme yerlerinin direnç değerleri yine en yüksek olmuş bunu kızılğaç ve sarıçam takip etmiştir. Tutkalı ve 8 zımbalı birleştirme yerlerinde ise en yüksek yine kayın ağacı birleştirme yerlerinde çıkmış ancak istatistiki olarak sarıçamdan üretilenlerle fark

bulunmamış olup kızılâğaçtan üretilenler istatistiki olarak daha düşük çıkmıştır. Burada bazı sonuçlarda sarıçam birleştirme yerlerinin kızılâğaç birleştirme yerlerine göre daha iyi sonuç verdiği gözükmekte olup bunu sarıçamda oluşan tutkal yapışma yüzeyinin daha iyi olduğu sonucuna bağlanabilir. Genel itibariyle en yüksek yoğunluklu ağaç malzemedен yapılan birleştirme yerleri en yüksek direnç değeri vermiştir. Demirel 2012 çalışmasında birleştirme yerleri arasında en yüksek direnç değerini en yüksek yoğunluklu OSB III' ün verdiğini gözlemlemiştir. Sadece tutkal kullanılarak oluşturulan birleştirme yerlerinde istatistiki olarak ağaç türleri arasında fark varken, birleştirme yerine 2 den 8 e zımba desteği sonucu özellikle sarıçam birleştirme yerinde giderek artan bir direnç göstermiş ve 8 zımbalı tutkallı sarıçam birleştirme yerlerinin direnç değerleri ile kayın ağacı direnç değerleri arasında istatistiki bir fark bulunmamıştır.

## 5. SONUÇLAR VE ÖNERİLER

Bu tez çalışmasında tek zımbalı, tek sıra (2, 3, 4) çoklu zımbalı, çift sıra (2, 4, 6, 8) çoklu zımbalı, sarıçam kızılağaç ve kayından üretilen birleştirme yerlerinin maksimum yanal makaslama direnç değerleri araştırılmış ve söz konusu değerler için tahmin denklemleri türetilmiş ve tahmini sonuçlar elde edilmiştir. Tek sıra zımbalı örneklerde 4 ve 3 zımbalı birleştirme yerlerinden kayın ağacından üretilenler en yüksek değeri verirken bunu kızılağaçtan üretilen birleştirme yerleri takip eder ve en düşük değer sarıçamdan elde edilen birleştirme yerlerinde gözlemlenmiştir. Tek sıra 2 zımbalı sarıçam birleştirme yerlerinde ise benzer ağaç ilişkisi söz konusu olup, kayın en yüksek değeri verirken kızılağaç birleştirme yerleri marjinal olarak sarıçam birleştirme yerlerinin direnç değerlerinden farklı iken istatistiki olarak bir fark görülmemiştir. Tek sıra zımbalı birleştirme yerlerinden zımba sayısı 2' den 4' e birer artarak gitmesi her bir ağaç türünden üretilen birleştirme yerlerinin maksimum yanal makaslama direncini istatistiki olarak artırmıştır. Çift sıra zımbalı birleştirme yerlerinde ise, her üç ağaç türünden üretilen 2 zımbalı birleştirme yerlerinin maksimum yanal makaslama direnç değerleri arasında istatistiki bir fark bulunmamıştır. Sarıçamdan üretilen çift sıra 4 zımbalı birleştirme yerlerinin maksimum direnci kızılağaç ve kayından üretilenlere göre istatistiki anlamda küçük iken kayın ve kızılağaçtan üretilenler arasında istatistiki bir fark gözlemlenmemiştir. Oysa 6 ve 8 zımbalı birleştirme yerlerinde en yüksek değeri istatistiki olarak kayın, sonra kızılağaç ve en düşük değeri ise sarıçamdan üretilen birleştirme yerleri göstermiştir. Ağaç türleri arasındaki istatistiki direnç farkı üzerine zımba sayısının artması etkili olmuştur. Yani zımba sayısı arttıkça ağaç türü arasında istatistiki bir fark oluşmaktadır. Diğer taraftan çift sıra zımbalı birleştirme yerlerinin zımba sayısının 2'den 8'e ikişer artarak gitmesi her bir ağaç türünden elde edilen birleştirme yerlerinin yanal makaslama direncini istatistiki olarak artırmıştır. Sadece burada sarıçamdan üretilen 4 zımbalı ve 6 zımbalı birleştirme yerleri arasında istatistiki bir fark yoktur. Ancak yine 6 zımbalı olan birleştirme yerlerinin yanal makaslama direnci değerleri 4 zımbalı olana göre marjinal olarak yüksektir.



Genel olarak, zımba sayısının artması birleştirme yerlerinin yanal makaslama direnç değerlerini pozitif yönde etkilemiştir. Tek sıra zımbalı birleştirme yerlerinin yanal makaslama direnci değerleri zımba sayısının 2'den 4' e birer olarak artması sonrası artarken yine çift zımbalı birleştirme yerlerinin yanal makaslama direnci değerleri zımba sayısının 2'den 8'e ikişerli olarak artması sonucu artmıştır.

Bu çalışmada tek sıra zımbalı birleştirme yerlerinin maksimum yanal makaslama direnç değerlerini tahmin etmede 1, 4 ve 5 numaralı denklemler türetilmiştir. 1 numaralı denklemde K ve a regresyon sabitleri kullanılmıştır. 4 numaralı denklemde K değerleri ile tek zımbalı birleştirme yerlerinin ortalama maksimum yanal makaslama direnç değerlerine (F0) çok yakın olduğu için K değerleri ile tek zımbalı birleştirme yerlerinin ortalama maksimum direnç değerleri yer değiştirilmiş ve regresyon sonucu elde edilen ortak bir a değeri kullanılmıştır. Denklem 5 ise diğer denklemlerden farklı olarak ağaç malzemeleri için yoğunluk değerini de hesaba katmış ve buna göre direnç değerlerini tahmin etmiştir. Bu çalışma için türetilen her bir denklem test sonucu elde edilen gerçek değerlere çok yakın değerler tahmin etmiştir. Burada bazı denklemler diğerlerine göre daha avantajlıdır. Mesela 5 numaralı denklemde sadece kullanılan zımba sayısını ve ağaç malzeme yoğunluğu bilmeyi gerektirir. Oysa 4 numaralı denklemde söz konusu ağaç malzeme için tek zımbalı birleştirme yeri için ortalama maksimum direnç değerini bilmeyi gerektirir. 4 numaralı denklemin 1 numaralı denkleme göre avantajı ise her bir ağaç türü için 3 tane farklı a değeri yerine tek a değeri kullanılmasıdır.

Bu çalışmada çift sıra zımbalı birleştirme yerlerinin ortalama maksimum direnç değerlerinin tek sıra zımbalı birleştirme yerlerine oranı 1,7 çıkmıştır. Buna göre çift zımbalı birleştirme yerlerinin ortalama maksimum yanal makaslama direnci değerleri tek sıra zımba birleştirme yerlerinin 1,7 katıdır. Bu sebeple 1, 4 ve 5 numaralı denklemler 1,7 ile çarpılarak 6 numaralı denklem elde edilmiştir. 6 numaralı denklemden elde edilen sonuçların çoğu çift sıra zımbalı birleştirme yerlerinin gerçek değerlerine yakın çıkmıştır. Dolayısıyla çift sıra zımbalı birleştirme yerlerinin yanal makaslama direnç değerlerini hesaplamada 6 numaralı denklem makul sonuçlar vermiştir.

Her bir ağaç türünden elde edilen sadece tutkallı birleştirme yerlerinin ortalama maksimum direnç değerleri kıyaslandığından yoğunluğu en yüksek ağaç türü olan kayın birleştirme yerleri en yüksek değer verirken bunu yoğunluğu daha az olan kızılâğaç takip etmiş ve en düşük direnç değeri en düşük yoğunluklu sarıçam birleştirme yerlerinde elde edilmiştir. Sadece tutkallı birleştirme yerleri ile tutkallı çift sıra zımbalı birleştirme

yerlerinin ortalama maksimum yanal makaslama direnci deęerleri kıyaslanmış ve kıyaslanma sonucu sadece tutkallı ve tutkallı 4, 6 ve 8 zımbalı birleřtirme yerlerinde sarıçam gibi düşük yoğunluklu ağaç malzemelerde istatistiki bir fark çıkmamıřtır. Hatta burada istatistiki olarak önemsiz ancak sarıçamdan üretilen tutkallı 8 zımbalı birleřtirme yerlerinde en yüksek deęer çıkmıřtır. Ancak kızılaęaç ve kayından üretilen birleřtirme yerlerinde sadece tutkallı birleřtirme yerleri tutkallı ve zımbalı birleřtirme yerlerine göre istatistiki olarak yüksek çıkmıř olup bunun sebebi olarak uygulanan zımbanın tutkalın yapıřma hattını deforme ettięinden direnci düşürdüęü düşünölmektedir. Ayrıca sarıçam, kızılaęaç ve kayından üretilen sadece tutkallı birleřtirme yerlerinin ortalama maksimum direnç deęerleri arasında istatistiki olarak fark varken bu fark birleřtirme yerlerine 2 den 8'e ikiřerli artarak eklenen zımba sayısına baęlı olarak azalmıř olup bu azalıř tutkallı ve 8 zımbalı birleřtirme yerlerinin direnç deęerleri arasında istatistiki olarak fark oluřturmayacak seviyeye ulařmıřtır. Oysa Demirel vd.(2018) çalıřmalarında OSB ile üretilen birleřtirme yerlerinin davranıřında sadece tutkallı OSB örnekleri arasında istatistiksel olarak fark yokken bu fark zımba etkisiyle istatistiksel fark yaratacak bir etki kazanmıřtır. Bu çalıřma sonrası öneri olarak bařka ağaç malzemeler kullanılarak tutkal zımba arasındaki iliřki incelenebilir.

Bu çalıřmada test edilen birleřtirme yerlerinin test sonucu oluřan ayrılma modları zımbanın ana malzemeden çıkıřı ve zımba tellerinin eęilmesi ile ana malzemede ve takozda ezikler oluřturma, takoz malzemesinin (yan malzeme) tabakaları arasında makaslama, ana malzeme kırılması, takoz malzemesinin kırılması ve belden bükölmesi, birleřtirme yerinden ayrılma ve ana malzemeden kopan liflerin takozla yapıřık halde kalması řeklinde ifade edilmiřtir. Sadece tutkallı birleřtirme yerlerinin çoęunda ana malzemenin belden kırılması ve takozun belden kırılması modu birlikte gözlemlenirken, sadece zımbalı birleřtirme yerlerinin neredeyse tamamında zımbanın ana malzemeden çıkıřı ve zımba tellerinin eęilmesi ile ana malzemede ve takozda ezikler oluřması ayrılma modu gözlemlenmiřtir. Dięer taraftan tutkallı ve zımbalı birleřtirme yerlerinde çoęunlukla zımbanın ana malzemeden çıkıřı ve zımba tellerinin eęilmesi ile ana malzemede ve takozda ezikler oluřması modu ile birleřtirme yerinden ayrılma ve ana malzemeden kopan liflerin takozla yapıřık halde kalması modu birlikte gözlemlenmiřtir. Dięer ayrılma modları olan takoz malzemesinin (yan malzeme) tabakaları arasında makaslama, takoz malzemesinin kırılması ve belden bükölmesi çok az sayılarda gözlemlenmiřtir.

Günümüzde mobilya endüstrisinde zımba ile koltuk iskeleti oluşturma en yaygın birleştirme metotlarından biridir. Dolayısıyla bu çalışma da kullanılan birleştirme yeri koltuk iskeletinin ön alt kayıtı ile kol ön dikmesi arasındaki birleştirme yerini temsil etmiş olup farklı zımba sayılarındaki ve tutkal ilavesiyle maruz kaldığı direnç karşısında nasıl davrandığının incelendiği bir çalışmadır.



## 6. KAYNAKLAR

- Akyüz, M., 1988. Kızılağacın Odun Özellikleri ve Kullanım Özellikleri, K.T.Ü. Orman Fakültesi, Orman Mülkiyet Sorunları Sempozyumu, Ekim, Trabzon (Poster Bildiri).
- Anonim, 1992. Der Grobe Hafele GmbH Co Beschlogtechnik Freudestöder str.70. 74 Fostfack 1234, D-7270 Nagold, Germany.
- ASTM, 2010. D 1761-06. Standard test method for mechanical fasteners in wood. American Society for Testing and Materials, West Conshohocken, PA.
- Berkel, A., 1970. Ağaç Malzeme Teknolojisi, İstanbul Üniversitesi Orman Fakültesi Yayınları 1448-147, 75-87, 174-191, 413-418, İstanbul.
- Burdurlu, E., 1994. Ahşap Kökenli Kaplama ve Levha Üretim-Kullanım Teknolojisi, HÜ. Mesleki Teknoloji Yüksek Okulu, Ağaç İşleri Endüstri Mühendisliği, Ankara, 252-253.
- Dai, L., Zhang, J. and Quin, F., 2008. Lateral and tensile resistances of glued face-to-face and end-to-face joints in pine plywood and oriented strandboards. Forest Products Journal, 58, 3, 50-54.
- Demirel, S., 2012. Static and fatigue performance of oriented strandboard as upholstered furniture frame stock. PhD dissertation, Mississippi State University, Starkville, MS.
- Demirel, S., Zhang J., 2014. Face lateral resistance of oriented strandboard joints connected with two rows of 16-gauge coated staples. Wood and Fiber Science, 46, 2, 280-290.
- Demirel, S., Zhang J, Jones D, Kitchens S, Martin W.V. and Yu H., 2013. Face lateral shear resistance of one-row multi-staple joints in oriented strandboard. Forest Products Journal, 63, 5-6, 207-212.
- Demirel, S., Tor, O., Yu, X and Zhang, J., 2018. Lateral Loads Of Stapled–Glued Surface To-Surface Joints In Oriented Strandboard For Furniture, Wood and Fiber Science, 50-3, 280-290
- Dizel, T., 2005. “Lamine Elemanlarla Tasarlanan Çerçeve Tipi Mobilya Birleştirmelerinin Mekanik Davranış Özellikleri”, Yüksek Lisans Tezi, GÜ., Fen Bilimleri Enstitüsü, Ankara, 1–17.
- Efe, H., 1994. Modern Mobilya Çerçeve Konstrüksiyon Tasarımında Geleneksel v Alternatif Bağlantı Tekniklerinin Mekanik Davranış Özellikleri, Doktora Tezi, K.T.Ü. Fen Bilimleri Enstitüsü, Trabzon.

- Erdil, Y.Z., Zhang, J. and Eckelman C.A., 2003. Staple holding strength of furniture frame joints constructed of plywood and oriented strandboard. Forest Products Journal, 53, 1, 70-75.
- GSA, 1998, FNAE-80-214A. Upholstered furniture test method. General Services Administration. Furniture Commodity Center, Federal Supply Service, Washington, DC.
- Kasal, A., Erdil, Y.Z., Zhang, J., Efe, H. ve Avcı., E. 2008. Estimation Equations for Moment Resistance of L-type Screw Corner Joints in Case Goods Furniture, Forest Products Journal, 58, 9.
- Kastamonu Üni., 2012., Orman Fakültesi Dergisi, Efe ve ark. Kastamonu Univ., Journal of Forestry Faculty, 12, 2, 251-260
- Malkoçoğlu, A., 1989. Mobilya Endüstrisi Ders Notu, K.T.Ü. Orman Fakültesi, Orm.End.Müh., Trabzon.
- MEB, 2013. Mobilya Ve İç Mekân Tasarımı, Ankara.
- Örs, Y., Efe, H. ve Kasal, A., 1999. "Effect Of Corner Wooden Wedge Geometry On Bending Strength İn Demontable Leg And Table Joints Of Furniture", I. International Furniture Congress And Exhibition, 457 - 471.
- Özen, R., 1988. "Genel Hatlarıyla Türkiye Mobilya Sanayi", GÜ. Teknik Eğitim Fakültesi Dergisi, 1, 3, 3-4, 3, 9.
- Pellicane, P.J., 1991. Nail/glue joints in wood. Forest Products Journal, 41, 11-12, 33-35.
- Perçin, A., 2009. Kutu Konstrüksiyonlu Mobilyalarda Kullanılan Vidalı Düz Köşe Birleştirmelerde Kılavuz Deliği Çapının Çekme ve Eğilme Dirençleri Üzerine Etkisinin Belirlenmesi, Yüksek Lisans Tezi, Bartın Üniversitesi, Fen Bilimleri Enstitüsü, , Bartın.
- TMÜM, 2012, Sektör Raporu.
- URL-1, 2019. <http://ahsapteknolojisi.blogspot.com/2012/10/ahsap-birlestirmeler.html>. 15 Mart 2019
- Wang, X., Salenikovich, A., Mohammad, M., Echavarria, C. and Zhang, J., 2007. Moment capacity of oriented strandboard gusset-plate joints for upholstered furniture. Part I: Static load. Forest Products Journal, 57, 7-8, 39-45.
- Yadama, V., Zhang, J., Syed, B.M. and Steele, P.H., 2002. Experimental analysis of multiple staple joints in selected wood and wood-based materials Journal of Testing and Evaluation, 30, 5, 400-407.

- Zhang, J., Han, N. and Maupin, M., 2006. Lateral edge resistance of single-fastener furniture joints in wood-based panel products. Forest Products Journal, 56, 2, 33-39.
- Zhang, J. and Maupin, M., 2004. Face lateral and withdrawal resistances of staple joints in furniture-grade pine plywood. Forest Products Journal, 54, 6, 40-46.
- Zhang, J., Quin, F. and Tackett, B., 2002b. Direct withdrawal strength of multi-staple joints in pine plywood. Forest Products Journal, 52, 5, 61-66.
- Zhang, J., Quin, F., Tackett, B. and Park, S., 2002a. Direct withdrawal strength of single-staple joints in pine plywood. Forest Products Journal, 52, 2, 86-91.
- Zhang, J. and F. Quin., 2010. Mechanical properties of five different commercially available OSB products for potential upholstery furniture frame stock. Franklin Furniture Institute Publication. Mississippi State University, 33-34.

## ÖZGEÇMİŞ

13.04.1992 tarihinde Zonguldak' ta doğdu. İlk, orta ve lise öğrenimini Kocaeli'de tamamladı. 2011 yılında Karadeniz Teknik Üniversitesi Orman Fakültesi Orman Endüstri Mühendisliği Bölümü'nü kazandı, aynı bölümden 2015 yılında mezun oldu. Aynı yıl içinde Karadeniz Teknik Üniversitesi Orman Fakültesi Orman Endüstri Mühendisliği, Odun Mekaniği ve Teknolojisi Anabilim Dalı'nda yüksek lisans eğitimine başlayan Gamze KALAYCI, İngilizce bilmektedir.

